

UNIVERSIDADE DE SÃO PAULO
INSTITUTO OCEANOGRÁFICO
CURSO DE PÓS-GRADUAÇÃO EM OCEANOGRAFIA FÍSICA
IOF 5857 - DINÂMICA DE FLUIDOS GEOFÍSICOS I
PROFESSOR: BELMIRO MENDES DE CASTRO FILHO
PERÍODO: 1.o de 2007

1. PROGRAMA

1. **Introdução:** A hipótese do contínuo. Coordenadas esféricas, polares e cartesianas. Transportes. Especificações Lagrangeana e Euleriana. Derivada material. Linhas de corrente. Trajetórias. Pressão e Tensão superficial.
2. **Forças e equações de conservação:** Forças atuantes em um elemento de volume. Teorema de conservação de propriedades da hidrodinâmica. Equações de conservação: conservação de massa, de sal, de momentum e de calor. Equação de estado. As equações num referencial ligado rigidamente à Terra. Aproximações: Boussinesq, plano beta, plano f e outras. Linearização. Equação de Bernoulli.
3. **Ondas de gravidade:** Ondas superficiais livres em um fluido inviscido e homogêneo; aproximações para ondas longas e para ondas curtas. Influência da tensão superficial: ondas capilares. Ondas internas livres em um fluido inviscido e estratificado; fluido verticalmente infinito; fluido verticalmente limitado: modos normais. Energia das ondas de gravidade. Ondas internas forçadas por movimentos sobre topografia variável. Instabilidade de Kelvin-Helmholtz; número de Richardson.
4. **Rotação:** Vorticidade e circulação. Teorema de Kelvin. Equação da vorticidade. Vorticidade potencial. Equação do vento térmico. Teorema de Taylor-Proudman.

5. **Movimentos estacionários:** Movimento geostrófico. Movimento de gradiente. Movimento ciclostrófico. Movimento inercial.
6. **Ondas de gravidade influenciadas pela rotação da Terra:** Ondas de Poincaré superficiais e internas. Ondas de Kelvin. Marés oceânicas.
7. **Teoria inviscida para águas rasas:** Modelo de águas rasas. Equação da vorticidade. Conservação da vorticidade potencial. Movimento geostrófico. Ondas de gravidade. Aproximação quase-geostrófica. Ondas de Rossby planetárias e topográficas. Energia e reflexão de ondas de Rossby.
8. **Atrito:** Tensões de Reynolds. Camada limite superficial. Camada limite de fundo.

2. REFERÊNCIAS

- Geophysical Fluid Dynamics, de J. Pedlosky;
- Waves in the Ocean and Atmosphere, de J. Pedlosky;
- Atmosphere-Ocean Dynamics, de A.E. Gill;
- Waves in the Ocean, de P.H. LeBlond e L.A. Mysak;
- Introduction to Geophysical Fluid Dynamics, de B. Cushman-Roisin;
- Fluid Mechanics; de P. Kundu.

3. AVALIAÇÃO

- Listas de exercícios: 45%;
- Exame intermediário: 25%; Exame final: 25%;
- Participação: 5%.

Handwritten signature or initials in blue ink.

A small, faint handwritten mark or symbol.

Handwritten text or signature in dark ink, possibly including a date or name.

A vertical line of handwritten text or a signature.

A small, dark handwritten mark or symbol.

DINÂMICA DE FLUIDOS GEOFÍSICOS I

PROFESSOR:
Belmiro Mendes de
Castro Filho

1. INTRODUÇÃO

CONTÍNUO: o fluido é tratado como contínuo, ao invés de um conjunto de moléculas, pois a escala dos processos que são estudados são menores que a escala molecular.

Porém, alguns processos são moleculares, como a condução de calor. Nesse caso, a solução é a parametrização, que consiste em usar variáveis "macroscópicas" para representar o processo.

↳ do fluido contínuo

CIÊNCIA QUE ESTUDA OS "CONTÍNUOS" ⇒ DINÂMICA DE FLUIDOS

- gás
- líquidos

O nome "GEOFÍSICO" se refere a fluidos que sofrem efeito da rotação da TERRA (água do mar e ar atmosférico)

1.1 CAMPOS VETORIAIS

$$\vec{v} = \vec{v}(\vec{r}, t) = v_1(\vec{r}, t)\vec{e}_1 + v_2(\vec{r}, t)\vec{e}_2 + v_3(\vec{r}, t)\vec{e}_3$$

\vec{v} : vetor velocidade

t : tempo

(v_1, v_2, v_3) : componentes do vetor \vec{v}

\vec{r} : vetor posição

$$\vec{r} = x_1\vec{e}_1 + x_2\vec{e}_2 + x_3\vec{e}_3$$

(x_1, x_2, x_3) : coordenadas do ponto

$(\vec{e}_1, \vec{e}_2, \vec{e}_3)$: versores coordenados (vetores unitários)

Produto Escalar : $\vec{N}_1 \cdot \vec{N}_2 = |\vec{N}_1| |\vec{N}_2| \cdot \cos \theta$

Produto Vetorial : $\vec{N}_1 \times \vec{N}_2 = (|\vec{N}_1| |\vec{N}_2| \sin \theta) \vec{n}$ → vetor normal ao plano \vec{N}_1, \vec{N}_2

1.1.1. Coordenadas Cartesianas Retangulares

$$(x_1, x_2, x_3) \rightarrow (x, y, z)$$

$$(\vec{e}_1, \vec{e}_2, \vec{e}_3) \rightarrow (\vec{i}, \vec{j}, \vec{k})$$

$$(\vec{n}_1, \vec{n}_2, \vec{n}_3) \rightarrow (\mu, \nu, w)$$

$$\vec{a} = \frac{d\vec{r}}{dt} = \frac{d}{dt} \left(\frac{d\vec{r}}{dt} \right) \therefore$$

$$\therefore \vec{a} = \frac{d^2 x}{dt^2} \vec{i} + \frac{d^2 y}{dt^2} \vec{j} + \frac{d^2 z}{dt^2} \vec{k}$$

$$\vec{N}_1 \cdot \vec{N}_2 = \mu_1 \mu_2 + \nu_1 \nu_2 + w_1 w_2$$

$$\vec{N}_1 \times \vec{N}_2 = \begin{vmatrix} \vec{i} & \vec{j} & \vec{k} \\ \mu_1 & \nu_1 & w_1 \\ \mu_2 & \nu_2 & w_2 \end{vmatrix} = \dots$$

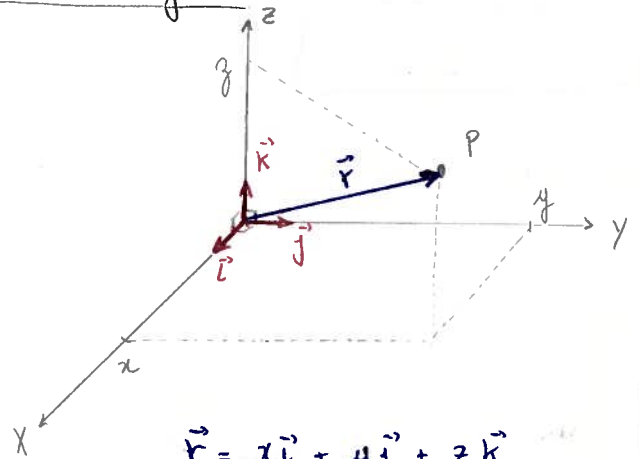
1.1.2 Coordenadas Cilíndricas

$$(x_1, x_2, x_3) \rightarrow (r, \phi, z) \quad \phi \text{ em radianos}$$

$$(\vec{e}_1, \vec{e}_2, \vec{e}_3) \rightarrow (\vec{h}, \vec{m}, \vec{k})$$

Eq. de transformação

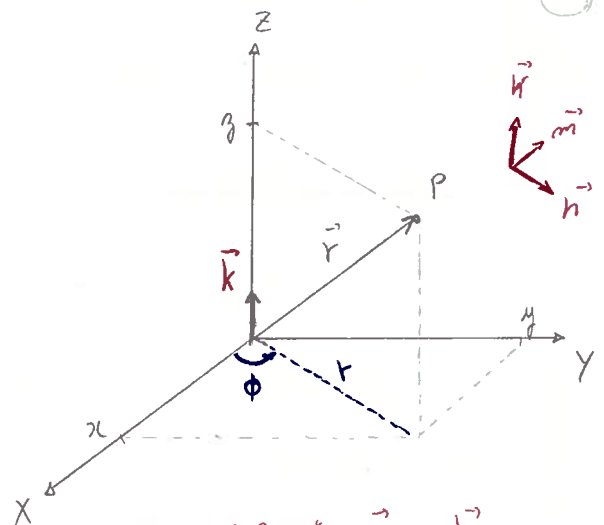
$$\begin{cases} x = r \cos \phi \\ y = r \sin \phi \\ z = z \end{cases} \quad \begin{cases} \vec{h} = \vec{i} \cos \phi + \vec{j} \sin \phi \\ \vec{m} = -\vec{i} \sin \phi + \vec{j} \cos \phi \\ \vec{k} = \vec{k} \end{cases}$$



$$\vec{r} = x\vec{i} + y\vec{j} + z\vec{k}$$

$$\vec{N} = \mu\vec{i} + \nu\vec{j} + w\vec{k}$$

$$\vec{N} = \frac{d\vec{r}}{dt} = \frac{dx}{dt} \vec{i} + \frac{dy}{dt} \vec{j} + \frac{dz}{dt} \vec{k}$$



os vetores \vec{m} e \vec{h} não são fixos quando muda-se o ponto P

Obs: $\vec{h} = \vec{h}(\phi)$ (\vec{h} é função de ϕ)

(2)

$\vec{m} = \vec{m}(\phi)$ — valores não constantes \Rightarrow derivada $\neq 0$

$$\vec{k} = c\vec{e}$$

$$\frac{\partial \vec{h}}{\partial \phi} = \vec{m}; \quad \frac{\partial \vec{m}}{\partial \phi} = -\vec{h}; \quad \frac{\partial \vec{k}}{\partial \phi} = 0$$

\vec{m}

\vec{h} aponta na
direção do r
crescente

$$\vec{r} = r\vec{h} + z\vec{k} \Rightarrow \text{repara que } \vec{h} = \vec{h}(\phi) !$$

$$\vec{v} = \frac{d\vec{r}}{dt} = \frac{d}{dt}(r\vec{h}) + \frac{d}{dt}(z\vec{k}) \quad \left. \begin{array}{l} \text{faça em casa esta passagem!} \end{array} \right\}$$

$$\vec{v} = v_r \vec{h} + v_\phi \vec{m} + v_z \vec{k}$$

$$\text{onde: } v_r = \frac{dr}{dt}; \quad v_\phi = \frac{d\phi}{dt}; \quad v_z = \frac{dz}{dt}$$

$$\vec{a} = \frac{d}{dt} \left(\frac{d\vec{r}}{dt} \right) = a_r \vec{h} + a_\phi \vec{m} + a_z \vec{k} \quad \text{onde: } a_r = \frac{d^2 r}{dt^2} - r \left(\frac{d\phi}{dt} \right)^2$$

$$a_\phi = r \frac{d^2 \phi}{dt^2} + 2 \frac{dr}{dt} \frac{d\phi}{dt}$$

$$a_z = \frac{d^2 z}{dt^2}$$

$$\vec{b} \cdot \vec{c} = b_r c_r + b_\phi c_\phi + b_z c_z$$

$$\vec{b} \times \vec{c} = \begin{vmatrix} \vec{h} & \vec{m} & \vec{k} \\ b_r & b_\phi & b_z \\ c_r & c_\phi & c_z \end{vmatrix}$$

Obs: cada vetor aponta na
direção crescente da sua
coordenada!

1.2.3 Coordenadas Esféricas

$$(x, y, z) \rightarrow (\phi, \theta, r)$$

$$(\vec{e}_1, \vec{e}_2, \vec{e}_3) \rightarrow (\vec{m}, \vec{l}, \vec{n})$$

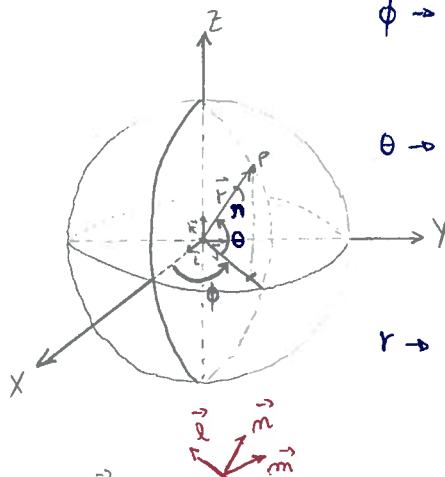
Eq. de transformação:

$$\begin{cases} x = r \cos \phi \cos \theta \\ y = r \sin \phi \cos \theta \\ z = r \sin \theta \end{cases}$$

$$\vec{m} = -\vec{i} \sin \phi + \vec{j} \cos \phi$$

$$\vec{l} = -\vec{i} \cos \phi \sin \theta - \vec{j} \sin \phi \sin \theta + \vec{k} \cos \theta$$

$$\vec{n} = \vec{i} \cos \phi \cos \theta + \vec{j} \sin \phi \cos \theta + \vec{k} \sin \theta$$



$\phi \rightarrow$ ângulo entre os
2 "meridianos"

$\theta \rightarrow$ ângulo entre os
2 "paralelos"

$r \rightarrow$ módulo do vetor
 \vec{r}

OBS: $\vec{m} = m(\phi)$; $\vec{l} = \vec{l}(\phi, \theta)$; $\vec{n} = \vec{n}(\phi, \theta)$

→ Nenhum desses vetores é constante

$$\frac{\partial \vec{m}}{\partial \phi} = \vec{l} \sin \theta - \vec{m} \cos \theta ; \quad \frac{\partial \vec{m}}{\partial \theta} = 0$$

$$\frac{\partial \vec{l}}{\partial \phi} = -\vec{m} \sin \theta ; \quad \frac{\partial \vec{l}}{\partial \theta} = -\vec{n}$$

então, $\vec{r} = r\vec{n}$ (vetor posição)

$$\frac{\partial \vec{n}}{\partial \phi} = \vec{m} \cos \theta ; \quad \frac{\partial \vec{n}}{\partial \theta} = \vec{l}$$

$$\vec{v} = \frac{d\vec{r}}{dt} = \frac{d}{dt}(r\vec{n}) = v_\phi \vec{m} + v_\theta \vec{l} + v_r \vec{n} \quad \text{onde:} \quad \begin{cases} v_\phi = r \cos \theta \frac{d\phi}{dt} \\ v_\theta = r \frac{d\theta}{dt} \\ v_r = \frac{dr}{dt} \end{cases}$$

$$\vec{a} = \frac{d^2\vec{r}}{dt^2} = a_\phi \vec{m} + a_\theta \vec{l} + a_r \vec{n}$$

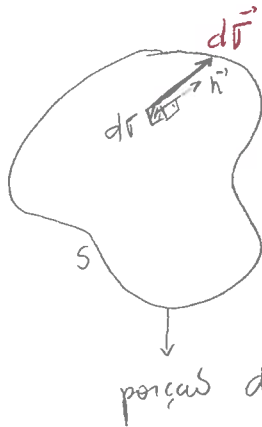
$$\text{onde:} \quad \begin{cases} a_\phi = r \cos \theta \frac{d^2\phi}{dt^2} - 2r \sin \theta \frac{d\phi}{dt} \frac{d\theta}{dt} + 2 \cos \theta \frac{dr}{dt} \frac{d\phi}{dt} \\ a_\theta = r \frac{d^2\theta}{dt^2} + 2 \frac{dr}{dt} \frac{d\theta}{dt} + r \sin \theta \cos \theta \left(\frac{d\phi}{dt} \right)^2 \\ a_r = \frac{d^2r}{dt^2} - r \cos^2 \theta \left(\frac{d\phi}{dt} \right)^2 - r \left(\frac{d\theta}{dt} \right)^2 \end{cases}$$

$$\vec{b} \cdot \vec{c} = b_r c_r + b_\phi c_\phi + b_\theta c_\theta$$

$$\vec{b} \times \vec{c} = \begin{vmatrix} \vec{m} & \vec{l} & \vec{n} \\ b_\phi & b_\theta & b_r \\ c_\phi & c_\theta & c_r \end{vmatrix}$$

1.1.4 FLUXO

3



a normal sempre está definida "para fora" do volume que contém a superfície

$$d\vec{\sigma} = \vec{n} d\sigma [L^2] \rightarrow \text{dimensões}$$

FLUXO DE VOLUME ATRAVÉS DE $d\sigma$: $|\vec{n} \cdot d\vec{\sigma}|$

$$\left[\frac{L}{T} \cdot L^2 \right] = [L^3 T^{-1}]$$

$m^3 \cdot s^{-1} \text{ no } S$

usando o prod. escalar, garante-se que apenas a componente normal à S está sendo considerada

FLUXO DE MASSA ATRAVÉS DE $d\sigma$:

$$\rho \vec{n} \cdot d\vec{\sigma}$$

$$[MT^{-1}] = L^3 T^{-1} \times \frac{M}{L^3} \rightarrow \text{densidade } (\rho)$$

Fluxo de Volume

Fluxo de Massa

FLUXOS ATRAVÉS DE S :

$$\iint_S \vec{n} \cdot d\vec{\sigma} = V \quad ; \quad \iint_S \rho \vec{n} \cdot d\vec{\sigma} = M$$

1.1.5 DIVERGENTE

$$\vec{F} = F_1 \vec{e}_1 + F_2 \vec{e}_2 + F_3 \vec{e}_3$$

$$\nabla \cdot \vec{F} = \frac{1}{h_1 h_2 h_3} \left[\frac{\partial}{\partial x_1} (h_2 h_3 F_1) + \frac{\partial}{\partial x_2} (h_3 h_1 F_2) + \frac{\partial}{\partial x_3} (h_1 h_2 F_3) \right]$$

h_1, h_2, h_3 : fatores de escala, são funções do sistema de coordenadas utilizado
 x_1, x_2, x_3 : coordenadas

Cartesianas: $h_1 = h_2 = h_3 = 1$

Esféricas (r, θ, ϕ)

Cilíndricas (r, ϕ, z): $h_1 = h_r = 1$

$$h_1 = h_r = 1$$

$$h_2 = h_\phi = r$$

$$h_2 = h_\theta = r$$

$$h_3 = h_z = 1$$

$$h_3 = h_\phi = r \cos \theta$$

$$\nabla \cdot \vec{F} = \frac{\partial F_x}{\partial x} + \frac{\partial F_y}{\partial y} + \frac{\partial F_z}{\partial z} \Rightarrow \text{cartesianas}$$

$$\nabla \cdot \vec{F} = \frac{1}{r} \frac{\partial}{\partial r} (r F_r) + \frac{1}{r} \frac{\partial F_\phi}{\partial \phi} + \frac{\partial F_z}{\partial z} \Rightarrow \text{cilíndricas}$$

$$\nabla \cdot \vec{F} = \frac{1}{r \cos \theta} \frac{\partial F_\phi}{\partial \phi} + \frac{1}{r \cos \theta} \frac{\partial}{\partial \theta} (F_\theta \cos \theta) + \frac{1}{r^2} \frac{\partial}{\partial r} (r^2 F_r) \Rightarrow \text{esféricas}$$

1.1.6 ROTACIONAL

$$\nabla \times \vec{F} = \frac{1}{h_1 h_2 h_3} \begin{vmatrix} h_1 \vec{e}_1 & h_2 \vec{e}_2 & h_3 \vec{e}_3 \\ \frac{\partial}{\partial x_1} & \frac{\partial}{\partial x_2} & \frac{\partial}{\partial x_3} \\ h_1 F_1 & h_2 F_2 & h_3 F_3 \end{vmatrix}$$

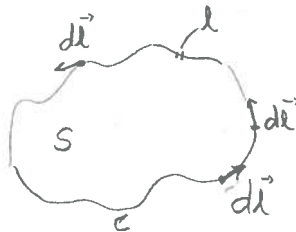
... resolve em casa os rotacionais nos 3 sistemas de coordenadas

1.1.7 TEOREMA DE GAUSS (teorema da divergência)

$$\iint_S \vec{n} \cdot d\vec{S} = \iiint_V \nabla \cdot \vec{n} dV \quad (\text{Aplicado a } \vec{n})$$

1.1.8 TEOREMA DE STOKES

$$\iint_S (\nabla \times \vec{n}) \cdot d\vec{S} = \oint_C \vec{n} \cdot d\vec{l}$$



O contorno C contém a superfície S

(Aplicado a \vec{n})

07/03/2007

1.2 CAMPOS ESCALARES

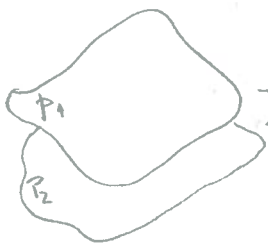
T, S, p, ρ, Φ

T : isotérmica

S : isohalina

p : isobáricas

ρ : isopícnas



superfícies equi-escalares (nunca se cruzam)

Equações da superfície equi-escalar para Ψ : $d\Psi = 0$

diferencial total ou derivada total

Mas $\Psi = \Psi(\vec{r}, t) \Rightarrow \Psi$ é função do espaço e do tempo, daí, usando a regra da cadeia:

$$d\Psi = \frac{\partial \Psi}{\partial t} dt + \nabla \Psi \cdot d\vec{r}$$

Variação Local

Variação Espacial

\rightarrow tempo fixo, grandezas variam no espaço

Ponto fixo, grandezas variam no tempo

1.2.1 GRADIENTE

9

$$\nabla\psi = \frac{\vec{e}_1}{h_1} \frac{\partial\psi}{\partial x_1} + \frac{\vec{e}_2}{h_2} \frac{\partial\psi}{\partial x_2} + \frac{\vec{e}_3}{h_3} \frac{\partial\psi}{\partial x_3}$$

Coordenadas Cartesianas:

$$\nabla\psi = \vec{i} \frac{\partial\psi}{\partial x} + \vec{j} \frac{\partial\psi}{\partial y} + \vec{k} \frac{\partial\psi}{\partial z}$$

Coordenadas Cilíndricas:

$$\nabla\psi = \vec{h} \frac{\partial\psi}{\partial r} + \frac{\vec{m}}{r} \frac{\partial\psi}{\partial \phi} + \vec{k} \frac{\partial\psi}{\partial z}$$

Coordenadas Esféricas:

$$\nabla\psi = \frac{\vec{m}}{r \sin\theta} \frac{\partial\psi}{\partial \phi} + \frac{\vec{l}}{r} \frac{\partial\psi}{\partial \theta} + \vec{n} \frac{\partial\psi}{\partial r}$$

1.2.2 LAPLACIANO

$$\nabla^2\psi = \frac{1}{h_1 h_2 h_3} \left[\frac{\partial}{\partial x_1} \left(\frac{h_2 h_3}{h_1} \frac{\partial\psi}{\partial x_1} \right) + \frac{\partial}{\partial x_2} \left(\frac{h_3 h_1}{h_2} \frac{\partial\psi}{\partial x_2} \right) + \frac{\partial}{\partial x_3} \left(\frac{h_1 h_2}{h_3} \frac{\partial\psi}{\partial x_3} \right) \right]$$

Coordenadas Cartesianas

$$\nabla^2\psi = \frac{\partial^2\psi}{\partial x^2} + \frac{\partial^2\psi}{\partial y^2} + \frac{\partial^2\psi}{\partial z^2}$$

Coordenadas Cilíndricas

$$\nabla^2\psi = \frac{1}{r} \frac{\partial}{\partial r} \left(r \frac{\partial\psi}{\partial r} \right) + \frac{1}{r^2} \frac{\partial^2\psi}{\partial \phi^2} + \frac{\partial^2\psi}{\partial z^2}$$

Coordenadas Esféricas

$$\nabla^2\psi = \frac{1}{r^2 \sin^2\theta} \frac{\partial^2\psi}{\partial \phi^2} + \frac{1}{r^2 \sin\theta} \frac{\partial}{\partial \theta} \left(\sin\theta \frac{\partial\psi}{\partial \theta} \right) + \frac{1}{r^2} \frac{\partial}{\partial r} \left(r^2 \frac{\partial\psi}{\partial r} \right)$$

Divergente reduz a ordem de um tensor em 1 ordem

Rotacional mantém a ordem

Gradiente eleva a ordem

Laplaciano mantém a ordem

TRÓPICO = paralelo

CLÍNICO = inclinado

1.2.3. CLASSIFICAÇÃO DOS CAMPOS

Campo BAROTRÓPICO: superfícies equi-escalares são paralelas às isobáricas (do campo)

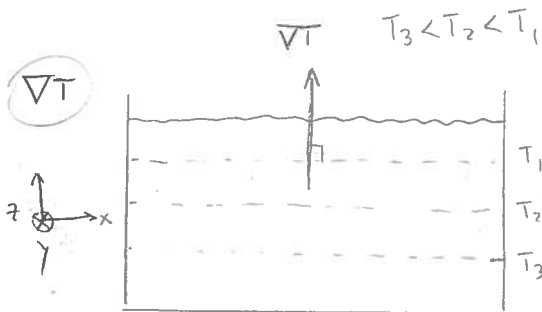
$$\nabla\psi \times \nabla p = 0$$

Campo BAROCLÍNICO = mpf. equi-escalares cruzam às isobáricas

$$\nabla\psi \times \nabla p \neq 0$$

1.3 INTERPRETAÇÃO

T_1, T_2, T_3 = mpf. isotérmicas



$$\nabla T = \frac{\partial T}{\partial x} \hat{i} + \frac{\partial T}{\partial y} \hat{j} + \frac{\partial T}{\partial z} \hat{k}$$

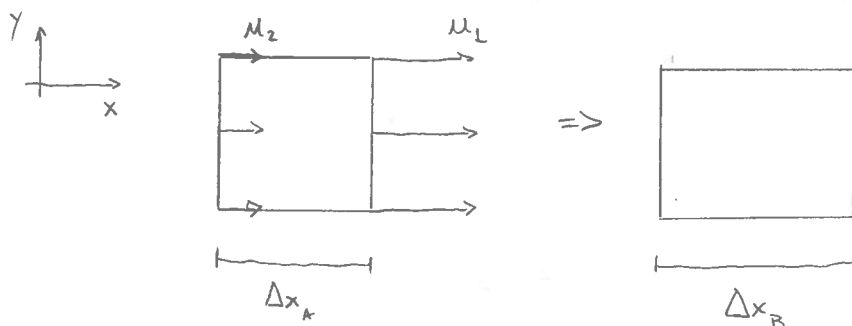
$$\nabla T = \frac{\partial T}{\partial z} \hat{k}$$

$\nabla T \Rightarrow$ como o escalar T varia no espaço

* o gradiente aponta sempre do menor para o maior valor do escalar, na direção da máxima variação

$\nabla \cdot \vec{n}$ $\vec{n} = n_x \hat{i} + n_y \hat{j}$, $\nabla \cdot \vec{n} = \frac{\partial n_x}{\partial x} + \frac{\partial n_y}{\partial y}$

* o divergente mede a variação espacial de um vetor



$$\frac{\partial n_x}{\partial x} \neq 0$$

$$\frac{\partial n_y}{\partial y} = 0$$

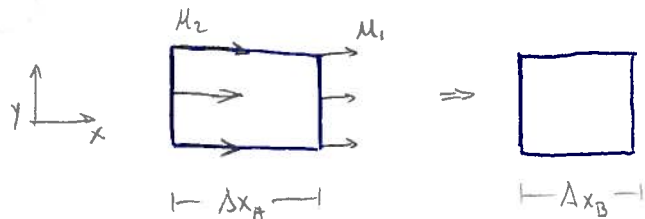
$$\nabla \cdot \vec{n} > 0$$



$$\nabla \cdot \vec{n} = \frac{\partial n_x}{\partial x} \approx \frac{n_1 - n_2}{\Delta x} > 0$$

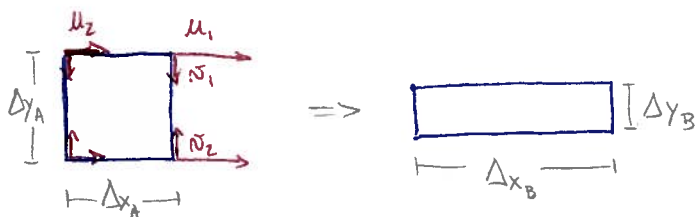
$\nabla \cdot \vec{N} > 0 \Leftrightarrow \text{DIVERGÊNCIA}$

$$\nabla \cdot \vec{N} = \frac{\partial u}{\partial x} \approx \frac{u_1 - u_2}{\Delta x_A} < 0$$



$\nabla \cdot \vec{N} < 0 \Leftrightarrow \text{CONVERGÊNCIA}$

$$\Delta x_B < \Delta x_A$$

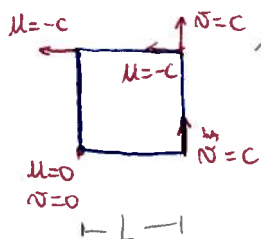


$$\nabla \cdot \vec{N} = \frac{\partial u}{\partial x} + \frac{\partial v}{\partial y} \approx \underbrace{\frac{u_1 - u_2}{\Delta x_A}}_{(+)} + \underbrace{\frac{v_1 - v_2}{\Delta y_A}}_{(-)}$$

$$\Delta x_B > \Delta x_A \text{ e } \Delta y_B < \Delta y_A$$

$\nabla \times \vec{N}$

$$\nabla \times \vec{N} = \left(\frac{\partial v}{\partial x} - \frac{\partial u}{\partial y} \right) \vec{k}$$



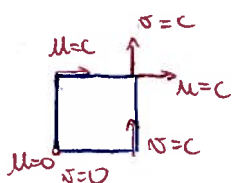
$$\frac{\partial v}{\partial x} \approx \frac{c - 0}{L} = \frac{c}{L}$$

$$\frac{\partial u}{\partial y} \approx \frac{-c - 0}{L} = -\frac{c}{L}$$

$$\nabla \times \vec{N} = \left[\frac{c}{L} - \left(-\frac{c}{L} \right) \right] \vec{k} = \frac{2c}{L} \vec{k}$$

* rotacional muda a rotação do elemento de superfície ou volume

Como a rotação é em torno do eixo z, o "vetor rotacional" aponta na direção \vec{k} , e neste caso, no sentido p/ fora do papel.



$$\nabla \times \vec{N} \approx \left(\frac{c - 0}{L} - \frac{c - 0}{L} \right) \vec{k} = 0$$

1.4 DESCRIÇÕES

f : propriedade do fluido

\vec{r} : vetor posição

\vec{r}_i : posição do i -ésimo elemento de volume do fluido

Descrição Euleriana : $f = f(\vec{r}, t)$, equações diferenciais

Descrição Lagrangiana : $f = f(\vec{r}_i, t)$, equações integrais \Rightarrow grande complexidade matemática

$$df = \left(\frac{\partial f}{\partial t} \right)_{x,y,z} dt + \left(\frac{\partial f}{\partial x} \right)_{y,z,t} dx + \left(\frac{\partial f}{\partial y} \right)_{x,z,t} dy + \left(\frac{\partial f}{\partial z} \right)_{x,y,t} dz$$

$$\frac{df}{dt} = \left(\frac{\partial f}{\partial t} \right)_{x,y,z} + \left(\frac{\partial f}{\partial x} \right)_{y,z,t} \frac{dx}{dt} + \left(\frac{\partial f}{\partial y} \right)_{x,z,t} \frac{dy}{dt} + \left(\frac{\partial f}{\partial z} \right)_{x,y,t} \frac{dz}{dt}$$

derivada total

de f em relação ao

\uparrow

tempo

Estes índices são subentendidos, sabendo que $f = f(\vec{r}, t)$

$$\frac{df}{dt} = \frac{\partial f}{\partial t} + u \frac{\partial f}{\partial x} + v \frac{\partial f}{\partial y} + w \frac{\partial f}{\partial z}$$

$$f = f(x, y, z, t)$$

$$\boxed{\frac{df}{dt} = \frac{\partial f}{\partial t} + \vec{v} \cdot \nabla f}$$

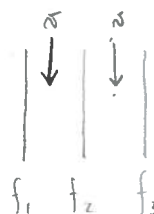
$\frac{df}{dt}$: variação total de f (ou derivada substantiva)

$\frac{\partial f}{\partial t}$: variação local de f

$\vec{v} \cdot \nabla f$: variação advectiva de f

Campo Estacionário $\Leftrightarrow \frac{\partial f}{\partial t} = 0$

$$\vec{v} \cdot \nabla f = 0 \Rightarrow \begin{cases} \vec{v} = 0 \\ \nabla f = 0 \\ \vec{v} \perp \nabla f \end{cases}$$



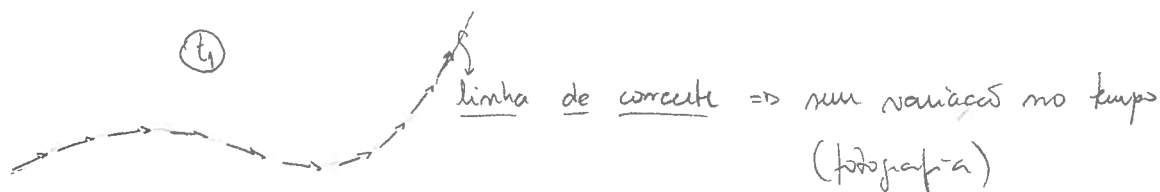
$$\nabla f = \frac{\partial f}{\partial x} \vec{i}$$

$$\vec{v} = v \vec{j}$$

$$\vec{v} \cdot \nabla f = 0$$

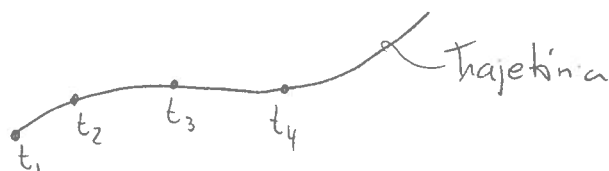
1.5 LINHA DE CORRENTE E TRAJETÓRIA

6



Eq. da Linha de Corrente: $d\vec{s} \times \vec{v} = 0$

Trajetória: lugar geométrico dos pontos ocupados consecutivamente por cada elemento de volume do fluido. Representa a evolução temporal de cada partícula de fluido



A linha de corrente coincidirá com uma trajetória se o movimento for estacionário! Variação local é zero.

Eq. da trajetória: $d\vec{s} = \vec{v} dt$

PRINCÍPIO DE CONTINUIDADE

Elemento de Fluido \rightarrow mesmo volume de fluido possível que se encontra no mesmo do fluido, ou seja, o mesmo volume possível antes de se atingir o mesmo molecular ou atômico.

2. FORÇAS E EQUAÇÕES

2.1 FORÇAS

2.1.1. FORÇAS PROPORCIONAIS AO VOLUME (forças de corpo; força de ação à grandes dist)

Forma Geral da força

$$d\vec{F}_v = \vec{E}(\vec{r}, t) \rho(\vec{r}, t) dV \quad (2.1)$$

As forças proporcionais ao volume são definidas em função de um campo \vec{E}

\vec{F}_v : força $[MLT^{-2}]$

\vec{E} : campo $[LT^{-2}]$ (intensidade do campo por unidade de massa)

ρ : densidade $[ML^{-3}]$

V : volume $[L^3]$

⊗ No referencial inercial (não acelerado), a única força \propto ao volume, hidrodinamicamente importante é a FORÇA GRAVITACIONAL.

No referencial não-inercial (acelerado), devem ser consideradas também as FORÇAS FICTÍCIAS

GRAVITAÇÃO

- Devido principalmente à ação da Terra, lua e Sol

• Força gravitacional, por unid. de massa, exceto num elem. de volume:

$$\frac{\vec{F}_v}{m} = - \nabla \Phi$$

$[LT^{-2}]$ aceleração

potencial gravitacional

• TERRA: Potencial gravitacional Terrestre (força peso)

• LUA e SOL: Potencial gravitacional Astromômico (mares)

$$\text{Na TERRA: } |\nabla \Phi| = |\vec{g}| = \frac{G(M - \Delta M)}{(a - z)^2}$$

$$G = 6,674 \cdot 10^{-11} \text{ m}^3 \text{ kg}^{-1} \text{ s}^{-2} \text{ (cte gravitacional)}$$

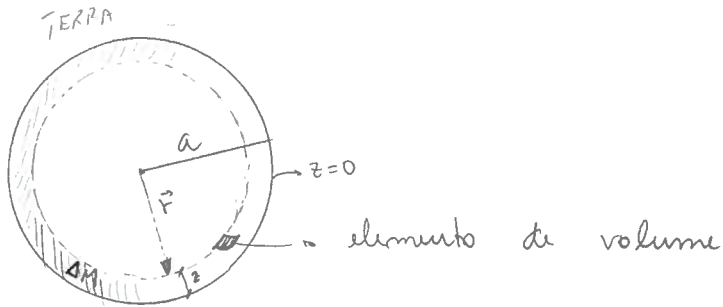
$$M = 5,977 \cdot 10^{24} \text{ kg (massa da Terra)}$$

$$a = 6,371 \cdot 10^6 \text{ m (raio médio da Terra)}$$

$z \Rightarrow$ altura do elemento de volume

$\Delta M \Rightarrow$ massa da calota esférica

situada entre z e a



Demonstra-se que

$$\frac{G(M - \Delta M)}{(a - z)^2} \approx g_0 - 2,244 \cdot 10^{-8} z, \text{ onde } g_0 = 9,82 \text{ m.s}^{-2} \quad \left(\begin{array}{l} \text{aceleração gravi} \\ \text{tacional na} \\ \text{superf. do mar} \end{array} \right)$$

$$\frac{1}{m} \vec{F}_v = -\nabla \Phi = - (g_0 - 2,244 \cdot 10^{-8} z) \frac{\vec{r}}{r} \quad (2.2)$$

No oceano, $|z_{\max}| = 0 \text{ (} 10^4 \text{ m)}$

$$\begin{array}{ccc} g_0 & - & 2,244 \cdot 10^{-8} (z_{\max}) \\ \downarrow & & \downarrow \\ 0(10) & & 0(10^{-4}) \approx 0(10) \end{array}$$

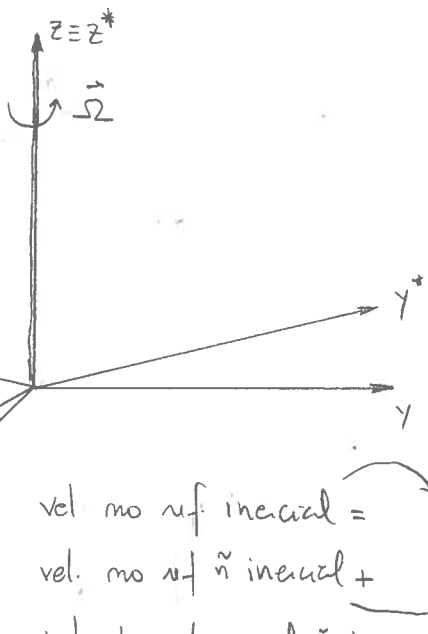
a correção pode ser desprezada

$$a + b, a \gg b \Rightarrow a + b \approx a$$

$$\frac{1}{m} \vec{F}_v = -\nabla \Phi \approx -g_0 \frac{\vec{r}}{r}$$

$$(2.3) \quad \frac{\vec{r}}{r} \Rightarrow \text{para dar a direção}$$

2.1.2. REFERENCIAIS NÃO - INERCIAIS



$(x, y, z) \rightarrow$ referencial inercial

$(x^*, y^*, z^*) \rightarrow$ referencial não-inercial

girando com eixo em z ,
junto com a Terra.

$\vec{\Omega} \Rightarrow$ velocidade de rotação da Terra angular, girando de ω_p/E

vel no ref. inercial =

vel. no ref. ã inercial +

vel. do referencial ã inercial

$$\frac{d\vec{r}}{dt} = \frac{d\vec{r}^*}{dt} + \vec{\Omega} \times \vec{r}^*$$

velocidade do ref. ã inercial

Unidade do Geopotencial : $\frac{L}{T^2} = \frac{1}{L} \cdot \frac{L^2}{T^2}$, no S.I. $\frac{m^2}{s^2}$

\downarrow
 Φ^*

Em Oceanografia, ainda, utiliza-se o Metro Dinâmico

1 mdim = $10 m^2/s^2 = 10 J \cdot kg^{-1}$

Resumo: 2 forças ao volume no ref. inercial
FORÇA DA GRAVIDADE + FORÇA DE CORIOLIS

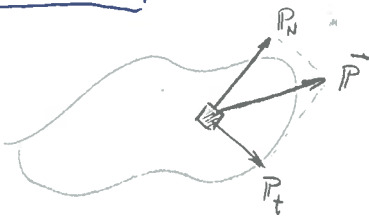
2.1.3. FORÇAS PROPORCIONAIS À SUPERFÍCIE

$$d\vec{F}_s = \vec{P} d\vec{r} \quad (2.8)$$

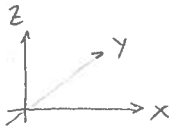
\vec{P} : tensão [$M L^{-1} T^{-2}$]; σ : área [L^2]

P_N - Tensão normal \Rightarrow PRESSÃO

P_t - Tensão Tangencial \Rightarrow ATRITO

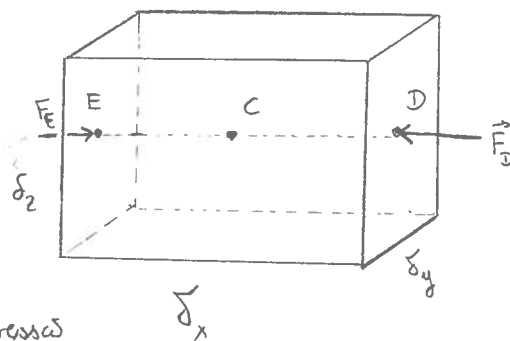


FORÇA DO GRADIENTE DE PRESSÃO



Nesse caso, \vec{P} é a chamada tensão normal, associada à pressão.

Tensão Normal = Pressão



$$\delta_v = \delta_x \delta_y \delta_z$$

$$C(x_c, y_c, z_c)$$

pressão em C é p_c

A pressão num ponto de coordenada x_q pode ser obtida expandindo p em série de Taylor em torno de x_c

$$p_{x_q} = p_c + (x_q - x_c) \left. \frac{\partial p}{\partial x} \right|_{x_c} + \frac{(x_q - x_c)^2}{2!} \left. \frac{\partial^2 p}{\partial x^2} \right|_{x_c} + \dots$$

δ_x é infinitesimal, então

$\delta_x \ll 1 \Rightarrow$ o maior termo

é o 1º, os outros não desprezados

$$x_q = x_E \Rightarrow p_E = p_c - \frac{\delta_x}{2} \left. \frac{\partial p}{\partial x} \right|_{x_c} + O[(\delta_x^2)]$$

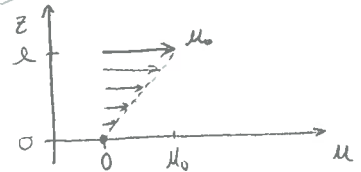
$$x_q = x_D \Rightarrow p_D = p_c + \frac{\delta_x}{2} \left. \frac{\partial p}{\partial x} \right|_{x_c} + O[(\delta_x^2)]$$

$$\lim_{h \rightarrow 0} \Rightarrow \frac{F}{A} = \mu \frac{\partial u}{\partial z} = \tau_{zx} \quad \therefore \quad \tau_{zx} = \mu \frac{\partial u}{\partial z} \quad (2.11) \quad \frac{\bar{F}}{A} = \text{tensão} \downarrow \tau$$

τ_{zx} : tensão de cisalhamento devido a variação da componente u da velocidade na direção z .

PRINCÍPIO DA ADERÊNCIA: Elementos de volume em contato com a placa possuem a mesma velocidade de da placa

OBS: 1) $\mu_{\text{turbulento}} \rightarrow \mu_{\text{laminar}}$



2) $\mu_{\text{laminar}} \propto$ estado físico do fluido, das prop. físicas do fluido (S, T, p)

$\mu_{\text{turbulento}} \propto$ movimento do fluido

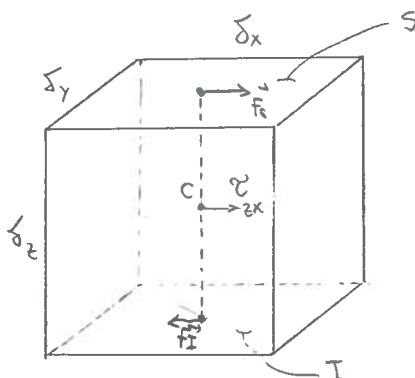
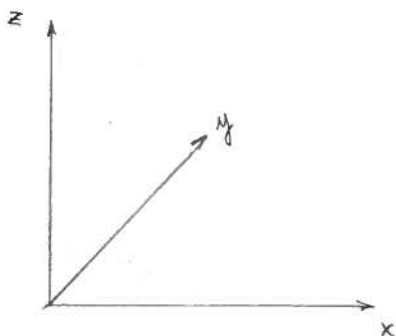
19/03/2007

COEFICIENTE CINEMÁTICO DE VISCOSIDADE

$$\boxed{\nu = \frac{\mu}{\rho} \quad [L^2 T^{-1}]}$$

(*) Ex: para água em estado laminar $\nu = 0(10^{-6}) m^2 s^{-1}$
para água em estado turbulento $\nu = 0(10^3 - 10^6)$ vezes maior

τ é um tensor de ordem 2, com 9 componentes



No ponto c: τ_{zx}

2.2. CONSERVAÇÃO DE PROPRIEDADE

F. 11

Seja \underline{b} uma propriedade específica do fluido (por unidade de massa), A quantidade total de \underline{b} no volume \underline{V} é:

$$\iiint_V \rho b \, dV \quad [B] \quad b \left[\frac{B}{M} \right]$$

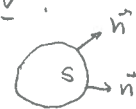
B: propriedade $\gamma\gamma$ do fluido

$$\rho \left[\frac{M}{L^3} \right] b \left[\frac{B}{M} \right] \cdot dV [L^3] = [B]$$

(1) Essa quantidade pode variar quando ocorre um transporte de \underline{b} através da superfície \underline{S} do volume \underline{V} :

$$\oiint_S \rho b \vec{n} \cdot d\vec{r} \quad [BT^{-1}]$$

onde $d\vec{r} = dr \vec{n}$ (elem. de mpf)



fluxo (advecção)

$$\vec{n} \cdot d\vec{r} > 0 \Rightarrow \vec{n} // \vec{n} \quad (b \text{ está saindo})$$

(2) Transporte difusivo da quantidade através de

Q_b é uma fonte ou sumidouro dessa propriedade.

$$\iiint_V Q_b \, dV$$

Portanto,

$$\frac{\partial}{\partial t} \iiint_V \rho b \, dV = - \oiint_S \rho b \vec{n} \cdot d\vec{r} + \iiint_V Q_b \, dV$$

usando o teorema de Gauss...

$$\iiint_V \frac{\partial}{\partial t} (\rho b \, dV) = - \iiint_V \nabla \cdot (\rho b \vec{n}) \, dV + \iiint_V Q_b \, dV \quad (2.18) \text{ ou,}$$

$$\boxed{\frac{\partial}{\partial t} (\rho b) = - \nabla \cdot (\rho b \vec{n}) + Q_b} \quad (2.19)$$

↳ TEOREMA DA CONSERVAÇÃO DE PROPRIEDADE

2.3. CONSERVAÇÃO PARA O OCEANO

2.3.1. CONSERVAÇÃO DE MASSA

$$B = m$$

$$b = \frac{m}{m} = 1$$

$$Q_b = 0$$

$$(2.19) \Rightarrow \boxed{\frac{\partial \rho}{\partial t} + \nabla \cdot (\rho \vec{n}) = 0} \quad (2.20)$$

Eq. de CONSERVAÇÃO DE MASSA

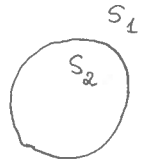
2.3.2. CONSERVAÇÃO DE SAL

$$B = m_{\text{sal}}$$

F. 12

$$b = n = \frac{m_{\text{sal}}}{m_{\text{total}}}$$

$$Q_b > 0; \frac{\partial}{\partial t} > 0 \Rightarrow Q_b \text{ é fonte}$$



$$Q_b = -\nabla \cdot \vec{\Phi}$$

$$Q_b < 0; \frac{\partial}{\partial t} < 0 \Rightarrow Q_b \text{ é sorvedouro}$$

\$\Phi\$: difusão de sal \$[m \cdot L^{-2} T^{-1}]\$

$$\text{para } \nabla \cdot (\rho b \vec{v}) = 0$$

$$\frac{\partial(\rho n)}{\partial t} + \nabla \cdot (\rho n \vec{v}) = -\nabla \cdot \vec{\Phi}$$

subtraindo (2.20) multiplicado por \$S\$,

obtemos:

Eq. de difusão de sal

$$\boxed{\frac{\partial n}{\partial t} + \vec{n} \cdot \nabla n = -\frac{1}{\rho} \nabla \cdot \vec{\Phi}} \quad (2.24)$$



Modelo para \$\vec{\Phi}\$ ou parametrização: \$\vec{\Phi} = -K_s \nabla n\$

onde \$K_s\$ é o coeficiente de difusão de sal \$K_s = [m \cdot L^{-2} T^{-1}]\$

(2.24) pode ser escrita:

$$\boxed{\frac{\partial S}{\partial t} + \vec{n} \cdot \nabla S = \frac{K_s}{\rho} \nabla^2 S} \quad (2.25)$$

onde \$S\$ é a salinidade usada em oceanografia (\$\text{‰}\$)

Eq. DE DIFUSÃO DE SAL (também)

2.3.3. CONSERVAÇÃO DA QUANTIDADE DE MOVIMENTO

$$B = m \cdot \vec{v}$$

$$\left. \begin{aligned} \vec{b} &= \frac{d\vec{n}}{dt} = \vec{n} \\ \vec{Q}_b &= \frac{\rho}{m} (\vec{F}_v + \vec{F}_s) \end{aligned} \right\} (2.19) \Rightarrow \frac{\partial(\rho \vec{n})}{\partial t} + \nabla \cdot (\rho \vec{n} \vec{n}) = \frac{\rho}{m} (\vec{F}_v + \vec{F}_s)$$

Subtraindo da eq. acima, a eq (2.20) multiplicada por \$\vec{n}\$:

aceleração advectiva

$$\frac{\partial \vec{n}}{\partial t} + \vec{n} \cdot \nabla \vec{n} = \frac{1}{m} (\vec{F}_v + \vec{F}_s)$$

Eq. Geral do Movimento

(2ª Lei de Newton)

aceleração local

2.4 EQUAÇÕES DO ESTADO

F.13

Fecha o sistema de equações (5 eq e 3 integrais)

$$\boxed{p = p(S, T, \rho)} \quad (2.28) \quad (2.28)$$

2.5 EQUAÇÕES NUM REFERENCIAL RIGIDAMENTE LIGADO A TERRA. (Referencial Não Inercial)

→ Em todas as eq., $\vec{v} = \vec{v}^*$, $\frac{d}{dt} = \frac{d^*}{dt}$, ...

→ usaremos coordenadas esféricas

EQUAÇÕES DE CONSERVAÇÃO DE MASSA

$$\underbrace{\frac{1}{\rho} \left(\frac{\partial \rho}{\partial t} + \frac{N_\phi}{r \cos \theta} \frac{\partial \rho}{\partial \phi} + \frac{N_\theta}{r} \frac{\partial \rho}{\partial \theta} + N_r \frac{\partial \rho}{\partial r} \right)}_{\text{variações locais}} + \underbrace{\dots}_{\text{variações advectivas}} \quad (2.29)$$

$$\dots + \underbrace{\frac{1}{r \cos \theta} \frac{\partial N_\theta}{\partial \phi} + \frac{1}{r \cos \theta} \frac{\partial}{\partial \theta} (N_\phi \cos \theta) + \frac{\partial N_r}{\partial r} + \frac{2 N_r}{r}}_{\nabla \cdot \vec{N}} = 0$$

EQUAÇÃO DA DIFUSÃO DE S_2

$$\underbrace{\frac{\partial S}{\partial t} + \frac{N_\phi}{r \cos \theta} \frac{\partial S}{\partial \phi} + \frac{N_\theta}{r} \frac{\partial S}{\partial \theta} + N_r \frac{\partial S}{\partial r}}_{\text{var. local}} = \underbrace{\frac{K_S}{\rho} \left[\frac{1}{r^2 \cos^3 \theta} \frac{\partial^2 S}{\partial \phi^2} + \frac{1}{r^2 \cos \theta} \frac{\partial}{\partial \theta} \left(\cos \theta \frac{\partial S}{\partial \theta} \right) + \dots \right]}_{\text{var. advectivas}} + \underbrace{\frac{2}{r} \frac{\partial S}{\partial r} + \frac{\partial^2 S}{\partial r^2}}_{\text{difusão}} \quad (2.30)$$

EQUAÇÃO DO MOVIMENTO

$$\frac{\partial \vec{v}}{\partial t} + (\vec{v} \cdot \nabla) \vec{v} + 2 \vec{\Omega} \times \vec{v} = \frac{1}{\rho} \nabla p - \underbrace{\nabla \Phi^* + \frac{\mu}{\rho} \nabla^2 \vec{v}}_{\nabla \Phi - \vec{\Omega} \times (\vec{\Omega} \times \vec{r})} \quad (2.31)$$

2.6 EQUILÍBRIO HIDROSTÁTICO

→ Uma solução particular para o conj. de equações

FLUIDO EM REPOUSO!

Soluções: $\vec{v} = 0$

variações de p e ρ apenas na direção vertical

$$\rho = \rho_0(r) \quad (2.36)$$

$$p = p_0(r)$$

Das 7 equações governantes, sobram:

$$0 = -\frac{1}{\rho} \frac{\partial p_0}{\partial r} - g \Rightarrow \boxed{\frac{\partial p_0}{\partial r} = -\rho_0 g} \quad (2.37)$$

var. vertical da pressão é proporcional ao ρ_0

O oceano real nunca está em equilíbrio hidrostático, mas muitas vezes, ele comporta de forma aproximadamente hidrostática.

2.7 APROXIMAÇÕES

2.7.1 Aproximação de Boussinesq

$$(2.38) \quad \begin{array}{l} p(\phi, \theta, r, t) = p_0(r) + \tilde{p}(\phi, \theta, r, t) \\ \rho(\phi, \theta, r, t) = \rho_0(r) + \tilde{\rho}(\phi, \theta, r, t) \end{array} \quad \begin{array}{l} \text{onde } \tilde{p} \text{ é a anomalia de } p \\ \text{em relação ao oceano hidrostático} \end{array}$$

$\underbrace{\hspace{1.5cm}}$
Total

$\underbrace{\hspace{1.5cm}}$
hidrostática

$\underbrace{\hspace{1.5cm}}$
Desvio

Escrevendo a eq do mov. usando estas notações, e multiplicando-a por ρ

$$(2.31) = (\rho_0 + \tilde{\rho}) \frac{d\vec{v}}{dt} + 2(\rho_0 + \tilde{\rho}) \vec{\Omega} \times \vec{v} = -\nabla p_0 - \nabla \tilde{p} + (\rho_0 + \tilde{\rho}) \vec{g} + \mu \nabla^2 \vec{v} \quad (2.39)$$

Mas, $-\nabla p_0 = -\frac{\partial p_0}{\partial r} \vec{n}$

$$(\rho_0 + \tilde{\rho}) \vec{g} = -(\rho_0 + \tilde{\rho}) g \vec{n} = -\rho_0 g \vec{n} - \tilde{\rho} g \vec{n}$$

dividindo a eq (2.37), a eq (2.39) fica:

(15)

$$\rho \frac{d\vec{v}}{dt} + 2\rho(\vec{\Omega} \times \vec{v}) = -\nabla \tilde{p} + \tilde{\rho} \cdot \vec{g} + \mu \nabla^2 \vec{v} \quad (2.40)$$

aqui já não aparece a pressão hidrostática p_0

\Rightarrow p/ os processos físicos do oceano, apenas a perturbação da pressão é importante

porém, de (2.38),

$$\text{Muitas vezes } \frac{\tilde{\rho}}{\rho_0} = O(10^{-3}) \text{ no oceano}$$

$$\rho = \rho_0 + \tilde{\rho} = \rho_0 \left(1 + \frac{\tilde{\rho}}{\rho_0}\right)$$

$$\text{Nesse caso, } \rho = \rho_0 \left(1 + \frac{\tilde{\rho}}{\rho_0}\right) = \rho_0 \underbrace{\left[1 + O(10^{-3})\right]}_{\approx 1} \approx \rho_0 \quad (2.41)$$

$$\boxed{\text{APROXIMAÇÃO DE BOUSSINESQ} \Leftrightarrow \rho \approx \rho_0}$$

! O que vai indicar α podemos usar ou não a aprox. é a razão $\frac{\tilde{\rho}}{\rho_0}$

! usando a aproximação simplifica-se as equações, pois ρ não depende de outros variáveis.

(2.41) em (2.40):

$$\boxed{\frac{d\vec{v}}{dt} + 2\vec{\Omega} \times \vec{v} = -\frac{1}{\rho_0} \nabla \tilde{p} + \vec{g}' + \frac{\mu}{\rho_0} \nabla^2 \vec{v}} \quad (2.42)$$

Eq. do Movimento sob a aproximação de boussinesq

$$\text{onde } \vec{g}' = \frac{\tilde{\rho}}{\rho_0} \vec{g} \quad (2.43) \quad \vec{g}' \text{ é a } \underline{\text{GRAVIDADE REDUZIDA}}$$

2.7.2 Método de Análise de Escalas

$$\left. \begin{array}{l} a+b \\ a \gg b \end{array} \right\} a+b \approx a$$

1) Identificar o movimento ou processo a ser estudado

2) Identificar as escalas típicas para o processo.

3) Usar essas escalas típicas para escrever as variáveis em forma não-dimensional

4) Comparar a ordem de grandeza (expressa pelos coeficientes) dos termos da eq

5) Desprezar as parcelas que têm relativamente menor ordem de grandeza.

16

2.7.3 Equações Não-Dimensionais (Pedlosky)

Inicialmente faremos as transformações, antes de aplicar o método de análise de escala.

! Continuaremos em coordenadas esféricas, mas trocaremos os nomes ϕ, θ, r por x, y, z !

$$x = \phi - a \cos \theta_0$$

$$u = \bar{u}_\phi$$

$$y = a (\theta - \theta_0)$$

$$v = \bar{u}_\theta$$

$$z = r - a$$

$$w = \bar{u}_r$$

2) Escalas Típicas

Distância "horizontal", zonal/meridional : L

Distância vertical : D

Tempo : $\frac{1}{\sigma}$, onde σ é a frequência do movimento

Velocidade zonal/meridional : U

Velocidade vertical : W

Pressão : \hat{p}

Densidade : $\hat{\rho}$

3) Variáveis e equações não-dimensionais:

$$x' = \frac{x}{L}; \quad y = Ly'; \quad z = Dz'; \quad u = Uu'; \quad v = Uv'; \quad w = Ww'; \quad t = \frac{t'}{\sigma}$$

$$p = \hat{p} (p_0 + \tilde{p}'); \quad \rho = \hat{\rho} (\rho_0 + \tilde{\rho}')$$

Equações da Continuidade (parte de 2.29): $x', y', z' \rightarrow O(1)$

$$\frac{U}{L} \frac{\cos \theta_0}{(1+\gamma z')} \frac{\partial u'}{\partial x'} + \frac{U}{L} \frac{1}{1+\gamma z'} \frac{\partial v'}{\partial y'} + \frac{W}{D} \frac{\partial w'}{\partial z'} + \frac{W}{a} \frac{2}{1+\gamma z'} w' - \frac{U}{a} \frac{\tan \theta}{1+\gamma z'} v' = 0$$

onde $\gamma = \frac{D}{a} \rightarrow O(10^3) \Rightarrow \gamma \rightarrow O(10^{-3}) \Rightarrow \boxed{1 + \gamma z' \approx 1}$

Aproximação da Calota Esférica

Como $\gamma \ll 1$, para manter as 3 primeiras parcelas na equação da continuidade é necessário que:

$$O\left[\frac{U}{L}\right] = O\left[\frac{W}{D}\right] \Rightarrow \boxed{W = \frac{D}{L} \cdot U} \quad (2.45)$$

usando (2.45),

$$\frac{\cos \theta_0}{(1+\gamma z')} \frac{\partial u'}{\partial x'} + \frac{1}{(1+\gamma z')} \frac{\partial v'}{\partial y'} + \frac{\partial w'}{\partial z'} + \gamma \frac{2}{1+\gamma z'} w' - \lambda \frac{\tan \theta}{1+\gamma z'} v' = 0 \quad (2.46)$$

onde $\lambda = \frac{L}{a}$

Equações do Movimento:

(2.47)

$$\begin{aligned} \text{zonal: } \mathcal{E}_t \frac{\partial u'}{\partial t} + \mathcal{E} \left[\frac{\cos \theta_0}{(1+\gamma z')} u' \frac{\partial u'}{\partial x'} + \frac{1}{1+\gamma z'} v' \frac{\partial u'}{\partial y'} + w' \frac{\partial u'}{\partial z'} + \gamma \frac{u' w'}{1+\gamma z'} - \lambda \frac{\tan \theta}{1+\gamma z'} u' v' \right] - \\ - \frac{\sin \theta}{|\sin \theta_0|} v' + \delta \frac{\cos \theta}{|\sin \theta_0|} w' = - \frac{\cos \theta_0}{(\rho'_0 + \mathcal{E} F \hat{\rho}') (1+\gamma z') \cos \theta} \frac{\partial \hat{p}'}{\partial x'} + \frac{\mathcal{E}}{2} [\nabla'^2 u' + \dots] \end{aligned}$$

$$\begin{aligned} \text{meridional: } \mathcal{E}_t \frac{\partial v'}{\partial t} + \mathcal{E} \left[\frac{\cos \theta_0}{(1+\gamma z')} u' \frac{\partial v'}{\partial x'} + \frac{1}{1+\gamma z'} v' \frac{\partial v'}{\partial y'} + w' \frac{\partial v'}{\partial z'} + \gamma \frac{v' w'}{1+\gamma z'} - \lambda \frac{\tan \theta}{1+\gamma z'} u'^2 \right] + \\ + \frac{\sin \theta}{|\sin \theta_0|} u' = - \frac{1}{(\rho'_0 + \mathcal{E} F \hat{\rho}') (1+\gamma z')} \frac{\partial \hat{p}'}{\partial y'} + \frac{\mathcal{E}}{2} [\nabla'^2 v' + \dots] \quad (2.48) \end{aligned}$$

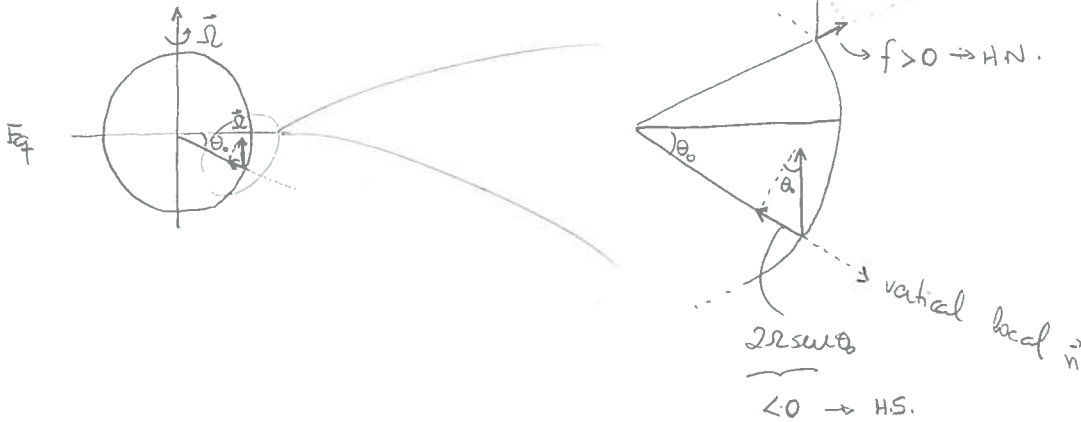
$$\begin{aligned} \text{vertical: } \mathcal{E}_t \delta^2 \left[\frac{\cos \theta_0}{(1+\gamma z')} u' \frac{\partial w'}{\partial x'} + \frac{1}{1+\gamma z'} v' \frac{\partial w'}{\partial y'} + w' \frac{\partial w'}{\partial z'} - \frac{\lambda}{\delta} \frac{1}{1+\gamma z'} v'^2 - \frac{\lambda}{\delta} \frac{1}{1+\gamma z'} u'^2 \right] - \\ - \delta \frac{\cos \theta}{|\sin \theta_0|} u' = - \frac{1}{(\rho'_0 + \mathcal{E} F \hat{\rho}') \delta z'} \frac{\partial \hat{p}'}{\partial z'} - \frac{\hat{\rho}'}{(\rho'_0 + \mathcal{E} F \hat{\rho}')} + \delta^2 \frac{\mathcal{E}}{2} [\nabla'^2 w' + \dots] \quad (2.49) \end{aligned}$$

26/03/2007

18

Definições: Números não-dimensionais

1) $2\Omega \sin \theta_0 = f_0$: parâmetro de Coriolis



2) $\epsilon_t = \frac{\sigma}{|f|}$: Número de Rossby Local

$\epsilon_t > 1 \Rightarrow$ movimento suprainercial

$\epsilon_t < 1 \Rightarrow$ movimento subinercial

$$\frac{d\vec{\sigma}}{dt} = \underbrace{\left| \frac{\partial \vec{\sigma}}{\partial t} \right|}_{\epsilon_t} + \underbrace{\left| \vec{\sigma} \cdot \nabla \vec{\sigma} \right|}_{\epsilon}$$

3) $\epsilon = \frac{U}{L|f|}$: Número de Rossby Advectivo

4) $\delta = \frac{D}{L}$: Razão de Aspecto

$\delta \ll 1 \Rightarrow$ movimento quase-horizantal

5) $F = \frac{U^2 L^2}{gD}$: Número de Froude

6) $R = \frac{\sqrt{gD}}{|f|}$ [L]: Razão de Deformação de Rossby

Exemplo: lat média ($30^\circ - 40^\circ$): $f_0 = 0.10^{-5} \text{ s}^{-1}$

$D = 10^3 \text{ m}$

$$\Rightarrow R = \frac{\sqrt{10 \times 10^3}}{10^{-5}} = 10^7 \text{ m} = 10^4 \text{ km}$$

7) $F = \left(\frac{L}{R} \right)^2$: Número de Froude, outra forma

$F \ll 1 \Rightarrow$ rotação da Terra não é importante no movimento

8) $E = \frac{2\mu}{|\mathbf{f}| L^2}$: Número de Ekman

$E \ll 1 \Rightarrow$ força de atrito pode ser desprezada

9) $\hat{p}' = EF\hat{p}' \Rightarrow$ para obter escalas diferentes entre p_0 e \hat{p} e p_0 e \tilde{p} ,
 $\tilde{p}' = EF\hat{p}'$ pois comparativamente, têm tamanhos bem díspares.

Continuando a escrever as eq. na forma não-dimensional

Equações da Difusão de Sal

(2.51)

$$E_t \frac{\partial s'}{\partial t} + E \left[\frac{\cos \theta_0}{(1+\gamma_{z'}) \cos \theta} u' \frac{\partial s'}{\partial x'} + \frac{1}{1+\gamma_{z'}} v' \frac{\partial s'}{\partial y'} + w' \frac{\partial s'}{\partial z'} \right] = \frac{k_s}{\rho_0 |\mathbf{f}|} \left(\frac{\partial^2 s'}{\partial x'^2} + \frac{\partial^2 s'}{\partial y'^2} + \frac{\partial^2 s'}{\partial z'^2} \right)$$

Equações da Condução de Calor

(2.52)

$$E_t \frac{\partial T'}{\partial t} + E \left[\frac{\cos \theta_0}{(1+\gamma_{z'}) \cos \theta} u' \frac{\partial T'}{\partial x'} + \frac{1}{1+\gamma_{z'}} v' \frac{\partial T'}{\partial y'} + w' \frac{\partial T'}{\partial z'} \right] = \frac{k_T}{\rho_0 |\mathbf{f}|} \left(\frac{\partial^2 T'}{\partial x'^2} + \frac{\partial^2 T'}{\partial y'^2} + \frac{\partial^2 T'}{\partial z'^2} \right)$$

onde $S = \hat{S}S'$ e $T = \hat{T}T'$.

Próximo passo do Método da Análise de Escalas: comparar termos

2.7.4 Aproximação de Boussinesq

Nas equações, para desprezar (2), $EF \ll 1$

$\underbrace{p_0'}_{(1)} + \underbrace{EF\hat{p}'}_{(2)}$

Aproximação de Boussinesq $\Leftrightarrow EF \ll 1$

↳ Teste p/ o uso da Aproximação

$\Rightarrow \boxed{p_0' + EF\hat{p}' \approx p_0'}$

2.7.5 Aproximação da Calota Esférica

(20)

$$\gamma = \frac{D}{a}$$

Válida sempre!

No oceano, $D_{\max} = 10^4 \text{ m} \therefore \gamma \ll 1 \Rightarrow \boxed{1 + \gamma_z \approx 1}$

2.7.6 Aproximação segundo o Plano Beta

Introdução: É possível simplificar as equações em coordenadas esféricas para obter equações em coordenadas cartesianas?

Resposta: Vamos supor que $\lambda = \frac{L}{a} < 1$ (escala horizontal < raio da Terra)

Nesse caso: $y = a(\theta - \theta_0) \therefore \theta = \frac{y}{a} + \theta_0 \therefore \theta = \frac{\lambda y'}{a} + \theta_0 \therefore \theta = \lambda y' + \theta_0$

$$\Rightarrow \sin \theta = \sin(\underbrace{\lambda y'}_{<1} + \theta_0) = \cos \theta_0 [\underbrace{\text{tg } \theta_0}_{\uparrow} + \lambda y' + O(\lambda^2)]$$

expansão em cossenos \rightarrow ver livro de cálculo (expansão em

$$\Rightarrow \cos \theta = \cos(\underbrace{\lambda y'}_{<1} + \theta_0) = \cos \theta_0 [1 - \lambda y' \text{tg } \theta_0 + O(\lambda^2)]$$

Série trigonométrica, possível qdo seu(artb) e $a < 1$.)

$$\Rightarrow \text{tg } \theta = \text{tg}(\underbrace{\lambda y'}_{<1} + \theta_0) = \text{tg } \theta_0 + \frac{\lambda y'}{\cos^2 \theta_0} + O(\lambda^2)$$

Em movimentos para os quais:

$\lambda^2 \ll 1$
 $\lambda \text{tg } \theta \ll 1$

condições

É possível utilizar a aproximação segundo o plano β .

Não é válida em regiões de altas latitudes pois $\text{tg } \theta$ é muito grande

Fazendo a aproximação, as equações na forma dimensional ficam assim:

Eg da Continuidade:

$$\frac{\partial u}{\partial x} + \frac{\partial v}{\partial y} + \frac{\partial w}{\partial z} = 0 \quad (2.53)$$

Ainda é uma eq. em coordenadas esféricas!! Mas é como se expressasse trabalhando em c. cartesianas

Eg do movimento: sistema quase-cartesiano

(21)

	A. loc.	A. Advectiva	A. Coriolis	FGP/m	Fat. /m	
zonal:	$\frac{\partial u}{\partial t}$	$+ u \frac{\partial u}{\partial x} + v \frac{\partial u}{\partial y} + w \frac{\partial u}{\partial z}$	$- f v + \tilde{f} w$	$= - \frac{1}{\rho} \frac{\partial p}{\partial x}$	$+ \frac{\mu}{\rho} \left(\frac{\partial^2 u}{\partial x^2} + \frac{\partial^2 u}{\partial y^2} + \frac{\partial^2 u}{\partial z^2} \right)$	(2.5)
meridional:	$\frac{\partial v}{\partial t}$	$+ u \frac{\partial v}{\partial x} + v \frac{\partial v}{\partial y} + w \frac{\partial v}{\partial z}$	$+ f u$	$= - \frac{1}{\rho} \frac{\partial p}{\partial y}$	$+ \frac{\mu}{\rho} \left(\frac{\partial^2 v}{\partial x^2} + \frac{\partial^2 v}{\partial y^2} + \frac{\partial^2 v}{\partial z^2} \right)$	(2.55)
vertical:	$\frac{\partial w}{\partial t}$	$+ u \frac{\partial w}{\partial x} + v \frac{\partial w}{\partial y} + w \frac{\partial w}{\partial z}$	$- \frac{u^2 + v^2}{a} - \tilde{f} u$	$= - \frac{1}{\rho} \frac{\partial p}{\partial z}$	$+ \frac{\mu}{\rho} \left(\frac{\partial^2 w}{\partial x^2} + \frac{\partial^2 w}{\partial y^2} + \frac{\partial^2 w}{\partial z^2} \right) - g$	(2.56)
diffusões de sal:	$\frac{\partial s}{\partial t}$	$+ u \frac{\partial s}{\partial x} + v \frac{\partial s}{\partial y} + w \frac{\partial s}{\partial z}$		$= \frac{k_s}{\rho} \left(\frac{\partial^2 s}{\partial x^2} + \frac{\partial^2 s}{\partial y^2} + \frac{\partial^2 s}{\partial z^2} \right)$		(2.57)

A.Gr.

cond. de calor: $\frac{\partial T}{\partial t} + u \frac{\partial T}{\partial x} + v \frac{\partial T}{\partial y} + w \frac{\partial T}{\partial z} = \frac{k_T}{\rho c_p} \left(\frac{\partial^2 T}{\partial x^2} + \frac{\partial^2 T}{\partial y^2} + \frac{\partial^2 T}{\partial z^2} \right)$ (2.58)

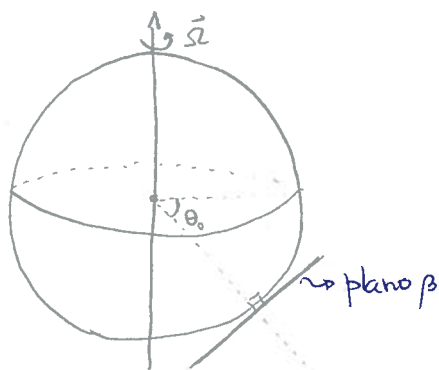
onde: $f = 2\Omega \sin \theta_0 + \frac{2\Omega \cos \theta_0}{a} y = f_0 + \beta y$ \therefore

$f = f_0 + \beta y$ (2.59)

$\tilde{f} = 2\Omega \cos \theta_0$ (2.60)

Obs: As equações em coordenadas esféricas (2.53) a (2.58) poderiam ser obtidas partindo das equações cartesianas e escrevendo-as utilizando coordenadas cartesianas, com exceção de:

f_0 em (2.54); $f u$ em (2.55) e $\frac{u^2 + v^2}{a}$ em (2.56)



Nas proximidades do equador, $\theta_0 \rightarrow 0$,
e $f_0 \rightarrow 0$. Isto é,

$f \approx \beta y$ Plano β equatorial

Em latitudes médias, quando $f_0 \gg \beta y$, $f \approx f_0$ Plano f

$f_0 \gg \beta y \Rightarrow \lambda \cot \theta_0 \ll 1$

condições p/ usar o plano f (proibida no equador)

2.7.7. Outras Aproximações

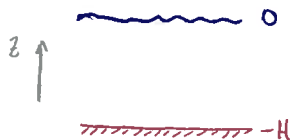
22

$$1) \rho(x, y, z, t) = \rho_0(z) + \tilde{\rho}(x, y, z, t)$$

Em qual, a variação vertical de ρ_0 é da ordem de 10^{-2} .

Definindo,

$$\bar{\rho} = \frac{1}{H} \int_{-H}^0 \rho_0(z) dz$$



$\bar{\rho} \rightarrow$ densidade média na coluna de água

$$\rho_0 = \bar{\rho} + O(10^{-2}) \approx \bar{\rho}$$

$$\downarrow$$

$$O(10^3)$$

2) \tilde{f}_w em (2.51) pode ser desprezada quando comparada a f_w se

$$\delta \cot \theta_0 \ll 1$$

3) \tilde{f}_u em (2.53) pode ser desprezada quando comparada a g' se

$$\delta \cot \theta_0 \ll 1$$

4) $\frac{u'^2 + v'^2}{\alpha}$ em (2.53) pode ser desprezada quando comparada a g' se

$$\delta \epsilon \ll 1$$

28/03/2007

2.8 EQUAÇÕES APROXIMADAS

$$\frac{\partial u'}{\partial x'} + \frac{\partial v'}{\partial y'} + \frac{\partial w'}{\partial z'} = 0 \quad (2.67)$$

Na forma não-dimensional

$$\epsilon_t \frac{\partial u'}{\partial t'} + \epsilon \left(u' \frac{\partial u'}{\partial x'} + v' \frac{\partial u'}{\partial y'} + w' \frac{\partial u'}{\partial z'} \right) - \rho w' = -\frac{1}{\bar{\rho}'} \frac{\partial p'}{\partial x'} + \frac{E}{2} \left(\frac{\partial^2 u'}{\partial x'^2} + \frac{\partial^2 u'}{\partial y'^2} + \frac{\partial^2 u'}{\partial z'^2} \right) \quad (2.68)$$

$$\epsilon_t \frac{\partial v'}{\partial t'} + \epsilon \left(u' \frac{\partial v'}{\partial x'} + v' \frac{\partial v'}{\partial y'} + w' \frac{\partial v'}{\partial z'} \right) + \rho u' = -\frac{1}{\bar{\rho}'} \frac{\partial p'}{\partial y'} + \frac{E}{2} \left(\frac{\partial^2 v'}{\partial x'^2} + \frac{\partial^2 v'}{\partial y'^2} + \frac{\partial^2 v'}{\partial z'^2} \right) \quad (2.69)$$

$$\epsilon_t \delta^2 \frac{\partial w'}{\partial t'} + \epsilon \delta^2 \left(u' \frac{\partial w'}{\partial x'} + v' \frac{\partial w'}{\partial y'} + w' \frac{\partial w'}{\partial z'} \right) = -\frac{1}{\bar{\rho}'} \frac{\partial p'}{\partial z'} - \frac{\hat{p}'}{\bar{\rho}'} + \delta^2 \frac{E}{2} \left(\frac{\partial^2 w'}{\partial x'^2} + \frac{\partial^2 w'}{\partial y'^2} + \frac{\partial^2 w'}{\partial z'^2} \right) \quad (2.70)$$

$$\varepsilon_t \frac{\partial T'}{\partial t'} + \varepsilon \left(u' \frac{\partial T'}{\partial x'} + v' \frac{\partial T'}{\partial y'} + w' \frac{\partial T'}{\partial z'} \right) = \frac{k_T}{\bar{\rho} c_p |f_0|} \nabla'^2 T' \quad (2.72)$$

$$\varepsilon_t \frac{\partial S'}{\partial t'} + \varepsilon \left(u' \frac{\partial S'}{\partial x'} + v' \frac{\partial S'}{\partial y'} + w' \frac{\partial S'}{\partial z'} \right) = \frac{k_s}{\bar{\rho} |f_0|} \nabla'^2 S' \quad (2.73)$$

onde $\varepsilon = \frac{f}{|f|}$

Na forma dimensional,

$$\frac{\partial u}{\partial x} + \frac{\partial v}{\partial y} + \frac{\partial w}{\partial z} = 0$$

$$\frac{\partial u}{\partial t} + u \frac{\partial u}{\partial x} + v \frac{\partial u}{\partial y} + w \frac{\partial u}{\partial z} - f v = -\frac{1}{\bar{\rho}} \frac{\partial p}{\partial x} + \frac{\mu}{\bar{\rho}} \left(\frac{\partial^2 u}{\partial x^2} + \frac{\partial^2 u}{\partial y^2} + \frac{\partial^2 u}{\partial z^2} \right) \quad (2.74)$$

$$\frac{\partial v}{\partial t} + u \frac{\partial v}{\partial x} + v \frac{\partial v}{\partial y} + w \frac{\partial v}{\partial z} + f u = -\frac{1}{\bar{\rho}} \frac{\partial p}{\partial y} + \frac{\mu}{\bar{\rho}} \left(\frac{\partial^2 v}{\partial x^2} + \frac{\partial^2 v}{\partial y^2} + \frac{\partial^2 v}{\partial z^2} \right) \quad (2.75)$$

$$\frac{\partial w}{\partial t} + u \frac{\partial w}{\partial x} + v \frac{\partial w}{\partial y} + w \frac{\partial w}{\partial z} = -\frac{1}{\bar{\rho}} \frac{\partial p}{\partial z} - g + \frac{\mu}{\bar{\rho}} \left(\frac{\partial^2 w}{\partial x^2} + \frac{\partial^2 w}{\partial y^2} + \frac{\partial^2 w}{\partial z^2} \right) \quad (2.76)$$

$$\frac{\partial S}{\partial t} + u \frac{\partial S}{\partial x} + v \frac{\partial S}{\partial y} + w \frac{\partial S}{\partial z} = \frac{k_s}{\bar{\rho}} \left(\frac{\partial^2 S}{\partial x^2} + \frac{\partial^2 S}{\partial y^2} + \frac{\partial^2 S}{\partial z^2} \right) \quad (2.77)$$

$$\frac{\partial T}{\partial t} + u \frac{\partial T}{\partial x} + v \frac{\partial T}{\partial y} + w \frac{\partial T}{\partial z} = \frac{k_T}{\bar{\rho} c_p} \left(\frac{\partial^2 T}{\partial x^2} + \frac{\partial^2 T}{\partial y^2} + \frac{\partial^2 T}{\partial z^2} \right) \quad (2.78)$$

No plano β : $f = f_0 + \beta y$

No plano f : $f = f_0$

2.9 LINEARIZAÇÃO

Estado básico + Perturbação

Ex: $u(x, y, z, t) = \bar{u}(z) + \tilde{u}(x, y, z, t)$

$v(x, y, z, t) = \bar{v}(z) + \tilde{v}(x, y, z, t)$

Pensando nos parcelos: $u \frac{\partial u}{\partial x} + v \frac{\partial u}{\partial y} = (\bar{u} + \tilde{u}) \frac{\partial (\bar{u} + \tilde{u})}{\partial x} + (\bar{v} + \tilde{v}) \frac{\partial (\bar{u} + \tilde{u})}{\partial y} =$

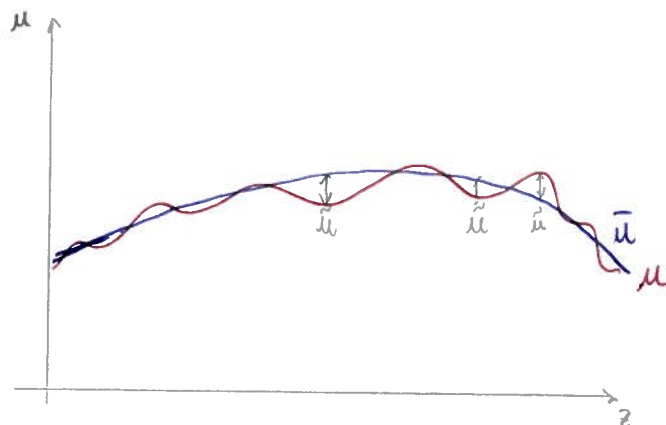
$$= \bar{u} \frac{\partial \bar{u}}{\partial x} + \bar{u} \frac{\partial \tilde{u}}{\partial x} + \tilde{u} \frac{\partial \bar{u}}{\partial x} + \tilde{u} \frac{\partial \tilde{u}}{\partial x} + \bar{v} \frac{\partial \bar{u}}{\partial y} + \bar{v} \frac{\partial \tilde{u}}{\partial y} + \tilde{v} \frac{\partial \bar{u}}{\partial y} + \tilde{v} \frac{\partial \tilde{u}}{\partial y}$$

$$\bar{u} \frac{\partial \tilde{u}}{\partial x} + \tilde{u} \frac{\partial \bar{u}}{\partial x} + \bar{v} \frac{\partial \tilde{u}}{\partial y} + \tilde{v} \frac{\partial \bar{u}}{\partial y}$$

CONDIÇÃO PARA LINEARIZAÇÃO

A linearização só funciona se a perturbação for pequena e comparada ao estado básico

$$\begin{aligned} \tilde{u} \ll \bar{u} &\Leftrightarrow \left| \frac{\tilde{u}}{\bar{u}} \right| \ll 1 \\ \tilde{v} \ll \bar{v} &\Leftrightarrow \left| \frac{\tilde{v}}{\bar{v}} \right| \ll 1 \end{aligned}$$



Dai,

$$\boxed{u \frac{\partial u}{\partial x} + v \frac{\partial u}{\partial y}} = (\bar{u} + \tilde{u}) \frac{\partial \tilde{u}}{\partial x} + (\bar{v} + \tilde{v}) \frac{\partial \tilde{u}}{\partial y} \approx \boxed{\bar{u} \frac{\partial \tilde{u}}{\partial x} + \bar{v} \frac{\partial \tilde{u}}{\partial y}}$$

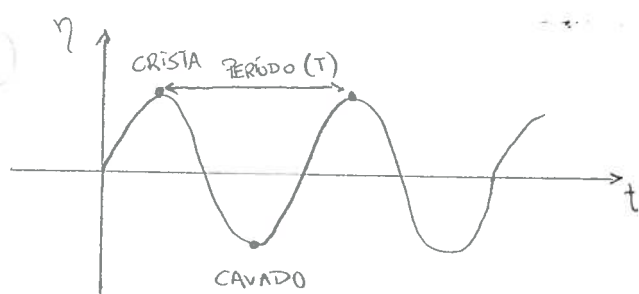
NÃO LINEARES

LINEARES

↓
 \bar{u} e \bar{v} não são mais incógnitas, são dados...

3. ONDAS DE GRAVIDADE

Gill / Leblond e Mysak



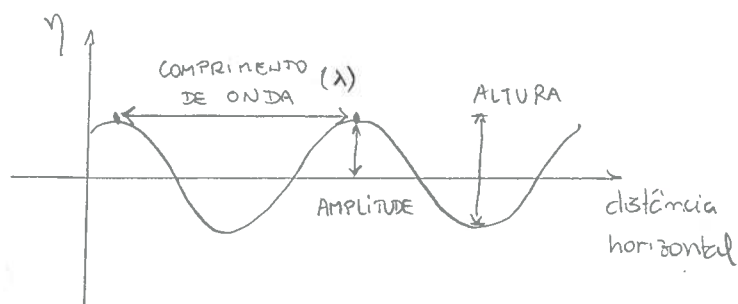
$$\sigma = \frac{1}{T}; \quad \omega = \frac{2\pi}{T} \quad (\text{frequência})$$

↓
 quantos ondas cabem em 2π segundos

η : elevação da superfície livre do mar
 $\eta = \eta(x, y, t)$

$$k = \frac{2\pi}{\lambda} : \text{Número de onda}$$

↓
 quantos ondas cabem em 2π metros



3.1 ONDAS DE GRAVIDADE SUPERFICIAIS

25

NUM FLUIDO INVISCIDO E HOMOGÊNIO

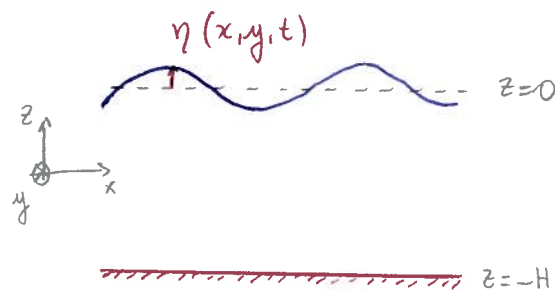
1) $\rho = \bar{\rho} = \text{cte}$

2) Estado básico de repouso: $\bar{u} = 0$

$$u(x, y, z, t) = \tilde{u}(x, y, z, t)$$

$$v(x, y, z, t) = \tilde{v}(x, y, z, t) \quad (3.1)$$

$$w(x, y, z, t) = \tilde{w}(x, y, z, t)$$



3) $p(x, y, z, t) = p_0(z) + \tilde{p}(x, y, z, t) \quad (3.2)$

lembrando que: $\frac{\partial p_0}{\partial z} = -\bar{\rho}g \quad (3.3)$

4) $\lambda = O(10^2 \text{ m}) \Rightarrow \frac{L}{a} \ll 1$

5) latitudes médias:

$$\frac{L}{a} \tan \theta \ll 1 \quad \text{e} \quad \frac{L}{a} \cot \theta \ll 1 \Rightarrow \text{Aproximações de plano f}$$

6) $\eta \ll H \Rightarrow \text{linearização}$

Com as 6 considerações, obtemos as seguintes equações:

$$\frac{\partial \tilde{u}}{\partial x} + \frac{\partial \tilde{v}}{\partial y} + \frac{\partial \tilde{w}}{\partial z} = 0 \quad (3.4)$$

$$\frac{\partial \tilde{u}}{\partial t} - f_0 \tilde{v} = -\frac{1}{\bar{\rho}} \frac{\partial \tilde{p}}{\partial x} \quad (3.4A)$$

$$\frac{\partial \tilde{v}}{\partial t} + f_0 \tilde{u} = -\frac{1}{\bar{\rho}} \frac{\partial \tilde{p}}{\partial y} \quad (3.4B)$$

$$\frac{\partial \tilde{w}}{\partial t} = -\frac{1}{\bar{\rho}} \frac{\partial \tilde{p}}{\partial z} \quad (3.4C)$$

Equações

$$\frac{\partial \tilde{u}}{\partial t} = -\frac{1}{\bar{\rho}} \frac{\partial \tilde{p}}{\partial x} \quad (3.5)$$

$$\frac{\partial \tilde{v}}{\partial t} = -\frac{1}{\bar{\rho}} \frac{\partial \tilde{p}}{\partial y} \quad (3.6)$$

$$\frac{\partial \tilde{w}}{\partial t} = -\frac{1}{\bar{\rho}} \frac{\partial \tilde{p}}{\partial z} \quad (3.7)$$

aceleração de Coriolis pode
ser desprezada

7) $T = O(10 \text{ s}) \Rightarrow \mathcal{E}_t = \frac{1}{|f_0|T} = \frac{1}{10^{-4} \cdot 10} = 10^3 \gg 1 \Rightarrow \text{notação mais importa}$

Sistema (3.4), (3.5), (3.6), (3.7)

26

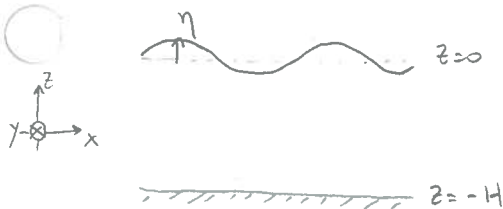
4 eq x 4 incógnitas ($\tilde{u}, \tilde{v}, \tilde{w}, \tilde{p}$)

Recordar eq dif ordinária de 2ª ordem homogênea

Obs: Balanço expresso pelas equações (3.5) a (3.7) é entre a aceleração local e a força de gradiente de pressão por unidade de massa.

\Rightarrow BALANÇO DE ONDA DE GRAVIDADE

02/04/2007



Hipóteses simplificadoras:

- 1) Oceano é horizontalmente infinito ($x \in \mathbb{R}, y \in \mathbb{R}$)
- 2) $H = \text{cte}$

Condições de contorno:

- 1) Em $z = -H$ (interface água-terra)

$$\tilde{w} = 0 \text{ em } z = -H \quad (3.8)$$

Condições de contorno cinemática

- 2) Em $z = \eta$ (interface água-ar) \Rightarrow continuidade de tensões e velocidades através da superfície livre.

$$p_{\text{oceano}} = p_{\text{atmosfera}} \text{ em } z = \eta \quad (3.9)$$

$$\frac{dz}{dt} = \frac{d\eta}{dt} \text{ em } z = \eta \quad (3.10)$$

$$\downarrow$$
$$w = \frac{d\eta}{dt} \text{ em } z = \eta \quad (3.11)$$

(3.9) $\Rightarrow p_0(\eta) + \tilde{p}(x, y, \eta, t) = p_{atm}$, em $z = \eta$ (3.12)

(3.11) $\Rightarrow \tilde{w}(x, y, \eta, t) = \frac{d\eta}{dt}$, em $z = \eta$ (3.13)

Expandir (3.12) e (3.13) em S rie de Taylor em torno de $z=0$

(3.12) $\Rightarrow p_0(0) + \eta \left. \frac{\partial p_0}{\partial z} \right|_{z=0} + \frac{\eta^2}{2!} \left. \frac{\partial^2 p_0}{\partial z^2} \right|_{z=0} + \dots +$
 $+ \tilde{p}(x, y, 0, t) + \eta \left. \frac{\partial \tilde{p}}{\partial z} \right|_{z=0} + \frac{\eta^2}{2!} \left. \frac{\partial^2 \tilde{p}}{\partial z^2} \right|_{z=0} + \dots = p_{atm}$ (3.14) em $z=0$!

(3.13) $\Rightarrow \tilde{w}(x, y, 0, t) + \eta \left. \frac{\partial \tilde{w}}{\partial z} \right|_{z=0} + \frac{\eta^2}{2!} \left. \frac{\partial^2 \tilde{w}}{\partial z^2} \right|_{z=0} + \dots =$
 $= \frac{\partial \eta}{\partial t} + \tilde{u} \frac{\partial \eta}{\partial x} + \tilde{v} \frac{\partial \eta}{\partial y}$ (3.15) em $z=0$!

O problema para o interior (da coluna de  gua, $-H < z < \eta$),
composto pelas equa  es (3.4) a (3.7),   linear. Portanto, podemos
linearizar tamb m as condi   es de contorno, equa   es (3.14) e (3.15)

$p_0(0) + \eta (-\bar{\rho}g) + \tilde{p}(x, y, 0, t) = p_{atm}$ (3.16) em $z=0$!

$\tilde{w}(x, y, 0, t) = \frac{\partial \eta}{\partial t}$ (3.17) em $z=0$!

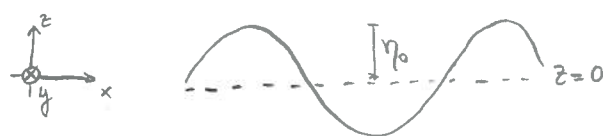
Combimando (3.16) e (3.17), supondo que $p_{atm} = cte$:

$\frac{\partial \tilde{p}}{\partial t} - \bar{\rho}g\tilde{w} = 0$ em $z=0$

 (3.18) Condi   o de contorno din mica

Condi   o Inicial: em $t=0$, existe uma onda

$\eta(x, y, 0) = \eta_0 \cos(kx + ly)$ (3.18A)



Em qq t,

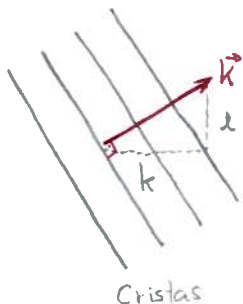
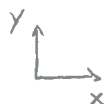
$\eta(x, y, t) = \eta_0 \cos(kx + ly - \omega t)$ (3.18B)



onde $\vec{k} = k\vec{i} + l\vec{j}$

$$|\vec{k}| = \frac{2\pi}{\lambda}$$

(28)



$$\omega = \frac{2\pi}{T}, \text{ frequência angular}$$

Obs: $e^{\pm i\alpha} = \cos\alpha \pm i\sin\alpha$

$$\Rightarrow \eta(x, y, t) = \eta_0 \operatorname{Re} \left[e^{i(kx + ly - \omega t)} \right]$$

Vamos resolver o problema (3.4) a (3.7) para $-H < z < 0$,

sob as condições de contorno (3.8) e (3.18) e condições inicial (3.18A). Este é um problema matemático de condições Iniciais e de Contorno.

A partir de agora, é pura matemática, resolvemos as eq. diferenciais com as cond. iniciais e de contorno.

→ Combinar as eqs até chegar a 1eq + 1inc.

Melhor começar por \tilde{u} e \tilde{p} , pois essas variáveis constam nas condições de contorno. \Rightarrow Escolheremos \tilde{p}

Resolução:

1) Combinar (3.4) à (3.7) p/ eliminar \tilde{u} , \tilde{v} e \tilde{w}

$$\frac{\partial}{\partial x} (3.5) \Rightarrow \frac{\partial}{\partial t} \frac{\partial \tilde{u}}{\partial x} = -\frac{1}{\rho} \frac{\partial^2 \tilde{p}}{\partial x^2} \quad (3.19)$$

$$\frac{\partial}{\partial y} (3.6) \Rightarrow \frac{\partial}{\partial t} \frac{\partial \tilde{v}}{\partial y} = -\frac{1}{\rho} \frac{\partial^2 \tilde{p}}{\partial y^2} \quad (3.20)$$

$$\frac{\partial}{\partial z} (3.7) \Rightarrow \frac{\partial}{\partial t} \frac{\partial \tilde{w}}{\partial z} = -\frac{1}{\rho} \frac{\partial^2 \tilde{p}}{\partial z^2} \quad (3.21)$$

$$\frac{\partial}{\partial t} (3.4) \Rightarrow \frac{\partial}{\partial t} \frac{\partial \tilde{u}}{\partial x} + \frac{\partial}{\partial t} \frac{\partial \tilde{v}}{\partial y} + \frac{\partial}{\partial t} \frac{\partial \tilde{w}}{\partial z} = 0 \quad (3.22)$$

Combimando (3.19) - (3.22) :

$$\boxed{\frac{\partial^2 \tilde{p}}{\partial x^2} + \frac{\partial^2 \tilde{p}}{\partial y^2} + \frac{\partial^2 \tilde{p}}{\partial z^2} = 0} \quad (3.23)$$

$$\Rightarrow \nabla^2 \tilde{p} = 0 \quad (3.24) \quad \text{Equa\c{c}\~ao de Laplace}$$

De (3.18B), como o problema \u00e9 linear :

$$\tilde{p}(x, y, z, t) = \text{Re} \left[\hat{p}(z) e^{i(kx + ly - \omega t)} \right]; \quad \omega > 0 \quad (3.34)$$

(3.34) em (3.23) :

$$\boxed{\frac{d^2 \hat{p}}{dz^2} - (k^2 + l^2) \hat{p} = 0} \quad (3.35)$$

De (3.8), (3.7) e (3.34) :

$$\boxed{\frac{d\hat{p}}{dz} = 0, \text{ em } z = -H} \quad (3.36)$$

De (3.18), (3.7) e (3.34) :

$$\boxed{g \frac{d\hat{p}}{dz} - \omega^2 \hat{p} = 0, \text{ em } z = 0} \quad (3.37)$$

Solu\c{c}\~ao geral de (3.35) \u00e9 :

$$\hat{p}(z) = a_1 \cdot e^{\sqrt{k^2 + l^2} z} + a_2 \cdot e^{-\sqrt{k^2 + l^2} z} \quad (3.38)$$

(3.38) em (3.36) :

$$a_1 = a_2 e^{2(\sqrt{k^2 + l^2})H} \quad (3.39)$$

$$(3.38) \text{ e } (3.39) \Rightarrow$$

(30)

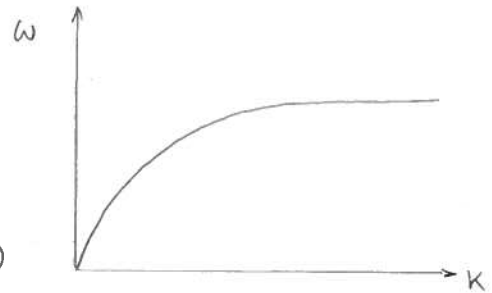
$$\hat{p}(z) = a_2 (e^{2kH} \cdot e^{kz} + e^{-kz}) \quad (3.40) \quad \text{onde } k = \sqrt{k^2 + l^2}$$

(3.40) em (3.37):

$$g a_2 k (e^{2kH} - 1) - \omega^2 a_2 (e^{2kH} + 1) = 0$$

para $a_2 \neq 0$, obtemos:

$$\omega^2 = gk \frac{e^{kH} - e^{-kH}}{e^{kH} + e^{-kH}} = gk \tanh(kH) \quad (3.42)$$



Relação de Dispersão para OGS

↳ Onda de Gravidade Superficial

A relação de Dispersão é a identidade de uma onda. A relação entre frequência e número de onda.

09/04/2007 - Revisão - > ondas

Velocidade de Fase: $\vec{C} = \frac{\omega}{k} \frac{\vec{k}}{k}$
(celeridade)

Fase: $\theta = kx + ly - \omega t$, $\vec{k} = \nabla\theta = k\vec{i} + l\vec{j}$, $\omega = -\frac{\partial\theta}{\partial t}$

Para um observador que acompanha a onda:

$$\frac{d\theta}{dt} = \frac{\partial\theta}{\partial t} + \vec{v} \cdot \nabla\theta = 0 \quad \Leftrightarrow \quad |\vec{v}| = \frac{|\frac{\partial\theta}{\partial t}|}{|\nabla\theta|} = -\frac{-\omega}{|\vec{k}|} = |\vec{C}|$$

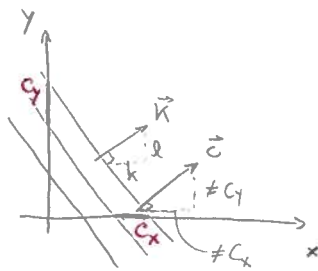
→ A velocidade de fase é esta, a velocidade que uma crista se propaga por exemplo.

A velocidade com que a fase se propaga ao longo dos eixos x e y é:

$$C_x = \frac{\omega}{k} ; \quad C_y = \frac{\omega}{l}$$

Obs: c_x e c_y new são componentes de \vec{c}

(31)



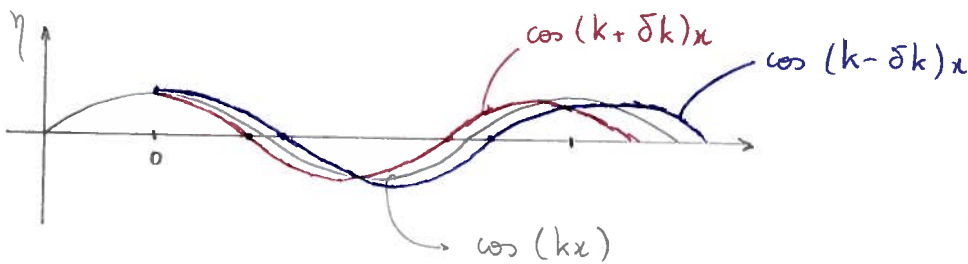
Em geral, $c^2 \neq c_x^2 + c_y^2$

Sobreposição de duas ondas senoidais aproximadamente iguais:

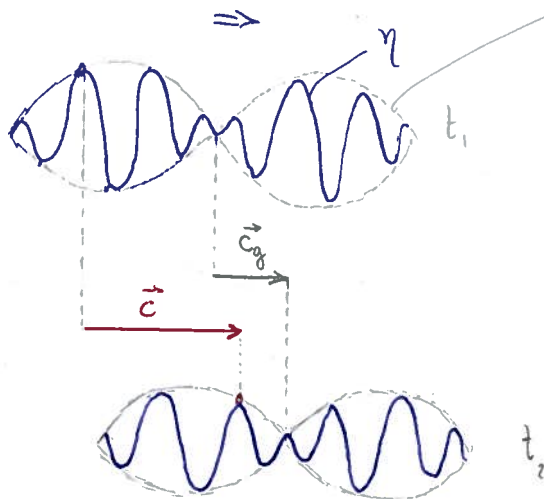
$$\eta = \cos[(k + \delta k)x - (\omega + \delta \omega)t] + \cos[(k - \delta k)x - (\omega - \delta \omega)t]$$

→ relações trigonométricas

$$\eta = 2 \cos(kx - \omega t) \cos[(\delta k)x - (\delta \omega)t]$$



"Envoltória" ou "Tram de ondas"



$$|\vec{c}| = \frac{\omega}{k}$$

$$|\vec{c}_g| = \frac{\delta \omega}{\delta k}$$

Velocidade de Grupo

No caso geral: $\boxed{\vec{c}_g = \nabla_k \omega} \Rightarrow \frac{\partial \omega}{\partial k} \vec{i} + \frac{\partial \omega}{\partial \ell} \vec{j} + \frac{\partial \omega}{\partial m} \vec{k}$

$$c_{gx} = \frac{\partial \omega}{\partial k}; \quad c_{gy} = \frac{\partial \omega}{\partial \ell}$$

De (3.42),

$$|\vec{c}| = c = \frac{\omega}{k} = \left[\frac{g}{k} \tanh(kH) \right]^{1/2} \quad (3.43)$$

$$|\vec{c}_g| = c_g = \frac{c}{2} \left[\frac{2kH}{\sinh(2kH)} + 1 \right] \quad (3.44)$$

$$\Rightarrow \boxed{\vec{c}_g \neq \vec{c} \Leftrightarrow \text{OGS é DISPERSIVA}}$$

Relembrando:

$$\hat{p}(z) = a_2 (e^{2kH} e^{kz} + e^{-kz}) \quad (3.40)$$

Usando (3.16):

$$\tilde{p}(x, y, 0, t) = \tilde{p}_{atm} + \bar{p} g \eta \quad (3.49)$$

Mas, de (3.34):

$$\tilde{p}(x, y, 0, t) = \tilde{p}(0) e^{i(kx + ly - \omega t)} \quad (3.50)$$

Comparando (3.49) e (3.50):

$$a_2 = \frac{\bar{p} g \eta_0}{e^{2kH} + 1} \quad (3.54)$$

Lembrando que: η_0 é condição inicial

$$\eta = \eta_0 \cos(kx + ly - \omega t)$$

\tilde{w} está pra de fase em $\frac{\pi}{2}$
 $\tilde{p}, \tilde{u}, \tilde{v}$ estão em fase

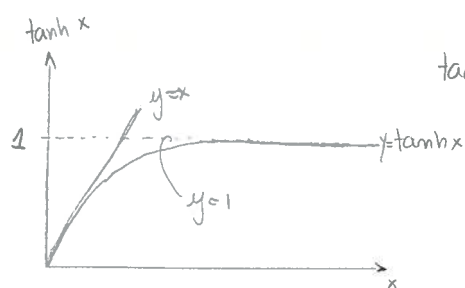
Verificamos que a_2 depende do valor inicial η_0 . Consequentemente,

$$\tilde{p}(x, y, z, t) = \frac{\bar{p} g \eta_0}{\cosh(kH)} \cosh[k(z+H)] \cos(kx + ly - \omega t) \quad (3.55)$$

$$\tilde{w}(x, y, z, t) = \frac{k g \eta_0}{\omega \cosh(kH)} \sinh[k(z+H)] \sin(kx + ly - \omega t) \quad (3.56)$$

$$\tilde{u}(x, y, z, t) = \frac{k g \eta_0}{\omega \cosh(kH)} \cosh[k(z+H)] \cos(kx + ly - \omega t) \quad (3.57)$$

$$\tilde{v}(x, y, z, t) = \frac{l g \eta_0}{\omega \cosh(kH)} \cosh[k(z+H)] \cos(kx + ly - \omega t) \quad (3.58)$$



$$\tanh x = \frac{e^x - e^{-x}}{e^x + e^{-x}}$$

x pequeno $\Rightarrow \tanh x \approx x$
 x grande $\Rightarrow \tanh x \approx 1$
 segue aproximações

Rel. de dispersão

$$\omega^2 = gk \tanh(kH), \text{ lembrando que } k = \frac{2\pi}{\lambda}, \quad \frac{1}{k} = \frac{\lambda}{2\pi}$$

Aproximações:

$$\textcircled{1} KH \ll 1 \Rightarrow H \ll \frac{1}{k} \Rightarrow H \ll \lambda, \quad H < \frac{\lambda}{20} \text{ (5\% de erro)}$$

$$\cosh x = \frac{e^x + e^{-x}}{2}$$

$$\sinh x = \frac{e^x - e^{-x}}{2}$$

$$\boxed{\omega^2 \approx gHk^2} \quad (3.60)$$

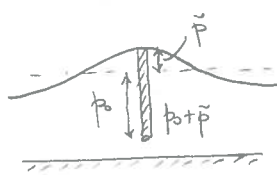
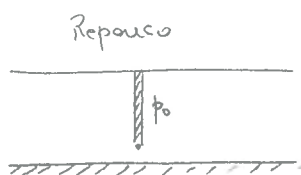
Aproximação de Águas rasas ou de ondas longas

$$c \approx \sqrt{gh}; \quad C_g \approx \sqrt{gh} \Rightarrow \text{OGS - longa não é dispersiva}$$

$$(3.55) \Rightarrow \tilde{p}(x, y, z, t) \approx \bar{\rho} g \eta_0 \cos(kx + ly - \omega t) \quad (3.62)$$

\tilde{p} é independente de z !

\tilde{p} no caso da OGS é a perturbação de pressão causada pela altura da onda



$$\textcircled{2} KH \gg 1 \Rightarrow H \gg \frac{1}{k} \Rightarrow H \gg \lambda, \quad H > \frac{\lambda}{2} \text{ (5\% de erro)}$$

$$\boxed{\omega^2 \approx gk} \quad (3.59)$$

Aproximação de águas profundas ou de ondas curtas

$$c \approx \sqrt{\frac{g}{k}}; \quad C_g \approx \frac{c}{2} \Rightarrow \text{OGS - curta é dispersiva}$$

$$(3.55) \Rightarrow \tilde{p}(x, y, z, t) \approx \bar{\rho} g \eta_0 e^{kz} \cos(kx + ly + \omega t) \quad (3.61)$$

ρ decai exponencialmente com z !

(34)

11/04/2007

3.2 ONDAS INTERNAS EM UM FLUIDO INVÍSCIDO

3.2.1 OCEANO INFINITO - Horizontalmente e Verticalmente

- ESTADO BÁSICO: repouso

$$u(x, y, z, t) = \tilde{u}(x, y, z, t)$$

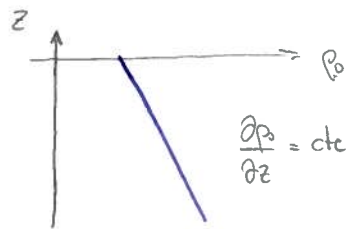
$$v(x, y, z, t) = \tilde{v}(x, y, z, t) \quad (3.63)$$

$$w(x, y, z, t) = \tilde{w}(x, y, z, t)$$

- DENSIDADE:

$$\rho(x, y, z, t) = \rho_0(z) + \tilde{\rho}(x, y, z, t) \quad (3.64)$$

Suposição: ρ_0 é uma função linear de z



- PRESSÃO:

$$p(x, y, z, t) = p_0(z) + \tilde{p}(x, y, z, t) \quad (3.65)$$

$$\frac{\partial p_0}{\partial z} = -\rho_0 g \quad (3.66)$$

- EQUAÇÕES:

$$\frac{\partial \tilde{u}}{\partial t} = -\frac{1}{\rho} \frac{\partial \tilde{p}}{\partial x} \quad (3.67)$$

$$\frac{\partial \tilde{v}}{\partial t} = -\frac{1}{\rho} \frac{\partial \tilde{p}}{\partial y} \quad (3.68)$$

$$\frac{\partial \tilde{w}}{\partial t} = -\frac{1}{\rho} \frac{\partial \tilde{p}}{\partial z} - \frac{\tilde{\rho}}{\rho} g \quad (3.69)$$

$$\frac{\partial \tilde{u}}{\partial x} + \frac{\partial \tilde{v}}{\partial y} + \frac{\partial \tilde{w}}{\partial z} = 0 \quad (3.70)$$

p/ fechar o sistema, a eq da densidade sob aproximação de boussinesq

$$\frac{\partial \tilde{\rho}}{\partial t} + \tilde{w} \frac{\partial \rho_0}{\partial z} = 0 \quad (3.71)$$

- CONDIÇÕES DE CONTORNO : Não há !

(35)

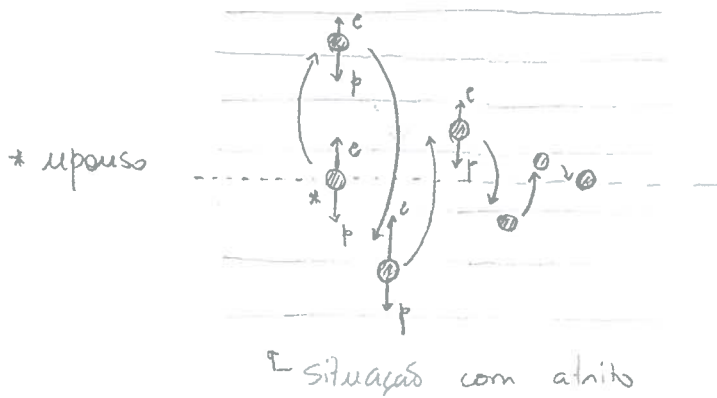
→ combinando (3.61) à (3.71) :

$$\boxed{\frac{\partial^2}{\partial t^2} (\nabla^2 \tilde{w}) + N^2 \nabla_H^2 \tilde{w} = 0} \quad (3.72)$$

onde : $N^2 = - \frac{g}{\bar{\rho}} \frac{\partial \rho_0}{\partial z}$

é o quadrado da Frequência de Brunt-Vaisala

É a frequência máxima de oscilação de um elemento de fluido quando ele é deslocado verticalmente de sua posição de repouso.



Se não há atrito, o elemento não volta a posição inicial, fica oscilando com frequência igual a frequência de Brunt-Vaisala.

- CONDIÇÃO INICIAL → análogo ao η .

$$\tilde{w}(x, y, z, 0) = Q \cos(kx + ly + mz)$$

Para qualquer t :

$$\tilde{w}(x, y, z, t) = Q \cos(kx + ly + mz - \omega t) \quad \text{chamaremos } Q \text{ de } \hat{w}$$

$$\tilde{w} = \text{Re} [\hat{w} e^{i(kx + ly + mz - \omega t)}] \quad (3.73)$$

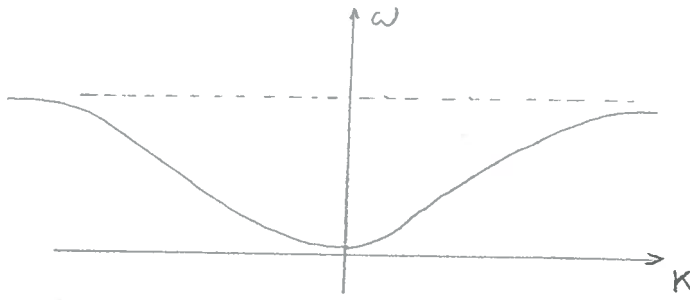
Introduzindo (3.73) em (3.72)

$$\boxed{\omega^2 = \frac{(k^2 + l^2) N^2}{k^2 + l^2 + m^2}} \quad (3.74)$$

Relação de dispersão para OGI

obs: $0 \leq \omega \leq N$

(36)



- Velocidade de Fase

$$\vec{c} = \frac{\omega}{k} \frac{\vec{k}}{k} = \frac{N k_H}{k^2} \frac{\vec{k}}{k} \Rightarrow |\vec{c}| = c = \frac{N k_H}{k^2} \quad (3.75)$$

- Velocidade de Grupo

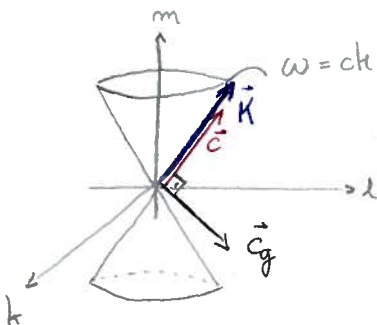
$$\vec{c}_g = \nabla_k \omega = \frac{N m^2}{k^3 k_H} \left(\vec{k}_H - \frac{k_H^2}{m} \frac{\vec{k}}{k} \right) \quad (3.76)$$

$\Rightarrow \vec{c} \neq \vec{c}_g \Rightarrow$ OGI são dispersivas

obs: 1) $\vec{c} \cdot \vec{c}_g = 0 \Rightarrow \vec{c} \perp \vec{c}_g$

2) (3.74) $\Rightarrow \omega^2 = \frac{N^2 k_H^2}{k^2} = N^2 \cos \theta$, onde θ é o ângulo entre \vec{k} e \vec{k}_H

os lugares geométricos para $\omega = ct$ tem a forma de cones simétricos, com eixo no eixo m



$$(3.73) \Rightarrow \tilde{w} = \hat{w} \cos(kx + ly + mz - \omega t)$$

(37)

$$(3.73) \text{ em } (3.71) \Rightarrow \tilde{\rho} = - \frac{\bar{\rho} N^2 \hat{w}}{\omega g} \sin(kx + ly + mz - \omega t) \quad (3.78)$$

$$(3.73) \text{ e } (3.78) \Rightarrow \tilde{p} = - \frac{\bar{\rho} \omega m \hat{w}}{k^2 + l^2} \cos(kx + ly + mz - \omega t) \quad (3.77)$$

$$(3.77) \text{ em } (3.67) \Rightarrow \tilde{u} = - \frac{k m \tilde{w}}{k^2 + l^2} \cos(kx + ly + mz - \omega t) \quad (3.79)$$

$$(3.77) \text{ em } (3.68) \Rightarrow \tilde{v} = - \frac{l m \tilde{w}}{k^2 + l^2} \cos(kx + ly + mz - \omega t) \quad (3.80)$$

Verificam o que acontece quando $\theta \rightarrow 0$ e quando $\theta \rightarrow \frac{\pi}{2}$

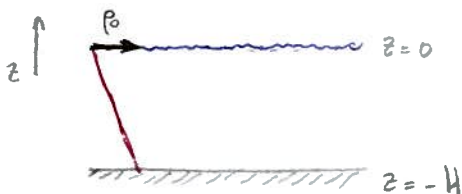
3.2.2 OCEANO VERTICALMENTE FINITO

Todo desenvolvimento de onda interna em um oceano infinito é o mesmo aqui, até as condições de contorno.

→ EQUAÇÃO DE ONDA

$$\frac{\partial^2}{\partial t^2} (\nabla^2 \tilde{w}) + N^2 \nabla_H^2 \tilde{w} = 0 \quad (3.81)$$

→ CONDIÇÕES DE CONTOURNO



• Em $z = -H \Rightarrow$ condições cinemáticas

$$\tilde{w} = 0 \text{ em } z = -H \quad (3.82)$$

• Em $z = 0 \Rightarrow$ condições cinemáticas

$$\tilde{w} = 0 \text{ em } z = 0 \Rightarrow \text{Aproximação da Tampa Rígida} \quad (3.83)$$

→ CONDIÇÃO INICIAL

$$\tilde{w}(x, y, z, 0) = Q(z) \cos(kx + ly + mz)$$

Em qualquer t :

(38)

$$\tilde{w} = \text{Re}[\hat{w}(z) \cdot e^{i(kx + ly - \omega t)}] \quad (3.84)$$

A forma complexa permite retirar a dependência em z da parte complexa, pois ela aparece em $\hat{w}(z)$. Logo na solução final tiver que aparecer dependência em z , ela aparecerá. Essa é uma das vantagens de se trabalhar na forma complexa

(3.84) em (3.81):

$$\frac{d^2 \hat{w}}{dz^2} - (k^2 + l^2) \left(1 - \frac{N^2}{\omega^2}\right) \hat{w} = 0 \quad (3.85)$$

↳ Eq dif ordinária homogênea de coef. constantes

(X) 1º CASO: $N^2 \leq \omega^2 \Rightarrow \left(1 - \frac{N^2}{\omega^2}\right) \geq 0$, eq característica:

$$\hat{w} = a_1 e^{rz} + a_2 e^{-rz} \quad (3.86) \quad r^2 - (k^2 + l^2) \left(1 - \frac{N^2}{\omega^2}\right) = 0$$

$$\text{onde } r = \left[(k^2 + l^2) \left(1 - \frac{N^2}{\omega^2}\right)\right]^{1/2}, \quad r \in \mathbb{R}$$

$$\text{c. cont (3.82) em (3.86)} \Rightarrow a_1 = -a_2 e^{2rH} \quad (3.87)$$

$$\Rightarrow \hat{w} = a_2 (e^{-rz} - e^{2rH} e^{rz}) \quad (3.88)$$

$$\text{c. cont (3.83) em (3.88)} \Rightarrow a_2 (1 - e^{2rH}) = 0 \quad (3.89)$$

$$\Rightarrow \begin{cases} a_2 = 0 \Rightarrow a_1 = 0 \Rightarrow \hat{w} = 0 \Rightarrow \tilde{w} = 0 \text{ (Sol. Trivial)} \\ 1 - e^{2rH} = 0 \Rightarrow 2rH = 0 \Rightarrow r = 0 \Rightarrow \dots \Rightarrow \tilde{w} = 0 \end{cases}$$

(V) 2º CASO: $N^2 > \omega^2 \Rightarrow \left(1 - \frac{N^2}{\omega^2}\right) < 0 \Rightarrow r \notin \mathbb{R}, \quad r \in \mathbb{C}$

$$(3.90): \hat{w} = a_1 e^{i\alpha z} + a_2 e^{-i\alpha z}, \quad \text{onde } \alpha = \left[(k^2 + l^2) \left(\frac{N^2}{\omega^2} - 1\right)\right]^{1/2} \in \mathbb{R}, \quad \alpha = \text{Re}(r)$$

$$\text{c. cont (3.83) em (3.90)} \Rightarrow a_2 = -a_1 \quad (3.90A)$$

$$\hat{w} = a_1 [e^{i\alpha z} - e^{-i\alpha z}] \quad (3.91)$$

Cont. (3.82) em (3.91) \Rightarrow

(39)

$$a_1 (e^{-i\alpha H} - e^{i\alpha H}) = 0 \Rightarrow \begin{cases} a_1 = 0 \Rightarrow \dots \Rightarrow \text{solução trivial} \\ e^{-i\alpha H} - e^{i\alpha H} = 0 \Rightarrow e^{2i\alpha H} = 1 \Rightarrow * \end{cases}$$

$$* \cos(2\alpha H) + i \sin(2\alpha H) = 1$$

$$\text{Re: } \cos(2\alpha H) = 1$$

$$\searrow 2\alpha H = 2n\pi \Rightarrow \alpha = \frac{n\pi}{H}, \quad n \in \mathbb{N}^* \quad (3.93)$$

$$\text{Im: } \sin(2\alpha H) = 0$$

De (3.90A) e (3.93),

$$\boxed{\omega_n^2 = \frac{(k^2 + l^2) N^2}{k^2 + l^2 + \frac{n^2 \pi^2}{H^2}}}$$

$$(3.94) \quad m^2 = \frac{n^2 \pi^2}{H^2} \rightarrow m^2 \text{ de onda vertical}$$

Rel. de dispersão para OGI em um oceano finito verticalmente

$$m = n \frac{\pi}{H}, \quad n \in \mathbb{N}^*$$

16/04/2007

De (3.84), (3.91) e (3.93):

$$\tilde{w}(x, y, z, t) = -a_1 \left[\cos(kx + ly - \frac{n\pi}{H}z - \omega t) - \cos(kx + ly + \frac{n\pi}{H}z - \omega t) \right] \quad (3.96)$$

Obs: 1) $\tilde{w} = \text{Re}[\hat{w}(z) \cdot e^{i(kx + ly - \omega t)}] \Rightarrow$ apesar de não aparecer m^2 de onda vertical aqui, na solução aparece.

2) Sobreposição de duas ondas:

$$\sim -\frac{n\pi}{H} \cdot z \Rightarrow C_z = \frac{\omega}{m} = \frac{\omega}{-\frac{n\pi}{H}} < 0 \quad \downarrow \quad \text{propaga a fase para baixo}$$

$$\sim \frac{n\pi}{H} z \Rightarrow C_z = \frac{\omega}{m} = \frac{\omega}{\frac{n\pi}{H}} > 0 \quad \uparrow \quad \text{propaga a fase para cima}$$

(3.96) em (3.71):

40

$$\tilde{p}(x, y, z, t) = - \frac{a_1 \bar{p} N^2}{g \omega} \left[\sin \left(kx + ly + \frac{n\pi}{H} z - \omega t \right) - \sin \left(kx + ly - \frac{n\pi}{H} z - \omega t \right) \right] \quad (3.97)$$

(3.96) e (3.97) em (3.69):

$$\tilde{p}(x, y, z, t) = - \frac{a_1 \bar{p}}{\omega} \frac{\frac{n\pi}{H} N^2}{k^2 + l^2 + \frac{n^2 \pi^2}{H^2}} \left[\cos \left(kx + ly + \frac{n\pi}{H} z - \omega t \right) + \cos \left(kx + ly - \frac{n\pi}{H} z - \omega t \right) \right] \quad (3.98)$$

(3.98) em (3.67)

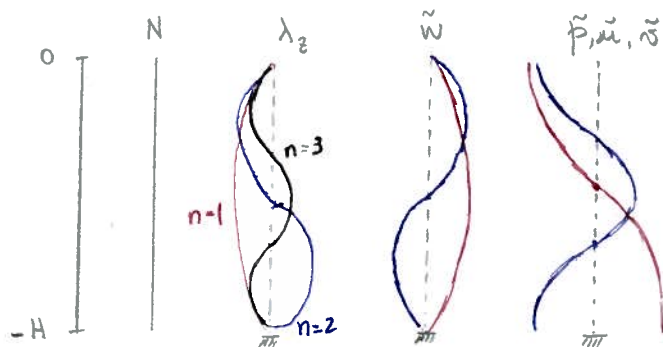
$$\tilde{u}(x, y, z, t) = - \frac{a_1 k}{\omega^2} \frac{\frac{n\pi}{H} N^2}{k^2 + l^2 + \frac{n^2 \pi^2}{H^2}} \left[\cos \left(kx + ly + \frac{n\pi}{H} z - \omega t \right) + \cos \left(kx + ly - \frac{n\pi}{H} z - \omega t \right) \right] \quad (3.99)$$

(3.98) em (3.68)

$$\tilde{v}(x, y, z, t) = - \frac{a_1 l}{\omega^2} \frac{\frac{n\pi}{H} N^2}{k^2 + l^2 + \frac{n^2 \pi^2}{H^2}} \left[\cos \left(kx + ly + \frac{n\pi}{H} z - \omega t \right) + \cos \left(kx + ly - \frac{n\pi}{H} z - \omega t \right) \right] \quad (3.100)$$

n	m	λ_z
1	$\frac{\pi}{H}$	2H
2	$\frac{2\pi}{H}$	H
3	$\frac{3\pi}{H}$	$\frac{2H}{3}$

\Rightarrow O maior comprimento de onda possível é o dobro da coluna de água.



3.3 ENERGIA: OGS.

(41)

Def: Média sobre um período

$$\langle A \rangle = \frac{1}{2\pi} \int_0^{2\pi} A d\theta, \quad \text{onde } \theta \text{ é a fase } \Rightarrow \theta = kx + ly - \omega t$$

Energia cinética média, por unidade de área, na coluna de água, para propagação ao longo do eixo x :

$$E_c = \left\langle \int_{-H}^{\eta} \frac{\bar{\rho}}{2} (\vec{\nabla})^2 dz \right\rangle = \frac{\bar{\rho}}{2} \cdot \left\langle \int_{-H}^{\eta} (\vec{\nabla})^2 dz \right\rangle, \quad \text{linearizando: } E_c \approx \frac{\bar{\rho}}{2} \int_{-H}^0 \langle (\vec{\nabla})^2 \rangle dz \quad [MT^{-2}]$$

De (3.56) e (3.58):

$$E_c = \frac{\bar{\rho}}{2} \int_{-H}^0 \frac{k^2 g^2 \eta_0^2}{\omega^2 \cosh^2(kH)} \left\{ \cosh^2[k(z+H)] \langle \cos^2 \theta \rangle + \sinh^2[k(z+H)] \langle \sin^2 \theta \rangle \right\} dz$$

$$E_c = \frac{\bar{\rho}}{4} \frac{k^2 g^2 \eta_0^2}{\omega^2} \frac{\sinh(2kH)}{2k \cosh^2(kH)}$$

ou, usando (3.42)

$$\boxed{E_c = \frac{1}{4} \bar{\rho} g \eta_0^2} \quad (3.101)$$

Energia potencial média, por unidade de área, devida a onda, para propagação em x :

$$E_p = \left\langle \int_0^{\eta} \bar{\rho} g z dz \right\rangle [MT^{-2}] \Rightarrow \boxed{E_p = \frac{1}{4} \bar{\rho} g \eta_0^2} \quad (3.102)$$

$E_p = E_c \Rightarrow$ equipartição de energia

Energia mecânica total média, por unidade de área é:

$$E_T = E_c + E_p = \frac{1}{2} \bar{\rho} g \eta_0^2$$

Fluxo de energia mecânica (trabalho da FGP) através de uma superfície horizontal de largura unitária:

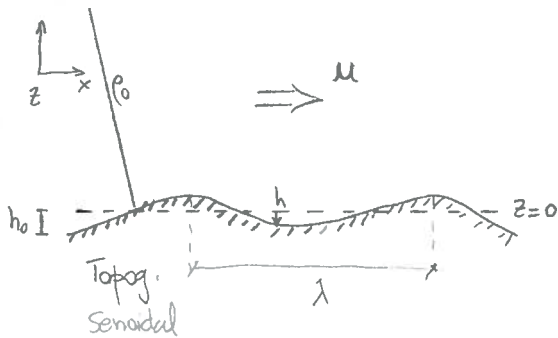
(42)



$$\langle \tilde{p} \cdot \tilde{u} \rangle = \frac{1}{2} \bar{\rho} g \eta^2 \left[\frac{\omega}{2k} \left(1 + \frac{2kH}{\sinh(2kH)} \right) \right] [MLT^{-3}] \quad (3.104)$$

$$\Rightarrow \langle \tilde{p} \tilde{u} \rangle = E_T C_{gx} \quad (3.106)$$

3.4 EXEMPLO DE ONDA FORÇADA



Fluido semi-infinito

Suponhamos fluido em repouso e fluido movendo-se com velocidade $-u$, isto é,

$$h = h_0 \sin(\alpha x - \omega t) \quad (3.125)$$

onde: $\alpha = \frac{2\pi}{\lambda}$; $c = \frac{\omega}{\alpha} = -u$

Fazendo:

$$\tilde{w} = \text{Re} [\hat{w}(z) e^{i(\alpha x - \omega t)}] \quad (3.126)$$

A equação para \hat{w} é (ver 3.85):

$$\left[\frac{d^2 \hat{w}}{dz^2} - \alpha^2 \left(1 - \frac{N^2}{\omega^2} \right) \hat{w} = 0 \right] \quad (3.127)$$

Condições de contorno no fundo (linearizada):

$$\tilde{w} = 0 \quad \text{em} \quad z = 0; \quad \tilde{w} = \frac{dh}{dt} = -\omega h_0 \cos(\alpha x - \omega t), \quad \text{em} \quad z = 0$$

De (3.126) e (3.128):

p.43

$$\hat{w} = -\omega h_0 \quad \text{em } z=0 \quad (3.129)$$

1º caso: $N^2 < \omega^2$ → fisicamente num sentido ⇒ é necessário que $a_1 = 0$,

$$\hat{w} = a_1 e^{r^2 z} + a_2 e^{-r^2 z} \quad (3.130)$$

onde $r = \left[\alpha^2 \left(1 - \frac{N^2}{\omega^2} \right) \right]^{1/2} \in \mathbb{R}$

p/ que \hat{w} permaneça finito quando $z \rightarrow \infty$

(3.130) em (3.129) ⇒ $a_2 = -a_1 - \omega h_0$ ⇒ $a_2 = -\omega h_0$

(3.130) ⇒ $\hat{w} = -\omega h_0 e^{-r^2 z}$

$$(3.126) \Rightarrow \tilde{w} = -\omega h_0 e^{-\alpha \left(1 - \frac{N^2}{\omega^2} \right)^{1/2} z} \cos(\alpha x - \omega t) \quad (3.132)$$

→ \tilde{w} decai exponencialmente com z . A onda OGI fica confinada nas proximidades do fundo. Diz-se também que a estrutura da onda é evanescente na direção z .

2º caso: $N^2 > \omega^2$ → denotam propagação vertical da onda

$$\hat{w} = a_1 e^{isz} + a_2 e^{-isz} \quad (3.133)$$

onde $s = \left[\alpha^2 \left(\frac{N^2}{\omega^2} - 1 \right) \right]^{1/2} \in \mathbb{R}$, é o m^2 da onda vertical

Fisicamente, é necessário que $(c_g)_z > 0$, isto é, $\frac{\partial \omega}{\partial s} > 0$. Lembrando que:

$$\omega^2 = \frac{\alpha^2 N^2}{\alpha^2 + s^2} \quad (\text{rel. de dispersão})$$

↓
condição radiativa

conduzimos que $a_2 = 0$.

↓
obriga que a onda se propague em uma determinada direção apenas

De (3.129) ⇒ $a_1 = -\omega h_0$ e:

$$\tilde{w} = -\omega h_0 \cos(\alpha x + sz - \omega t) \quad (3.134)$$

→ A onda aqui não fica confinada e se propaga verticalmente

4. ROTAÇÃO

4.1 VORTICIDADE ($\vec{\omega}$)

$$\vec{\omega} = \nabla \times \vec{v}$$

$$(4.1) \quad [T^{-1}] \quad (\text{dimensão de velocidade angular})$$

$$\omega_x = \frac{\partial w}{\partial y} - \frac{\partial v}{\partial z}$$

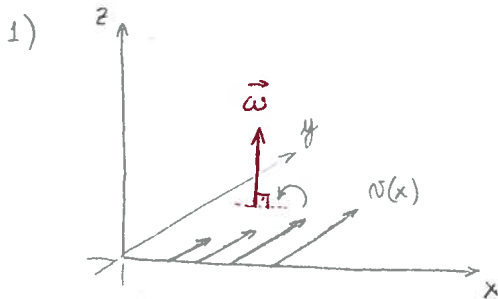
(4.2)

$$\omega_y = \frac{\partial u}{\partial z} - \frac{\partial w}{\partial x}$$

(4.3)

$$\omega_z = \frac{\partial v}{\partial x} - \frac{\partial u}{\partial y}$$

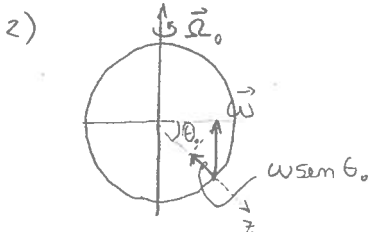
(4.4)



$$\vec{\omega} = \omega(x) \vec{k}$$

$$\vec{\omega} = \frac{\partial \omega}{\partial x} \vec{k}$$

O vetor $\vec{\omega}$ tem a direção do eixo de rotação do fluido



$$\vec{\omega} = \vec{\omega}_0 \times \vec{r}$$

$$\vec{\omega} = \nabla \times (\vec{\omega}_0 \times \vec{r})$$

$$\vec{\omega} = 2\vec{\omega}_0$$

(4.5)

Obs: $f_0 = 2\omega_0 \sin \theta$

$$f_0 = \omega \sin \theta$$

f_0 é a componente nortical do vetor vorticidade da Terra

por isso $f_0 < 0$ no H.S. e $f_0 > 0$ no H.N.

VORTICIDADE ABSOLUTA:

$$\vec{\omega}_a = \nabla \times \vec{v}_a = \underbrace{\nabla \times (\vec{v} + \vec{\Omega}_0 \times \vec{r})}_{\text{Vorticidade Relativa}} + \vec{\Omega}_0 \times \vec{r}$$

↑
velocidade da Terra

$$\boxed{\vec{\omega}_a = \vec{\omega} + 2\vec{\Omega}_0} \quad (4.6)$$

↓
relativa pois é medida
em relação à Terra, ou seja,
em um referencial não-inercial

$\vec{\omega}_a$: vorticidade absoluta

$\vec{\omega}$: vorticidade relativa

$2\vec{\Omega}_0$: vorticidade planetária

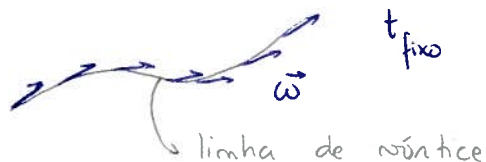
OBS: MOVIMENTO QUASE-HORIZONTAL

Estimar a razão entre as vorticidades relativa e planetária

$$\frac{|\vec{\omega}|}{|2\vec{\Omega}_0|} = \frac{\left| \frac{\partial v}{\partial x} - \frac{\partial u}{\partial y} \right|}{|f_0|} = O\left(\frac{U}{L}\right) = O\left(\frac{U}{|f_0|L}\right) = \epsilon$$

ESCOAMENTO ONDE $\epsilon \ll 1 \Rightarrow V_{\text{plan}} \gg V_{\text{rel}}$

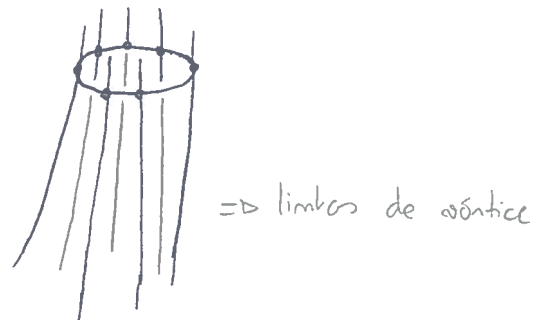
LINHA DE VÓRTICE



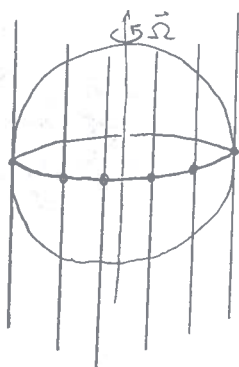
ou linha de vorticidade

ou filamento de vórtice

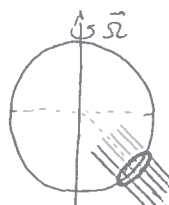
TUBO DE VÓRTICE



1) Tubo de vórtice da Terra



2) Tubo de vórtice de um movimento horizontal na Terra



* Olhar no polsky propriedades dos tubos de vórtice

OBS: $\nabla \cdot \vec{\omega} = 0$

$\nabla \cdot \vec{\omega}_a = 0$

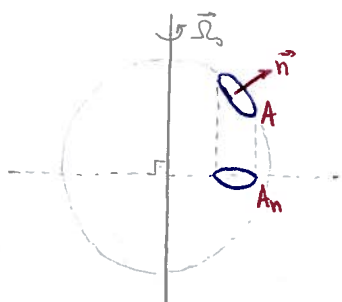
FLUXO DE UM TUBO DE VÓRTICE

$$\Gamma_a = \iint_A \vec{\omega}_a \cdot \vec{n} dA \quad [L^2 T^{-1}] \quad (4.10)$$

(4.6) em (4.10): $\Gamma_a = \Gamma + 2\Omega_0 A_n \quad (4.11)$



$\Gamma = \iint_A \vec{\omega} \cdot \vec{n} dA$ é o fluxo do tubo de vorticidade relativa e A_n é área da projeção de A sobre um plano perpendicular a $\vec{\Omega}_0$.

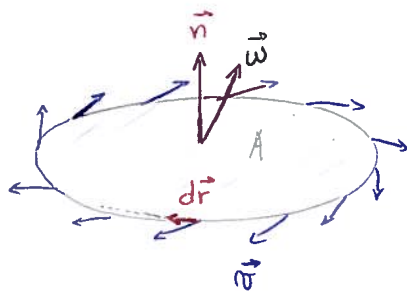
Se A está no eixo de rotação: $A_n = A$ Se A está no eixo do equador: $A_n = 0$

4.2 CIRCULAÇÃO (C)

$$C_a = \oint \vec{n}_a \cdot d\vec{r} \quad [L^2 T^{-1}] \quad (4.12)$$

VORTICIDADE É PONTOAL

CIRCULAÇÃO É MEDIDA EM UM CONTOURNO FECHADO

> Ambas medem
ROTAÇÃO $\vec{n}_a \cdot d\vec{r}$ é tangente ao contorno

Teorema de Stokes ou (4.12)

$$C_a = \oint \vec{n}_a \cdot d\vec{r} = \iint_A \vec{\omega}_a \cdot \vec{n} dA \quad \Leftrightarrow \quad C_a = \Gamma_a \quad (4.13)$$

$$C = \oint \vec{n} \cdot d\vec{r} = \iint_A \vec{\omega} \cdot \vec{n} dA \quad \Leftrightarrow \quad C = \Gamma \quad (4.14)$$

$$\frac{dC}{dt} = \oint \frac{d\vec{n}}{dt} \cdot d\vec{r} + \oint \vec{n} \cdot \frac{d}{dt}(d\vec{r})^0 \quad [L^2 T^{-2}]$$

$$\frac{dC}{dt} = \oint \frac{d\vec{n}}{dt} \cdot d\vec{r} \quad (4.15)$$

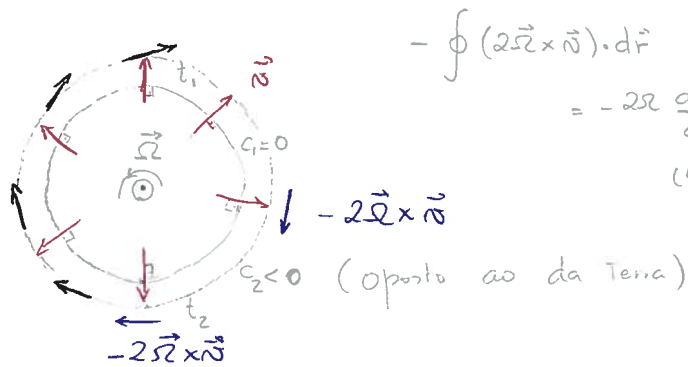
Usando a equações do movimento

$$\frac{dC}{dt} = - \oint_{(1)} (2\vec{\omega} \times \vec{n}) \cdot d\vec{r} - \oint_{(2)} \frac{\nabla p}{\rho} \cdot d\vec{r} + \oint_{(3)} \frac{\nabla^2 \vec{\omega}}{\rho} \cdot d\vec{r} \quad (4.16) \quad \left(\oint \vec{g} \cdot d\vec{r} = 0 \right)$$

Teorema da Circulação ou
Equações da Circulação

(1) Ação da força de Coriolis

p.48

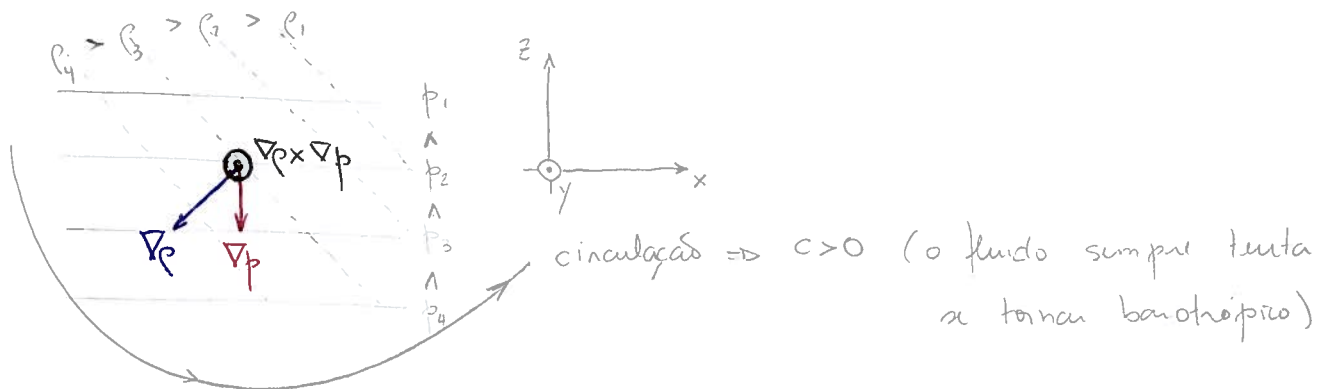


$$-\oint (2\vec{\Omega} \times \vec{v}) \cdot d\vec{r} = -2\Omega \frac{dA_n}{dt} \quad (4.17)$$

A \vec{v}_a das partículas de fluido é igual em t_1 e t_2

(2) Ação da FGP : $-\oint \frac{\nabla p}{\rho} \cdot d\vec{r} = \iint_A \frac{\nabla \rho \times \nabla p}{\rho^2} \cdot \vec{n} dA \quad (4.18)$

a FGP não é capaz de influenciar a circulação se o fluido for barotrópico ($\nabla \rho \times \nabla p = 0$)



(3) Ação da Força de Atrito :



4.3 CASOS PARTICULARES

- No caso invíscido ($\vec{F}_{at} = 0$) é:

$$\frac{dC}{dt} = - \oint (2\vec{\Omega} \times \vec{r}) \cdot d\vec{r} - \oint \frac{\nabla p}{\rho} \cdot d\vec{r} \quad (4.17)$$

Teorema da circulação de Bjerknes

- No caso invíscido e barotrópico:

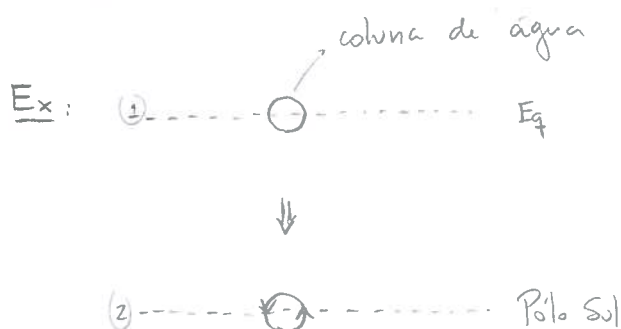
$$\frac{dC}{dt} = - \oint (2\vec{\Omega} \times \vec{r}) \cdot d\vec{r} \quad (4.18)$$

Teorema da circulação de Kelvin

Nesse último caso, $\frac{dC_a}{dt} = 0 \quad (4.19)$

↳ a circulação absoluta é conservada

$$\boxed{\frac{dC}{dt} + 2\Omega \frac{dA_n}{dt} = 0} \quad (4.23)$$



$$(4.23) \Rightarrow \int_{C_1}^{C_2} dC = - 2\Omega \int_{A_1}^{A_2} dA_n$$

$$C_2 - C_1 = - 2\Omega (A_2 \sin \theta_2 - A_1 \sin \theta_1)$$

No exemplo, $\theta_1 = 0$ e supondo que $C_1 = 0$

$$C_2 = - 2\Omega A_2 \sin \theta_2$$

No polo sul, $\theta_2 = -\frac{\pi}{2}$ e

$$C_2 = 2\Omega A_2$$

4.4 TEOREMA DA VORTICIDADE

p.50

- Partindo da equação do movimento:

$$\frac{d\vec{\omega}}{dt} + (2\vec{\omega} + \vec{\omega}) \times \vec{\omega} = -\frac{\nabla \Phi}{\rho} + \nabla \left(\Phi - \frac{|\vec{\omega}|^2}{2} \right) + \frac{\vec{F}_{at}}{\rho} \quad (4.25)$$

- Aplicando o operador $\nabla \times$:

$$\boxed{\frac{d\vec{\omega}_a}{dt} = \underbrace{(\vec{\omega}_a \cdot \nabla)}_{(1)} \vec{\omega} - \underbrace{\vec{\omega}_a \nabla \cdot \vec{\omega}}_{(2)} + \underbrace{\frac{\nabla \rho \times \nabla \rho}{\rho^2}}_{(3)} + \nabla \times \underbrace{\frac{\vec{F}_{at}}{\rho}}_{(4)}} \quad (4.26)$$

Equações da Vorticidade

No 2º membro aparecem os mecanismos físicos que são capazes de alterar a vorticidade absoluta.

(3) e (4), são respectivamente as influências do atrito e da baroclinicidade

(1) e (2), são relativas à influência da rotação da Terra

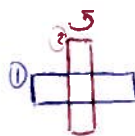
Para analisar (1) e (2), faremos $\vec{\omega}_a = (\omega_a)_z \vec{k}$, e:

$$\underbrace{(\vec{\omega}_a \cdot \nabla)}_{(1)} \vec{\omega} - \underbrace{\vec{\omega}_a \nabla \cdot \vec{\omega}}_{(2)} = \underbrace{\vec{i} (\omega_a)_z \frac{\partial u}{\partial z} + \vec{j} (\omega_a)_z \frac{\partial v}{\partial z}}_{(1)} - \underbrace{\vec{k} (\omega_a)_z \left(\frac{\partial u}{\partial x} + \frac{\partial v}{\partial y} \right)}_{(2)} \quad (4.27)$$

(4.27) \Rightarrow supondo que a vorticidade só tem componente vertical

Obs: Note que (1) está associada ao cizalhamento da corrente e (2), à divergência da corrente.

$$(2) - (\omega_a)_z \left(\frac{\partial u}{\partial x} + \frac{\partial v}{\partial y} \right)$$



ESTIRAMENTO DO
TUBO DE VÓRTICE

$$\nabla_H \cdot \vec{\omega} < 0 \Rightarrow \frac{d\vec{\omega}_a}{dt} > 0$$

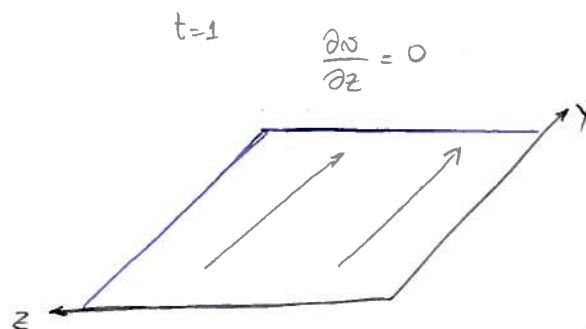
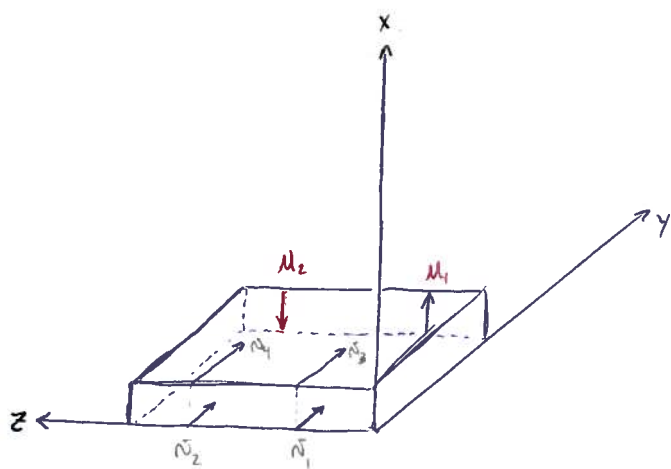
$$(1) \quad \vec{i} (\omega_a)_z \frac{\partial u}{\partial z} + \vec{j} (\omega_a)_z \frac{\partial v}{\partial z}$$

p.51

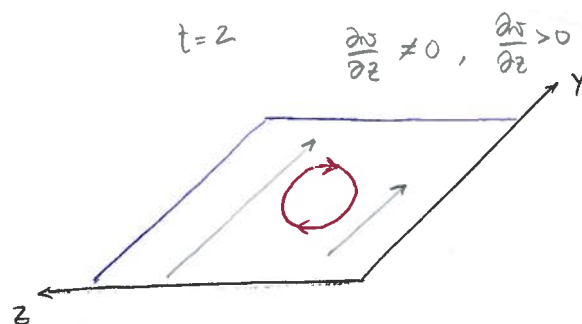
Na direção x , por exemplo

$$(\omega_a)_z \frac{\partial u}{\partial z} = \frac{\partial u}{\partial z} \frac{\partial \omega}{\partial x} - \frac{\partial u}{\partial t} \frac{\partial u}{\partial y} + f_0 \frac{\partial u}{\partial z}$$

Por simplicidade, $\frac{\partial u}{\partial y} = 0$; $\frac{\partial u}{\partial z} < 0$; $\frac{\partial \omega}{\partial x} > 0$



INCLINAÇÃO DO
TUBO DE VÓRTICE



$$\frac{\partial \omega}{\partial z} > 0 \Rightarrow \omega_x < 0$$

Em movimentos quase horizontais, (4.26) fica:

$$\begin{aligned} \frac{d}{dt} (\vec{j} + f) = & \underbrace{-(\vec{j} + f) \nabla \cdot \vec{\omega}}_{\text{Estiramento}} + \underbrace{\frac{1}{\rho^2} \left(\frac{\partial \rho}{\partial x} \frac{\partial \vec{p}}{\partial y} - \frac{\partial \rho}{\partial y} \frac{\partial \vec{p}}{\partial x} \right)}_{\text{Vetor baroclinico}} - \underbrace{\left(\frac{\partial \omega}{\partial x} \frac{\partial \omega}{\partial z} - \frac{\partial \omega}{\partial y} \frac{\partial \omega}{\partial z} \right)}_{\text{inclinação}} + \dots \\ & \dots + \underbrace{\left[\frac{\partial}{\partial x} \left(\frac{F_{at y}}{\rho} \right) - \frac{\partial}{\partial y} \left(\frac{F_{at x}}{\rho} \right) \right]}_{\text{Atrito}} \end{aligned} \quad (4.26) \quad \text{onde } \vec{j} = \frac{\partial \omega}{\partial x} - \frac{\partial \omega}{\partial y} = \omega_z$$

4.5 VORTICIDADE POTENCIAL

p.52

Para achar a equação da vorticidade potencial, partimos da equação da vorticidade e eliminamos o $\nabla \cdot \vec{\omega}$ através da equação da conservação de massa.

Eliminando $\nabla \cdot \vec{\omega}$ de (4.26) pelo uso de $\nabla \cdot \vec{\omega} = -\frac{1}{\rho} \frac{d\rho}{dt}$:

$$\frac{d}{dt} \left(\frac{\vec{\omega}_a}{\rho} \right) = \left(\frac{\vec{\omega}_a}{\rho} \cdot \nabla \right) \vec{\omega} + \nabla \rho \times \frac{\nabla p}{\rho^3} + \left(\nabla \times \frac{\vec{F}_{at}}{\rho} \right) \frac{1}{\rho} \quad (4.29)$$

Seja λ uma propriedade escalar do fluido, tal que:

$$\frac{d\lambda}{dt} = \psi$$

Fazendo o produto escalar de $\nabla \lambda$ e (4.29):

$$\boxed{\frac{d}{dt} \left(\frac{\vec{\omega}_a}{\rho} \cdot \nabla \lambda \right) = \frac{\vec{\omega}_a}{\rho} \cdot \nabla \psi + \nabla \lambda \cdot \left(\frac{\nabla \rho \times \nabla p}{\rho^3} \right) + \frac{\nabla \lambda}{\rho} \cdot \left(\nabla \times \frac{\vec{F}_{at}}{\rho} \right)} \quad (4.33)$$

Equações da Vorticidade Potencial

Teorema de Ertel

De (4.33), se:

- (1) λ é conservativa ($\psi = 0$);
- (2) o fluido é invíscido ($\vec{F}_{at} = 0$);
- (3) o fluido é barotrópico ($\nabla \rho \times \nabla p = 0$), então:

$$\boxed{\frac{d}{dt} \left(\frac{\vec{\omega}_a}{\rho} \cdot \nabla \lambda \right) = 0}$$

A grandeza conservada:

$$\frac{\vec{\omega}_a}{\rho} \cdot \nabla \lambda = \frac{\vec{\omega} + 2\vec{\Omega}}{\rho} \cdot \nabla \lambda = \pi \quad \text{é chamada vorticidade potencial}$$

4.6 EQUAÇÃO DO VENTO TÉRMICO

p.53

É obtida através de uma simplificação da equação da vorticidade

A eq. da vorticidade (4.26) para: • $\vec{\omega} \ll 2\vec{\Omega}$, ou seja, $\epsilon \ll 1$

$$\bullet \vec{f}_{at} = 0$$

$$2(\vec{\Omega} \cdot \nabla) \vec{\omega} - 2\vec{\Omega} \nabla \cdot \vec{\omega} = - \frac{\nabla \rho \times \nabla p}{\rho^2} \quad (4.36)$$

Para $\vec{\omega} \parallel \vec{\Omega}$:

$$2\Omega \left(\frac{\partial u}{\partial z} \right) = - \frac{1}{\rho^2} \left(\frac{\partial p}{\partial z} \frac{\partial \rho}{\partial y} - \frac{\partial p}{\partial y} \frac{\partial \rho}{\partial z} \right) \quad (4.37)$$

$$2\Omega \left(\frac{\partial v}{\partial z} \right) = - \frac{1}{\rho^2} \left(\frac{\partial p}{\partial z} \frac{\partial \rho}{\partial x} - \frac{\partial p}{\partial x} \frac{\partial \rho}{\partial z} \right) \quad (4.38)$$

$$2\Omega \left(\frac{\partial u}{\partial x} + \frac{\partial v}{\partial y} \right) = - \frac{1}{\rho^2} \left(\frac{\partial p}{\partial x} \frac{\partial \rho}{\partial y} - \frac{\partial p}{\partial y} \frac{\partial \rho}{\partial x} \right) \quad (4.39)$$

De (4.37) e (4.38), ou seja, componentes horizontais de (4.36), verificamos que o cizalhamento vertical da componente horizontal é proporcional a variações horizontais de densidade

Essa relação é conhecida como a

RELAÇÃO DO VENTO TÉRMICO

4.7. TEOREMA DE TAYLOR - PROUDMAN

Se, além de $\vec{\omega} \ll 2\vec{\Omega}$, $\vec{f}_{at} = 0$, $\nabla \rho \times \nabla p = 0$, então:

$$(4.37) \Rightarrow \frac{\partial u}{\partial z} = 0$$

$$(4.38) \Rightarrow \frac{\partial v}{\partial z} = 0$$

$$(4.39) \Rightarrow \frac{\partial u}{\partial x} + \frac{\partial v}{\partial y} = 0$$

$$\hookrightarrow \nabla_H \cdot \vec{\omega} = 0$$

(4.41)

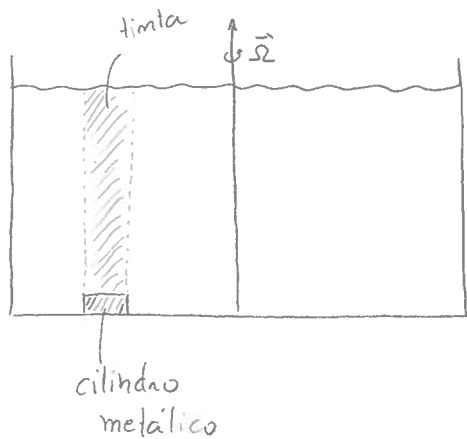
Isto é, não há cisalhamento nortical da corrente

p. 54

horizontal e o movimento é horizontalmente não-divergente.

Além disso, $\frac{\partial w}{\partial z} = 0$, pela eq. da continuidade, ou seja, a

velocidade nortical não varia em z .



A água colorida acompanha sempre o cilindro, ou seja, ele é deslocado horizontalmente.

9/5/2007

5. MOVIMENTOS ESTACIONÁRIOS

$$\frac{\partial \vec{u}}{\partial t} = 0$$

5.1 MOVIMENTO GEOSTRÓFICO

$$\frac{d\vec{u}}{dt} + 2\vec{\Omega} \times \vec{u} = -\frac{\nabla p}{\rho} + \vec{g} + \frac{\vec{F}_{at}}{\rho} \quad (5.1)$$

$$\frac{\left| \frac{d\vec{u}}{dt} \right|}{|2\vec{\Omega} \times \vec{u}|} = \frac{\left| \frac{\partial \vec{u}}{\partial t} + \vec{u} \cdot \nabla \vec{u} \right|}{|2\vec{\Omega} \times \vec{u}|} = O \left[\frac{\frac{U}{\tau}, \frac{U^2}{L}}{2\Omega U} \right] = O \left[\frac{1}{2\Omega \tau}, \frac{U}{2\Omega L} \right] = O \left[\epsilon_t, \epsilon \right]$$

No caso,

$$\epsilon_t \ll 1, \quad \epsilon \ll 1$$

$$(5.1) \Rightarrow 2\vec{\Omega} \times \vec{u} = -\frac{\nabla p}{\rho} + \vec{g} + \frac{\vec{F}_{at}}{\rho} \quad (5.2)$$

$$\frac{|\vec{F}_{at}/\rho|}{|2\vec{\Omega} \times \vec{r}|} = 0 \left[\frac{v}{2\Omega L^2} \right] = 0[E] \quad (5.3)$$

No caso de $E \ll 1$,

$$(5.2) \Rightarrow 2\vec{\Omega} \times \vec{r} = - \frac{\nabla \phi}{\rho} + \vec{g} \quad (5.4)$$

(5.4) aberta em componentes:

$$-2\Omega r \sin\theta + 2\Omega w \cos\theta = - \frac{1}{\rho r \cos\theta} \frac{\partial \phi}{\partial \theta} \quad (5.5)$$

$$2\Omega u \sin\theta = - \frac{1}{\rho r} \frac{\partial \phi}{\partial \theta} \quad (5.6)$$

$$-2\Omega u \cos\theta = - \frac{1}{\rho} \frac{\partial \phi}{\partial r} - g \quad (5.7)$$

Usando a partição:

$$\rho = \rho_0(r) + \tilde{\rho}(\phi, \theta, r) \quad (5.8)$$

$$\phi = \phi_0(r) + \tilde{\phi}(\phi, \theta, r)$$

onde, por definição:

$$\frac{\partial \phi_0}{\partial r} = - \rho_0 g \quad (5.9)$$

(5.8) em (5.5), (5.6) e (5.7) e multiplicando por ρ

$$(\rho_0 + \tilde{\rho})[-2\Omega r \sin\theta + 2\Omega w \cos\theta] = - \frac{1}{r \cos\theta} \frac{\partial \tilde{\phi}}{\partial \theta} \quad (5.10)$$

$$(\rho_0 + \tilde{\rho})[2\Omega u \sin\theta] = - \frac{1}{r} \frac{\partial \tilde{\phi}}{\partial \theta} \quad (5.11)$$

$$-(\rho_0 + \tilde{\rho})2\Omega u \cos\theta = - \frac{\partial \tilde{\phi}}{\partial r} - \tilde{\rho} g \quad (5.12)$$

Lembrando que:

p.56

$$\frac{|W|}{|u|} = \frac{D}{L} = \delta = O(\delta) \quad (5.13)$$

No caso de $\delta \ll 1$: $|2\Omega W \cos \theta| \ll |2\Omega u \sin \theta|$

De (5.10) simplificada e (5.11):

$$\tilde{p} = O(\rho 2\Omega UL) \quad (r, \theta) = (L)$$

$$\frac{\partial \tilde{p}}{\partial r} = O\left(\frac{\tilde{p}}{D}\right) = O\left(\frac{2\Omega UL\rho}{D}\right)$$

$$\rho 2\Omega U \cos \theta = O(2\Omega U \rho)$$

$$\frac{|\rho 2\Omega U \cos \theta|}{\left|\frac{\partial \tilde{p}}{\partial r}\right|} = O\left(\frac{D}{L}\right) = O(\delta) \ll 1 \quad (5.14)$$

\Rightarrow Negligência a comp. vertical da ac. de Coriolis

Consequentemente,

$$(\rho_0 + \tilde{\rho})(-2\Omega u \sin \theta) = -\frac{1}{r \cos \theta} \frac{\partial \tilde{p}}{\partial \theta} \quad (5.15)$$

$$(\rho_0 + \tilde{\rho})(2\Omega u \sin \theta) = -\frac{1}{r} \frac{\partial \tilde{p}}{\partial \theta} \quad (5.16)$$

$$0 = -\frac{1}{\rho} \frac{\partial \tilde{p}}{\partial r} - \frac{\tilde{\rho}}{\rho_0 + \tilde{\rho}} g \quad (5.17)$$

$$\text{De (5.17)} \Rightarrow \tilde{p} = O\left(\frac{\tilde{p}}{gD}\right) = O\left(\frac{\rho 2\Omega UL}{gD}\right) \Rightarrow \frac{\tilde{\rho}}{\rho} = O\left(\frac{2\Omega UL}{gD}\right) = O(EF)$$

No caso de: $EF \ll 1 \Rightarrow \tilde{\rho} \ll \rho \Rightarrow \rho \approx \rho$, Aproximação de Boussinesq

Finalmente:

$$(5.15) \Rightarrow -f\vec{v} = -\frac{1}{\rho_0 r \cos \theta} \frac{\partial \tilde{p}}{\partial \phi} \quad (5.22)$$

p.57

$$(5.16) \Rightarrow f\vec{u} = -\frac{1}{\rho_0 r} \frac{\partial \tilde{p}}{\partial \theta} \quad (5.23)$$

$$(5.17) \Rightarrow 0 = -\frac{\partial p}{\partial r} - \rho g \quad (5.24)$$

Fazendo $z = r - a$,

$$1) \text{ Coord. Esféricas} \quad -f\vec{v} = -\frac{1}{\rho_0 a \cos \theta} \frac{\partial \tilde{p}}{\partial \phi} \quad (5.25)$$

$$f\vec{u} = -\frac{1}{\rho_0 a} \frac{\partial \tilde{p}}{\partial \theta} \quad (5.26)$$

$$\rho g = -\frac{\partial p}{\partial z} \quad (5.27)$$

$\tilde{p} = p$ para os grad. horizontais

$$\text{pois } \frac{\partial p}{\partial \phi} = \frac{\partial \tilde{p}}{\partial \phi}$$

$$\frac{\partial p}{\partial \theta} = \frac{\partial \tilde{p}}{\partial \theta}$$

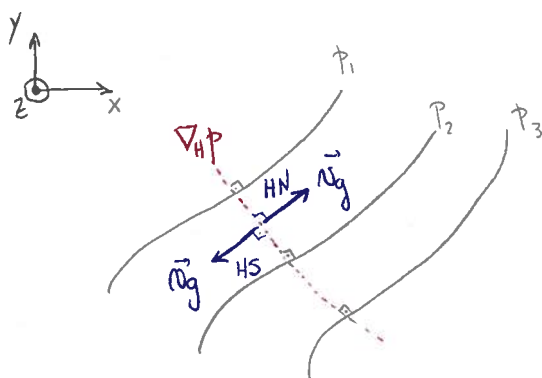
(5.25) e (5.26) Expriemem o BALANÇO GEOSTRÓFICO (balanço entre força de coriolis e a força do gradiente de pressão)

Fazendo $\vec{v}_g = u\vec{i} + v\vec{j}$, obtemos de (5.25) e (5.26):

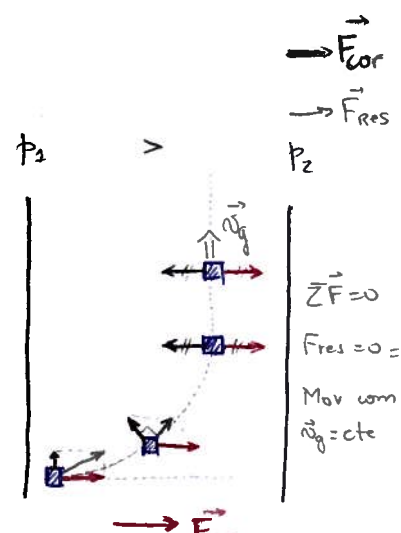
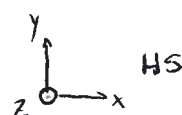
$$\vec{v}_g = \frac{1}{\rho f} \vec{k} \times \nabla_H p \quad (5.28)$$

Lembrando que (5.28) é válida n:

$$E_t \ll 1, \quad E \ll 1, \quad E \ll 1, \quad \delta \ll 1, \quad F \ll 1$$



$$p_1 < p_2 < p_3$$



2) \vec{n}_g em coordenadas isobáricas

$$\vec{n} = \frac{g}{f} \vec{k} \times (\nabla_z)_p \quad (5.29)$$

$$f\eta = \frac{g}{a \cos \theta} \left(\frac{\partial z}{\partial \phi} \right)_p \quad (5.30)$$

$$f\mu = - \frac{g}{a} \left(\frac{\partial z}{\partial \theta} \right)_p \quad (5.31)$$

3) \vec{n}_g usando o geopotencial: $d\Phi = g dz$

$$\vec{n}_g = \frac{1}{f} \vec{k} \times (\nabla \Phi)_p \quad (5.32)$$

$$f\eta = \frac{1}{a \cos \theta} \left(\frac{\partial \Phi}{\partial \phi} \right)_p \quad (5.33)$$

$$f\mu = - \frac{1}{a} \left(\frac{\partial \Phi}{\partial \theta} \right)_p \quad (5.34)$$

4) Cisalhamento nortical de \vec{n}_g

$$\frac{\partial}{\partial z} (5.25) \Rightarrow \frac{\partial \eta}{\partial z} = - \frac{g}{f p a \cos \theta} \left(\frac{\partial p}{\partial \phi} \right)_p \quad (5.36)$$

$$\frac{\partial}{\partial z} (5.26) \Rightarrow \frac{\partial \mu}{\partial z} = \frac{g}{f p a} \left(\frac{\partial p}{\partial \theta} \right)_p \quad (5.37)$$

$$\boxed{\frac{\partial \vec{n}_g}{\partial z} = - \frac{g}{p f} \vec{k} \times (\nabla p)_p} \quad (5.38)$$

Equação do Vento Térmico

\Rightarrow Não há cisalhamento nortical de \vec{n}_g em um fluido barotrópico, pois $(\nabla p)_p = 0$.

$$5) \nabla \cdot \vec{n}_g = \frac{1}{a \cos \theta} \left(\frac{\partial u}{\partial \phi} + \cos \theta \frac{\partial v}{\partial \theta} - v \sin \theta \right) \quad (5.39)$$

p.59

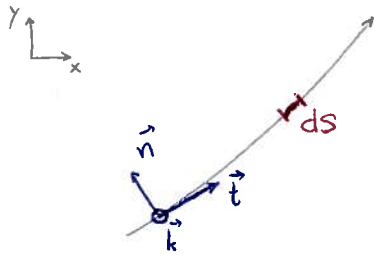
(5.26) em (5.39):

$$\nabla \cdot \vec{n}_g = \frac{1}{f} \frac{N}{a} \frac{\partial f}{\partial \theta} = \frac{N}{a} \cot \theta \quad (5.40)$$

\Rightarrow No plano f , $\frac{\partial f}{\partial \theta} = 0$, logo, $\nabla \cdot \vec{n}_g = 0$

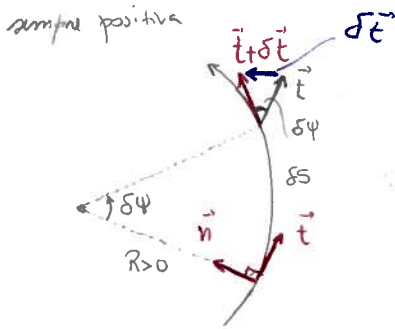
5.2 MOVIMENTO DE GRADIENTE

- SISTEMA DE COORDENADAS NATURAIS



versor \vec{t} paralelo à trajetória
versor \vec{n} normal à trajetória,
positivo sempre a esquerda
do movimento

$$\vec{n}_H = n \vec{t} ; \quad n = \frac{ds}{dt} ; \quad \frac{d\vec{n}_H}{dt} = \frac{d}{dt} (n \vec{t}) = \frac{dn}{dt} \vec{t} + n \frac{d\vec{t}}{dt} \quad (\text{o vetor } \vec{t} \text{ varia no tempo}) \quad (5.45)$$



$$\delta \psi = \frac{\delta s}{R} \quad \Rightarrow \quad \delta \psi \approx \frac{|\delta \vec{t}|}{|\vec{t}|} \Rightarrow \delta \psi = |\delta \vec{t}| \quad |\delta \vec{t}| = \frac{\delta s}{R}$$

$$\Rightarrow \left| \frac{d\vec{t}}{ds} \right| = \frac{1}{R} \Rightarrow \frac{d\vec{t}}{ds} = \frac{\vec{n}}{R}$$

$$\Rightarrow \frac{d\vec{t}}{dt} = \frac{d\vec{t}}{ds} \cdot \frac{ds}{dt} = \frac{n}{R} \vec{n}$$

1) Aceleração total em coordenadas naturais

e de (5.45):

$$\frac{d\vec{n}_H}{dt} = \frac{dn}{dt} \vec{t} + \frac{n^2}{R} \vec{n} \quad (5.46)$$

\hookrightarrow aceleração centrífuga

2) Aceleração de Coriolis em coordenadas naturais:

p.60

$$\boxed{f\vec{\omega} \times \vec{k} = -f\omega\vec{n}} \quad (5.47)$$

3) Equações horizontais para um fluido inviscido:

$$\frac{d\vec{v}}{dt} = -\frac{1}{\rho} \frac{\partial p}{\partial s} \quad (\vec{t}) \quad (5.48)$$

$$\frac{\omega^2}{R} + f\omega = -\frac{1}{\rho} \frac{\partial p}{\partial n} \quad (\vec{n}) \quad (5.49)$$

Se o movimento é paralelo as isobaras,

$$\frac{\partial p}{\partial s} = 0 \quad \text{e} \quad \frac{d\vec{v}}{dt} = 0, \quad \text{isto é, o movimento é estacionário}$$

Nesse caso, (5.49) é a EQUAÇÃO DO MOVIMENTO DE GRADIENTE

OBS: 1) (5.49) exprime balanço entre:

- aceleração advectiva (aceleração centrífuga)
- aceleração de Coriolis
- força do gradiente de pressão por unidade de massa

2) Se o movimento é retilíneo $\Rightarrow R \rightarrow \infty \Rightarrow \frac{\omega^2}{R} \rightarrow 0$,

e (5.49) fica a própria equação do movimento geostrófico

$$f\omega_g = -\frac{1}{\rho} \frac{\partial p}{\partial n}$$

O movimento geostrófico é um movimento de gradiente com trajetória retilínea

$$3) \frac{\omega^2}{R} + f\omega = f\omega_g \Rightarrow f\omega = f\omega_g - \frac{\omega^2}{R}$$

4)

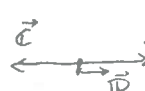
	HN	HS
$R > 0$	$\mathcal{N}_g > \mathcal{N}$	$\mathcal{N}_g < \mathcal{N}$
$R < 0$	$\mathcal{N}_g < \mathcal{N}$	$\mathcal{N}_g > \mathcal{N}$

5) De (5.49):

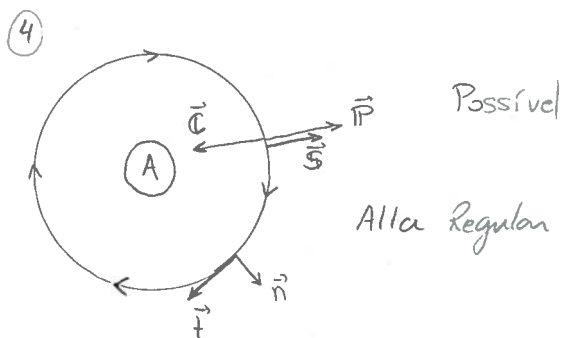
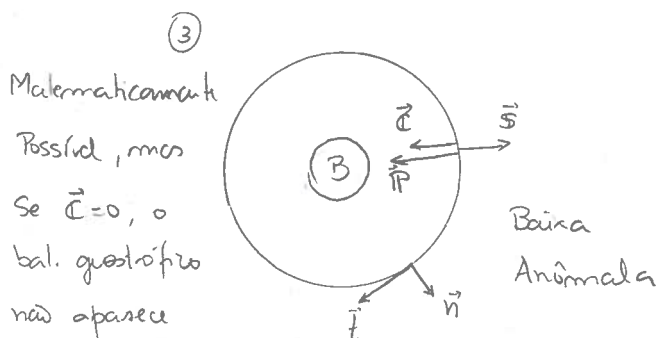
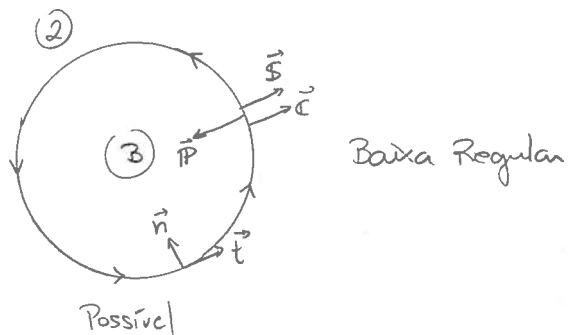
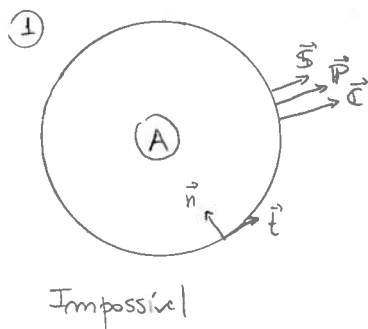
$$\mathcal{N} = -\frac{fR}{2} \pm \left(\frac{f^2 R^2}{4} - \frac{R}{\rho} \frac{\partial p}{\partial n} \right)^{1/2} \quad (5.50)$$

6) $\vec{\Pi} + \vec{\mathcal{C}} + \vec{\mathcal{S}} = 0$

sendo: $\vec{\Pi} = -\frac{1}{\rho} \frac{\partial p}{\partial n} \vec{n}$; $\vec{\mathcal{C}} = -f \mathcal{N} \vec{n}$; $\vec{\mathcal{S}} = -\frac{\mathcal{S}^2}{R} \vec{n}$

(HN)	$R > 0$	$R < 0$
$\frac{\partial p}{\partial n} > 0$	① impossível	③ Baixa Anômala Raiz +
$\frac{\partial p}{\partial n} < 0$	② Baixa Regular Raiz +	④ Raiz + \rightarrow Alta Anômala \Rightarrow  Raiz - \rightarrow Alta Regular

OBSERVADOS NA NATUREZA



Próximo ao centro:

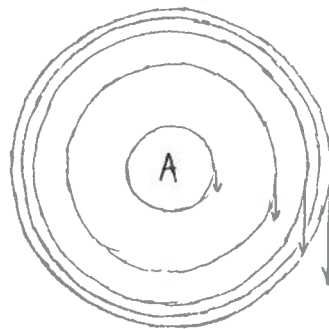
p.62

(A) $(R < 0; \frac{\partial p}{\partial n} < 0)$

$$\frac{R}{\rho} \frac{\partial p}{\partial n} < \frac{f^2 R^2}{4} \Rightarrow \frac{1}{\rho} \frac{\partial p}{\partial n} < \frac{f^2 R}{4}$$

$\frac{f^2 R}{4}$ decresce linearmente em direção ao centro

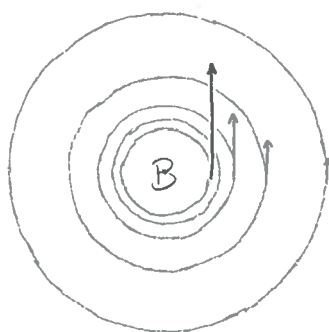
$\Rightarrow \frac{1}{\rho} \frac{\partial p}{\partial n}$ também deve diminuir em direção ao centro



(B) $(R > 0; \frac{\partial p}{\partial n} < 0)$

(5.50) \Rightarrow não há restrições para $\frac{\partial p}{\partial n}$

\Rightarrow os movimentos podem ser intensos próximo ao centro



16/05/2007

\rightarrow www.badcontrols.com

5.3. MOVIMENTO CICLOSTRÓFICO

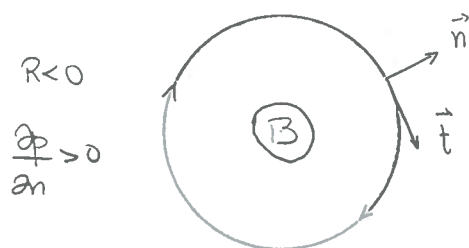
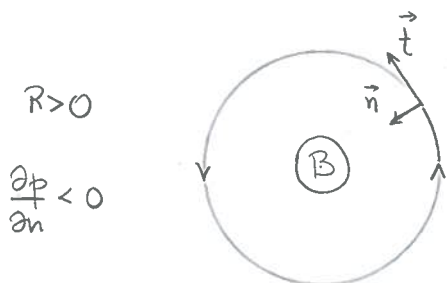
$$R \ll 1 \Rightarrow \left| \frac{\Omega^2}{R} \right| \gg |f\Omega| \Rightarrow \boxed{\frac{\Omega^2}{r} = -\frac{1}{\rho} \frac{\partial p}{\partial n}} \quad (5.51)$$

Balanco ciclostrófico

\rightarrow Movimento em escala bem pequena

$$\Rightarrow \Omega = \pm \sqrt{-\frac{R}{\rho} \frac{\partial p}{\partial n}} \quad (5.52)$$

$$\Rightarrow \frac{R}{\rho} \frac{\partial p}{\partial n} < 0$$



7.3 EQUAÇÃO DA VORTICIDADE POTENCIAL

p.75

para λ podemos usar a função de status, que é conservativa.

Nesse caso:

$$\frac{d\pi}{dt} = \frac{d}{dt} \left(\frac{\vec{u}_a}{c} \cdot \nabla \lambda \right) = 0$$

Substituindo λ pela função de status:

$$\boxed{\frac{d}{dt} \left(\frac{J+f}{H} \right) = 0} \quad (7.34)$$

Vorticidade Potencial no Modelo de Águas Rasas $\rightarrow \frac{J+f}{H}$

7.4 LINEARIZAÇÃO

Fazendo: $H(x, y, t) = H_0(x, y) + \eta(x, y, t)$

As condições para a linearização de (7.16), (7.17) e (7.23) são:

$$\eta \ll H_0 \quad (7.37)$$

$$\frac{\partial \vec{\omega}_H}{\partial t} \gg (\vec{\omega}_H \cdot \nabla) \vec{\omega}_H \quad (7.38)$$

Nesse caso:

$$(7.16) \Rightarrow \frac{\partial u}{\partial t} - f v = -g \frac{\partial \eta}{\partial x} \quad (7.39)$$

$$(7.17) \Rightarrow \frac{\partial v}{\partial t} + f u = -g \frac{\partial \eta}{\partial y} \quad (7.40)$$

$$(7.23) \Rightarrow \frac{\partial \eta}{\partial t} + \frac{\partial}{\partial x} (H_0 u) + \frac{\partial}{\partial y} (H_0 v) = 0 \quad (7.41)$$

Na forma de transporte por unidade de distância:

p. 76

$$\vec{W} = u H_0 \vec{i} + v H_0 \vec{j} = U \vec{i} + V \vec{j} \quad (7.42)$$

Resolver as equações linearizadas em função de transporte:

$$\frac{\partial u}{\partial t} - f v = -g H_0 \frac{\partial \eta}{\partial x} \quad (7.43) \quad 3 \text{ eqs} + 3 \text{ incs}$$

$$\frac{\partial v}{\partial t} + f u = -g H_0 \frac{\partial \eta}{\partial y} \quad (7.44)$$

$$\frac{\partial \eta}{\partial t} + \frac{\partial u}{\partial x} + \frac{\partial v}{\partial y} = 0 \quad (7.45)$$

Combimando (7.43) a (7.45), no plano f:

$$\frac{\partial}{\partial t} \left[\left(\frac{\partial^2}{\partial t^2} + f^2 \right) \eta - \nabla \cdot (g H_0 \nabla \eta) \right] - f \cdot g J(H_0, \eta) = 0 \quad (7.26)$$

↓
Equação de onda

$$1 \text{ eq} + 1 \text{ inc}, \text{ onde } J(A, B) = \frac{\partial A}{\partial x} \frac{\partial B}{\partial y} - \frac{\partial A}{\partial y} \frac{\partial B}{\partial x}$$

De (7.39) e (7.40)

$$\left(\frac{\partial^2}{\partial t^2} + f^2 \right) u = -g \left(\frac{\partial}{\partial t} \frac{\partial \eta}{\partial x} + f \frac{\partial \eta}{\partial y} \right) \quad (7.48)$$

$$\left(\frac{\partial^2}{\partial t^2} + f^2 \right) v = -g \left(\frac{\partial}{\partial t} \frac{\partial \eta}{\partial y} + f \frac{\partial \eta}{\partial x} \right) \quad (7.49)$$

7.6 MOVIMENTO GEOSTRÓFICO

$$\frac{\partial}{\partial t} = 0 \text{ em } (7.48) \text{ e } (7.49) \Rightarrow$$

$$u = - \frac{g}{f} \frac{\partial \eta}{\partial y} \quad (7.50)$$

$$v = \frac{g}{f} \frac{\partial \eta}{\partial x} \quad (7.51)$$

No Modelo de Águas Rasas (M.A.R.)
inviscido, as soluções estacionárias
correspondem ao Movimento Geostro-
fico.

de (7.50) e (7.51):

p 77

$$u \frac{\partial \eta}{\partial x} + v \frac{\partial \eta}{\partial y} = 0, \text{ ou } \vec{s}_H \cdot \nabla \eta = 0$$

$\Rightarrow \vec{s}_H \parallel$ isolinhas de $\eta \Rightarrow$ isolinhas de η são linhas de corrente no movimento quadrático no M.A.R inviscido e barotrópico.

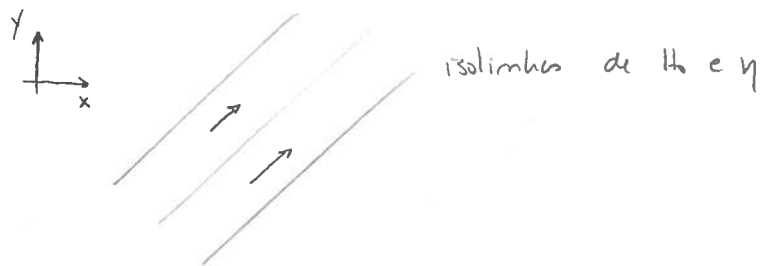
$$\frac{\partial}{\partial t} = 0 \text{ em (7.46):}$$

$$J(H_0, \eta) = 0 \quad (7.53)$$

$$\frac{\partial H_0}{\partial x} \frac{\partial \eta}{\partial y} - \frac{\partial H_0}{\partial y} \frac{\partial \eta}{\partial x} = 0 \Rightarrow \frac{\frac{\partial H_0}{\partial x}}{\frac{\partial H_0}{\partial y}} = - \frac{\frac{\partial \eta}{\partial x}}{\frac{\partial \eta}{\partial y}}$$

$$\Rightarrow \left(\frac{\partial \eta}{\partial x} \right)_{H_0} = \left(\frac{\partial \eta}{\partial x} \right)_{\eta} \quad (7.54)$$

Isto é, isolinhas de H_0 e η são paralelas



7.6 ONDAS DE GRAVIDADE

Para um oceano horizontalmente infinito, com $h_B = 0$, no plano f , a solução ondulatória da eq (7.46) é:

$$\eta = \text{Re} [\eta_0 e^{i(kx + ly - \omega t)}] \quad (7.55)$$

Introduzindo (7.55) na eq de onda (7.46), a relação de dispersão é:

$$\omega^2 = f^2 + g H_0 (k^2 + l^2)$$

(7.56)

p. 78

Isto é, a solução ondulatória no plano f , para $h_B = 0$, e a onda de Poicaré

7.7 EFEITOS DE UM CONTORNO LATERAL: Horizontalmente semi-infinito

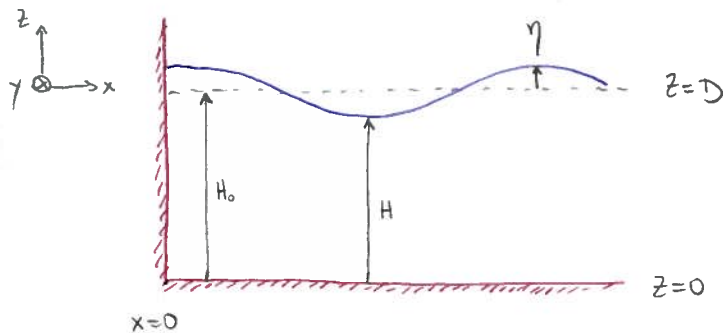
ONDAS DE GRAVIDADE

p/ $H_0 = \text{cte}$ ($h_B = 0$), (7.46) fica:

$$\left(\frac{\partial^2}{\partial t^2} + f^2\right)\eta - g H_0 \nabla^2 \eta = 0 \quad (7.57)$$

Condição de contorno lateral:

$$u = 0 \quad \text{em } x = 0 \quad (7.58)$$



Solução ondulatória: $\eta = \text{Re}[\eta_0(x) \cdot e^{i(ly - \omega t)}]$ (7.59)

(7.59) em (7.57):
$$\frac{d^2 \eta_0}{dx^2} + \left(\frac{\omega^2 - f^2}{g H_0} - l^2\right) \eta_0 = 0 \quad (7.60)$$

(7.59) em (7.58), usando (7.48) para passar a c.c. para funções de η

$$\frac{d\eta_0}{dx} - \frac{f_0 l}{\omega} \eta_0 = 0 \quad \text{em } x = 0 \quad (7.61)$$

1º CASO: $(1) \geq 0$: $\eta_0 = a e^{i\alpha x} + b e^{-i\alpha x}$ (7.62), onde $\alpha = \left(\frac{\omega^2 - f^2}{g H_0} - l^2\right)^{1/2} \in \mathbb{R}$

↳ suprainerciais

(7.62) em (7.61): $a = \frac{\alpha \omega - i f_0 l}{\alpha \omega + i f_0 l} b$ (7.63) (7.62a)

(7.63) em (7.62), usando (7.55):

$$\eta = b \cos(-\alpha x + ly - \omega t) + b \cos(\alpha x + ly - \omega t - \frac{2f_0 l}{\alpha \omega}) \quad (7.64)$$

A solução (7.64) representa a superposição de duas ondas

A onda incidente $\propto \cos(-\alpha x + ly - \omega t)$, pois $k < 0$

p. 79

A onda refletida $\propto \cos(\alpha x + ly - \omega t - \frac{2fl}{\alpha\omega})$, pois $k > 0$

Note que há uma diferença de fase entre a onda incidente e a onda refletida, devido ao termo $-\frac{2fl}{\alpha\omega}$ na onda refletida

Isso é chamado de ROTATIONAL SPLITTING. Não é possível gerar uma onda estacionária dessa forma.

de (7.62a): $\boxed{\omega^2 = f^2 + gH_0(\alpha^2 + l^2)}$ (7.65)

Onda de Poicaré com contorno lateral

(sobreposição de 2 ondas de poicare)

2º CASO: $() < 0 \Rightarrow \frac{\omega^2 - f^2}{gH_0} - l^2 < 0 \Rightarrow \omega^2 < f^2 + gH_0 l^2$

\hookrightarrow onda subinercial...

(7.60) $\Rightarrow \eta_0 = ae^{\gamma x} + be^{-\gamma x}$ (7.66) onde $\gamma = \left(\frac{f^2 - \omega^2}{gH_0} + l^2 \right)^{1/2} \in \mathbb{R}$ (7.67)

(7.66) em (7.61): $a(\gamma\omega - fl) - b(\gamma\omega + fl) = 0$ (7.68)

Para uma solução não-trivial:

$$\begin{cases} a=0 & \text{e } \gamma\omega + fl = 0 & (1^\circ) \\ \text{ou} \\ b=0 & \text{e } \gamma\omega - fl = 0 & (2^\circ) \end{cases}$$

Ambas conduzem à mesma solução. Tomando a 1ª

$\gamma\omega + fl = 0 \Rightarrow \omega = -\frac{fl}{\gamma}$ (7.69)

$a=0 \Rightarrow \eta_0 = be^{-\gamma x}$ (7.70)

$$\omega^4 - (f_0^2 + gH_0 l^2) \omega^2 + f_0^2 l^2 gH_0 = 0 \quad (7.71)$$

$$\Rightarrow \begin{cases} \omega^2 = f_0^2 & (7.72) \\ \omega^2 = gH_0 l^2 & (7.73) \end{cases} \rightarrow \text{movimento inercial}$$

(7.73) corresponde a uma onda de gravidade longa com propagação na direção y , ou seja, paralela à costa. Introduzindo (7.69) e (7.70) em (7.59) e daí, introduzindo em (7.48) e (7.49):

$$u = 0 \quad (7.74)$$

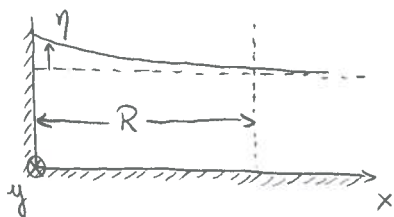
$$v = \frac{g\eta_0 l}{\omega} b e^{\frac{f_0 l}{\omega} x} \cos(l y - \omega t) \quad (7.75)$$

$$\eta = b e^{\frac{f_0 l}{\omega} x} \cos(l y - \omega t) \quad (7.76)$$

De (7.76), fisicamente é necessário que $\frac{f_0 l}{\omega} < 0$, para obter uma exponencial decrescente em x .

$$\Downarrow \\ f_0 l < 0$$

HN \rightarrow	$l < 0$
HS \rightarrow	$l > 0$



Essa onda é unidimensional, propaga-se com a costa à sua direita (esquerda) no HN (HS).

Em $x=0$, a amplitude é b . A distância da costa em que a amplitude é $\frac{b}{e}$ (escala de decaimento exponencial) é R , o raio de deformação de Rossby $= \frac{\sqrt{gH_0}}{f_0}$. Isto é, essa onda fica confinada entre a costa e distâncias da $O(R)$.

De (7.75) e (7.76) :

p. 81

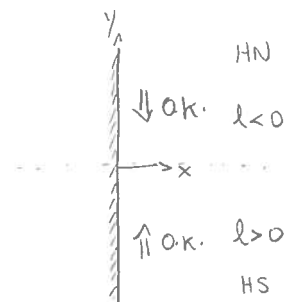
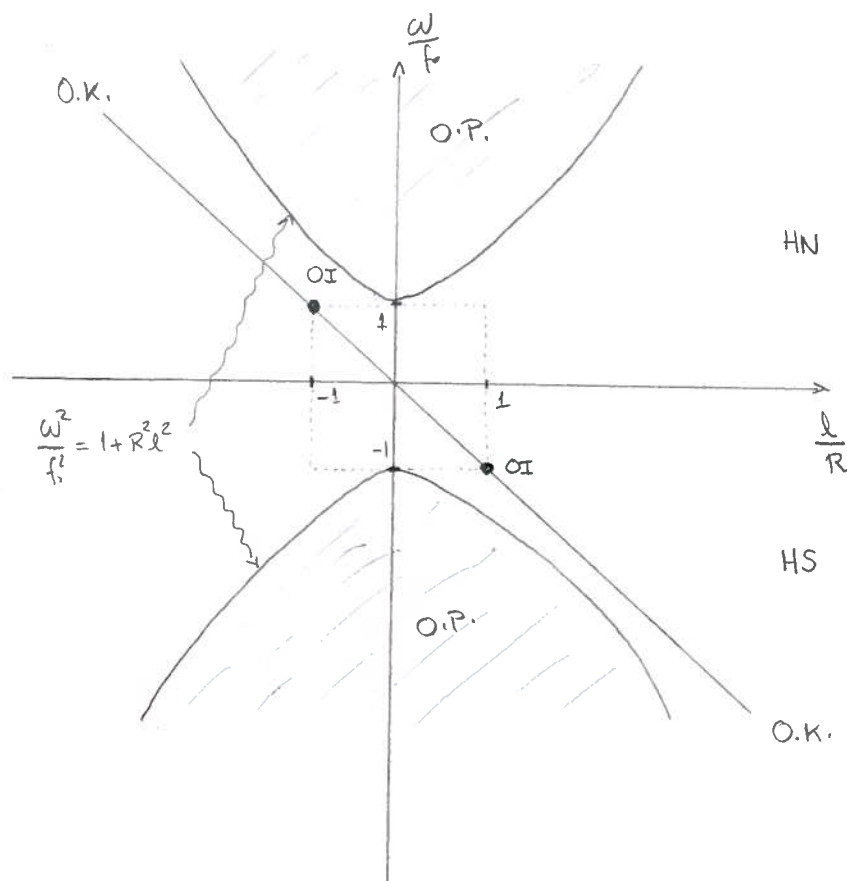
$$-f \cdot v = -g \frac{\partial \eta}{\partial x} \quad (7.77)$$

Isto é, a componente de velocidade paralela à costa é quadrática

A onda que tem todos esses característicos reunidos é chamada de **ONDA DE KELVIN**

A onda de Kelvin é a onda que transporta a maior parte da energia dos mares na plataforma continental.

24/05/07



OI = Oscilação Inicial

Usada para filtrar das soluções as ondas de gravidade

Lembrar: $H_0(x, y) = D - h_B(x, y)$ (7.109)

$$H(x, y, t) = H_0(x, t) + \eta(x, y, t)$$

Daí,

$$H = D + \eta - h_B = D \left(1 + \frac{\eta}{D} - \frac{h_B}{D} \right) \quad (7.114)$$

$$\Rightarrow H = D \underbrace{\left(1 + \varepsilon \frac{L^2}{R^2} \eta' - \frac{h_B}{D} \right)}_{H'} \quad (7.115)$$

$H' \rightarrow$ escrevendo o H na forma não-dimensional

Reescrevendo (7.16), (7.17) e (7.23) na forma não-dimensional:

$$\varepsilon_t \frac{\partial u'}{\partial t'} + \varepsilon \left(u' \frac{\partial u'}{\partial x'} + v' \frac{\partial u'}{\partial y'} \right) - \frac{f}{|f|} v' = - \frac{\partial \eta'}{\partial x'} \quad (7.117) \quad \text{onde } F = \frac{f^2 L^2}{gD} = \left(\frac{L}{R} \right)^2$$

(7.120)

$$\varepsilon_t \frac{\partial v'}{\partial t'} + \varepsilon \left(u' \frac{\partial v'}{\partial x'} + v' \frac{\partial v'}{\partial y'} \right) + \frac{f}{|f|} u' = - \frac{\partial \eta'}{\partial y'} \quad (7.118)$$

$$\varepsilon_t F \frac{\partial \eta'}{\partial t'} + \varepsilon F \left(u' \frac{\partial \eta'}{\partial x'} + v' \frac{\partial \eta'}{\partial y'} \right) - u' \frac{\partial}{\partial x'} \left(\frac{h_B}{D} \right) - v' \frac{\partial}{\partial y'} \left(\frac{h_B}{D} \right) + \left(1 + \varepsilon F \eta' - \frac{h_B}{D} \right) \dots$$

$$\dots \left(\frac{\partial u'}{\partial x'} + \frac{\partial v'}{\partial y'} \right) = 0 \quad (7.119)$$

Assumiremos $\frac{\varepsilon_t}{\varepsilon} = O(1)$ (7.121)

MÉTODO DE ANÁLISE ASSINTÓTICA

Usado quando há um estado básico de magnitude maior que pequenas perturbações

1) Escreva as equações na forma não dimensional

(7.117) - (7.119)

2) Identificar um coeficiente $\ll 1 \Rightarrow \varepsilon_t$ ou ε , escolhemos ε

3) Expandir as variáveis (incógnitas) em séries de potência usando o coeficiente $\ll 1$

4) Colecionar, nas equações, os termos de mesma ordem

Passo 3

$u' = u'(x', y', t', \varepsilon) \rightarrow$ reconhecendo que u' é fn de ε

$$u'(x', y', t', \varepsilon) = \underbrace{u'_0(x', y', t')}_{\text{quadrático}} + \underbrace{\varepsilon u'_1(x', y', t')}_{\substack{\text{perturbação} \\ \text{de} \\ \text{ordem } \varepsilon}} + \underbrace{\varepsilon^2 u'_2(x', y', t')}_{\substack{\text{perturbação} \\ \text{de} \\ \text{ordem } \varepsilon^2}} + \dots$$

$$u'_0 = O(1), \quad u'_1 = O(1), \quad u'_2 = O(1), \dots \quad (7.122)$$

Se $\varepsilon = 0 \Rightarrow$ velocidade puramente quadrática

$$v'(x', y', t', \varepsilon) = v'_0(x', y', t') + \varepsilon v'_1(x', y', t') + \varepsilon^2 v'_2(x', y', t') + \dots$$

$$\eta'(x', y', t', \varepsilon) = \eta'_0(x', y', t') + \varepsilon \eta'_1(x', y', t') + \varepsilon^2 \eta'_2(x', y', t') + \dots$$

Passo 4 \rightarrow tem que haver balanço entre os termos de mesma ordem

Exemplo: (7.117) \rightarrow

$$\begin{aligned} & \varepsilon_t \frac{\partial}{\partial t'} (u'_0 + \varepsilon u'_1 + \varepsilon^2 u'_2 + \dots) + \varepsilon \left[(u'_0 + \varepsilon u'_1 + \varepsilon^2 u'_2 + \dots) \frac{\partial}{\partial x'} (u'_0 + \varepsilon u'_1 + \varepsilon^2 u'_2 + \dots) + \dots \right. \\ & \left. \dots + (v'_0 + \varepsilon v'_1 + \varepsilon^2 v'_2 + \dots) \frac{\partial}{\partial y'} (u'_0 + \varepsilon u'_1 + \varepsilon^2 u'_2 + \dots) - \frac{f}{1\beta} (v'_0 + \varepsilon v'_1 + \varepsilon^2 v'_2 + \dots) \right] = \dots \end{aligned}$$

$$\dots = -\frac{\partial}{\partial x'} (\eta'_0 + \varepsilon \eta'_1 + \varepsilon^2 \eta'_2 + \dots)$$

784

A soma dos termos $O(1)$ tem que ser $= 0$

A soma dos termos $O(\varepsilon)$ tem que ser $= 0$

A soma dos termos $O(\varepsilon^2)$ tem que ser $= 0 \dots$

Começando pelos termos de $O(1)$:

$$\begin{aligned} -\frac{f}{|f|} \eta'_0 &= -\frac{\partial \eta'_0}{\partial x'} \\ \frac{f}{|f|} \eta'_0 &= -\frac{\partial \eta'_0}{\partial y'} \end{aligned}$$

(7.124)

(7.125)

→ Balanço de $O(1)$ é o balanço geostrófico

$$-\eta'_0 \frac{\partial}{\partial x'} \left(\frac{h_B}{D} \right) - \eta'_0 \frac{\partial}{\partial y'} \left(\frac{h_B}{D} \right) + \left(\frac{\partial \eta'_0}{\partial x'} + \frac{\partial \eta'_0}{\partial y'} \right) - \frac{h_B}{D} \left(\frac{\partial \eta'_0}{\partial x'} + \frac{\partial \eta'_0}{\partial y'} \right) = 0 \quad (7.126)$$

Assumindo que a topografia é uma perturbação em relação a espessura da coluna de água H .



$$\Rightarrow h_B \ll D \Rightarrow \frac{h_B}{D} \ll 1 =$$



$$\Rightarrow \frac{h_B}{D} = \varepsilon \eta'_B$$

Nesse caso, (7.126) \Rightarrow

$$\frac{\partial \eta'_0}{\partial x'} + \frac{\partial \eta'_0}{\partial y'} = 0 \quad (7.128)$$

Isto é, em $O(1)$ o movimento é geostrófico (eqs 7.124 e 7.125) e não-divergente (eq. 7.128)

Além disso, o sistema é indeterminado, pois há 3 incógnitas $(\eta'_0, \eta'_1, \eta'_2)$ e 2 equações, pois 7.128 pode ser obtida com uma

combinações lineares de (7.124) e (7.125)

p. 85

Termos de $O(\epsilon)$:

$$\frac{\partial u_0'}{\partial t'} + u_0' \frac{\partial u_0'}{\partial x'} + v_0' \frac{\partial u_0'}{\partial y'} - \frac{f}{|f|} v_0' = - \frac{\partial \eta_1'}{\partial x'} \quad (7.129)$$

$$\frac{\partial v_0'}{\partial t'} + u_0' \frac{\partial v_0'}{\partial x'} + v_0' \frac{\partial v_0'}{\partial y'} + \frac{f}{|f|} u_0' = - \frac{\partial \eta_1'}{\partial y'} \quad (7.130)$$

$$F \left(\frac{\partial \eta_0'}{\partial t'} + u_0' \frac{\partial \eta_0'}{\partial x'} + v_0' \frac{\partial \eta_0'}{\partial y'} \right) - u_0' \frac{\partial \eta_1'}{\partial x'} - v_0' \frac{\partial \eta_1'}{\partial y'} + \left(\frac{\partial u_1'}{\partial x'} + \frac{\partial v_1'}{\partial y'} \right) = 0 \quad (7.131)$$

Velocidades de $O(\epsilon)$: u_1' e v_1' são chamadas de VELOCIDADES AGEOSTRÓFICAS

O que impede o Balanço Geostrófico em $O(\epsilon)$ é a variação local e advecção da Velocidade Geostrófica de $O(1)$?

A aceleração total da Velocidade de $O(1)$ é o que impede a subsistência de $O(\epsilon)$ de ser geostrófica!

Combinaando (7.129) e (7.130), podemos obter a equação da vorticidade em $O(\epsilon)$:

$$\frac{\partial \zeta_0'}{\partial t'} + u_0' \frac{\partial \zeta_0'}{\partial x'} + v_0' \frac{\partial \zeta_0'}{\partial y'} = - \frac{f_0}{|f_0|} \left(\frac{\partial u_1'}{\partial x'} + \frac{\partial v_1'}{\partial y'} \right) \quad (7.133)$$

$$\text{onde: } \zeta_0' = \frac{\partial v_0'}{\partial x'} - \frac{\partial u_0'}{\partial y'} = \frac{f_0}{|f_0|} \nabla^2 \eta_0' \quad (7.132)$$

Eq da vorticidade quase-geostrófica num modelo de águas rasas relativa

Inviscido e Barotrópico, na forma não dimensional

→ O mecanismo que pode modificar a vorticidade relativa de $O(1)$ é a divergência da velocidade de $O(\varepsilon)$.

Usando (7.131) para eliminar o divergente de (7.133):

$$\left(\frac{\partial}{\partial t'} + \frac{f_0}{|f|} \frac{\partial \eta'_0}{\partial x'} \frac{\partial}{\partial y'} - \frac{f_0}{|f|} \frac{\partial \eta'_0}{\partial y'} \frac{\partial}{\partial x'} \right) \left(\frac{f_0}{|f|} \nabla'^2 \eta'_0 - \frac{f_0}{|f|} F \eta'_0 + \frac{f_0}{|f|} \eta'_B \right) = 0 \quad (7.135)$$

Eq da Vorticidade Potencial quase-geostrófica no modelo de Água rasa invíscida e homogênea, na forma não-dimensional.

Agora o problema está fechado, pois (7.135) só tem 1 incógnita η'_0

29/05

(7.135) → é uma equação de onda ... achemos outras soluções para ela

7.9 MOVIMENTO QG ESTACIONÁRIO

$$\frac{\partial}{\partial t'} = 0 \Rightarrow (7.135) \Rightarrow \text{MOVIMENTO GEOSTRÓFICO}$$

$$\Rightarrow u'_0, v'_0; \text{ com } \vec{v}'_0 \parallel \eta'_0 \text{ e } \eta'_B$$

7.10 SOLUÇÃO ONDULATÓRIA: PLANO f

$$\text{Solução harmônica: } \eta'_0 = \text{Re} [\hat{\eta}' e^{i(kx' + ly' - \omega t')}] \quad (7.136)$$

p/ oceano horizontalmente infinito

$$(7.136) \text{ em } (7.135): \quad \omega' = - \frac{f_0}{|f|} \frac{k' \frac{\partial \eta'_0}{\partial y'} - l' \frac{\partial \eta'_0}{\partial x'}}{k'^2 + l'^2 + F} \quad (7.144)$$

Relação de dispersão para ondas de Rossby Topográficas

Obs 1) As ondas de gravidade foram filtradas.

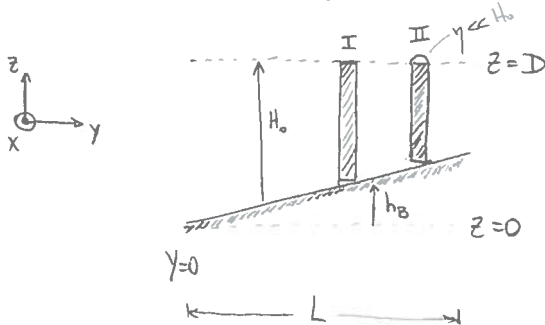
p. 87

2) Soluções para onda não-linear.

3) ORT só existe na presença de um gradiente topográfico

$$\left(\frac{\partial \eta'_B}{\partial y'} \neq 0 \text{ ou } \frac{\partial \eta'_B}{\partial x} \neq 0 \right)$$

Ex: $H_0 = D(1 - sy)$, $s > 0$



Em (7.144), $\frac{\partial \eta'_B}{\partial x} = 0$

$h_B = sy$, (7.144) na forma dimensional:

$$\omega = - \frac{s f_0}{L} \frac{k}{k^2 + l^2 + \frac{f_0^2}{g H_0}} \quad (7.147)$$

Velocidade de Fase:

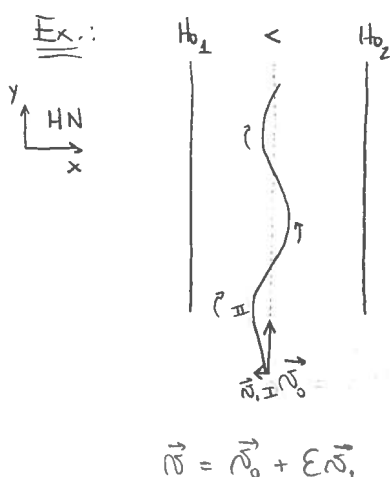
$$C_x = \frac{\omega}{k} = - \frac{s f_0}{L} \frac{1}{k^2 + l^2 + \frac{f_0^2}{g H_0}}$$

o sinal de C_x depende de s e f , a onda é unidirecional!

	HN	HS
$s > 0$	$C_x < 0$	$C_x > 0$
$s < 0$	$C_x > 0$	$C_x < 0$

Assim, a ORT é também unidirecional.

Propaga-se com a menor profundidade a sua direita (esquerda) no HN (HS)



Se a coluna de água é trazida para uma região mais rasa, ganha VORTICIDADE RELATIVA NEGATIVA (Horária)

Conservação de VP $\Rightarrow \pi = \frac{f + f_0}{H_0 + \eta} = \text{cte}$

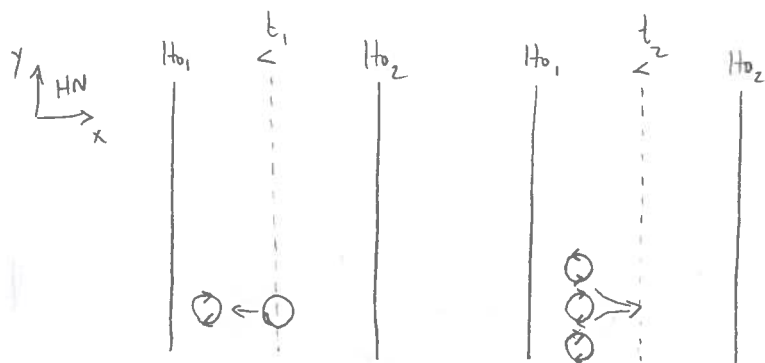
$$\pi_I = \frac{0 + f_0}{H_{0I} + 0}$$

$$\pi_{II} = \frac{f + f_0}{H_{0II} + \eta} \approx \frac{f + f}{H_{0II}}$$

$$\pi_I = \pi_{II} \Rightarrow \frac{f}{H_{0II}} = \frac{f_0}{H_{0I}} - \frac{f_0}{H_{0II}} \Rightarrow f = f_0 \left[\frac{H_{0II}}{H_{0I}} - 1 \right]$$

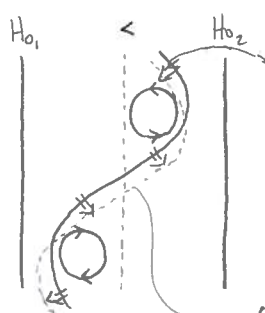
p. 88

$$f < 0 \Rightarrow \text{no HN} \rightarrow \text{Q}$$



o mecanismo restaurador e a conservação da VP, portanto a ORT é chamada

ONDA DE VORTICIDADE



o movimento dessa linha imaginária é associada à propagação da Onda de Rossby Topográfica

ORT propagando-se com a menor prof. a sua direita (HN)

7.11 SOLUÇÃO ONDULATÓRIA : PLANO β

No plano β , a Eq VPQG fica:

$$\beta' = \frac{L^2}{U} \beta$$

$$\left(\frac{f_0}{H_0} \frac{\partial}{\partial t} + \frac{\partial \eta'_0}{\partial x'} \frac{\partial}{\partial y'} - \frac{\partial \eta'_0}{\partial y'} \frac{\partial}{\partial x'} \right) \left(\nabla'^2 \eta'_0 - F \eta'_0 + \eta'_B + \beta' y' \right) = 0 \quad (7.151)$$

Por simplicidade, $\eta'_B = 0 \Rightarrow$ não há onda topográfica.

Nesse caso, (7.136) em (7.151), conduz a:

$$\omega' = - \frac{\beta' k'}{k'^2 + l'^2 + F}$$

Relação de dispersão para ondas de Rossby Planetárias

Obs: Há uma similaridade dinâmica entre o gradiente topográfico $\left(\frac{\partial \eta'_B}{\partial x}, \frac{\partial \eta'_B}{\partial y} \right)$ e o gradiente planetário $\left(\beta = \frac{\partial f}{\partial y} \right)$

$$(7.144) \text{ para } \frac{\partial \eta'_B}{\partial x'} = 0 \Rightarrow \omega' = - \frac{f_0}{|f_0|} \frac{\frac{\partial \eta'_B}{\partial y'} k'}{k'^2 + l'^2 + F} = - \frac{f_0}{|f_0|} \frac{GDT k'}{k'^2 + l'^2 + F} \quad \boxed{\text{p. 89}}$$

$\frac{\partial \eta'_B}{\partial x'}$ é análogo ao $\frac{\partial f}{\partial y'}$

$$(7.152) \Rightarrow \omega' = - \frac{GDT k'}{k'^2 + l'^2 + F}$$

Nesse caso a geração de vorticidade relativa não se dá por estiramento do tubo de vórtice, mas devida ao gradiente planetário, ou seja, movimentos meridionais da partícula no plano β .

2 MECANISMOS $\left\{ \begin{array}{l} \text{Efeito Topográfico} \Rightarrow \text{Ondas de Rossby Topográficas} \\ \text{Efeito } \beta \Rightarrow \text{Ondas de Rossby Planetárias} \end{array} \right.$

Velocidade de fase:

$$C'_x = \frac{\omega'}{k'} = - \frac{\beta'}{k'^2 + l'^2 + F} \quad (7.153)$$

$$\Rightarrow C'_x < 0 \text{ sempre!}$$

ORP sempre propaga fase para OESTE!

$$C'_y = \frac{\omega'}{l'} = - \frac{\beta' \frac{k'}{l'}}{k'^2 + l'^2 + F} \geq 0 \quad \text{Não tem preferência de propagação meridional}$$

Velocidade de Grupo:

$$C'_{gx} = \frac{\partial \omega'}{\partial k} = \frac{\beta' (k'^2 - l'^2 - F)}{(k'^2 + l'^2 + F)^2} \quad (7.154)$$

$$C'_{gy} = \frac{\partial \omega'}{\partial l} = \frac{2\beta' k' l'}{(k'^2 + l'^2 + F)^2}$$

OBS 1) ORP é dispersiva (ORT também é)

$$2) C'_{gx} \geq 0 \begin{cases} \rightarrow k'^2 > l'^2 + F \Rightarrow C'_{gx} > 0 \Rightarrow \text{Onda curta de Rossby} \\ \rightarrow k'^2 < l'^2 + F \Rightarrow C'_{gx} < 0 \Rightarrow \text{Onda longa de Rossby} \end{cases}$$

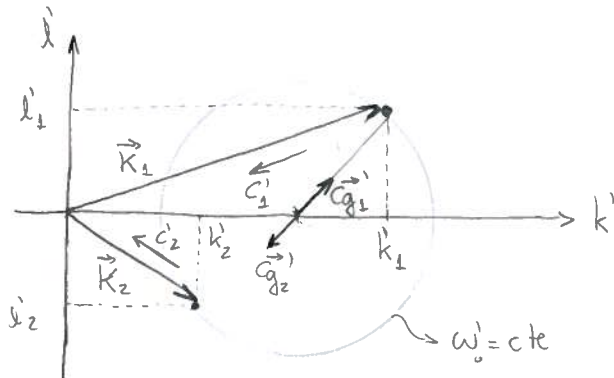
$$3) |\vec{C}_{gx}| \leq |C_x|$$

p. 90

$$4) \frac{C_{gy}}{C_y} = -\frac{2l'^2}{k'^2 + l'^2 + F} < 0 \Rightarrow \begin{array}{|l} \text{Cristas para o Norte, Energia para o SUL!} \\ \text{Cristas para o SUL, Energia para o NORTE!} \end{array}$$

Outra forma de (7.152)

$$\left(k' - \frac{\beta'}{-2\omega'}\right)^2 + l'^2 = \frac{\beta'^2}{4\omega'^2} - F \quad (7.163) \Rightarrow \text{Eq de Circunferência no plano } k', l'$$



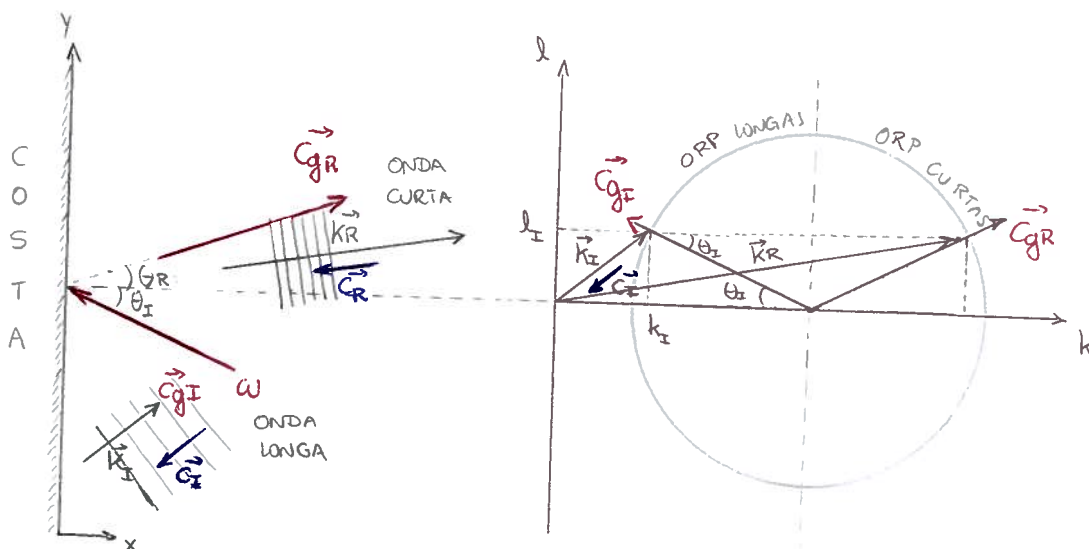
$$\text{CENTRO: } k' = \frac{\beta'}{-2\omega'} \text{ e } l' = 0$$

$$\text{RAIO: } \sqrt{\frac{\beta'^2}{4\omega'^2} - F}$$

$$\vec{C}_g = \nabla_k \omega$$

Todos os k', l' capazes de formar uma onda de frequência ω_0 estão contidos na circunferência referente a ω_0 .

As ondas \vec{K}_1 e \vec{K}_2 tem frequência ω_0 e existem infinitas outras!



→ Velocidade de fase sempre para OESTE!

→ Meridionalmente, as velocidades de grupo sempre se opõem!

7.3 EQUAÇÃO DA VORTICIDADE POTENCIAL

p.75

para λ podemos usar a função de status, que é conservativa.

Nesse caso:

$$\frac{d\pi}{dt} = \frac{d}{dt} \left(\frac{\vec{u}_a}{c} \cdot \nabla \lambda \right) = 0$$

Substituindo λ pela função de status:

$$\boxed{\frac{d}{dt} \left(\frac{J+f}{H} \right) = 0} \quad (7.34)$$

Vorticidade Potencial no Modelo de Águas Rasas $\rightarrow \frac{J+f}{H}$

7.4 LINEARIZAÇÃO

Fazendo: $H(x, y, t) = H_0(x, y) + \eta(x, y, t)$

As condições para a linearização de (7.16), (7.17) e (7.23) são:

$$\eta \ll H_0 \quad (7.37)$$

$$\frac{\partial \vec{\omega}_H}{\partial t} \gg (\vec{\omega}_H \cdot \nabla) \vec{\omega}_H \quad (7.38)$$

Nesse caso:

$$(7.16) \Rightarrow \frac{\partial u}{\partial t} - f v = -g \frac{\partial \eta}{\partial x} \quad (7.39)$$

$$(7.17) \Rightarrow \frac{\partial v}{\partial t} + f u = -g \frac{\partial \eta}{\partial y} \quad (7.40)$$

$$(7.23) \Rightarrow \frac{\partial \eta}{\partial t} + \frac{\partial}{\partial x} (H_0 u) + \frac{\partial}{\partial y} (H_0 v) = 0 \quad (7.41)$$

Na forma de transporte por unidade de distância:

p. 76

$$\vec{W} = u H_0 \vec{i} + v H_0 \vec{j} = U \vec{i} + V \vec{j} \quad (7.42)$$

Resolver as equações linearizadas em função de transporte:

$$\frac{\partial u}{\partial t} - f v = -g H_0 \frac{\partial \eta}{\partial x} \quad (7.43) \quad 3 \text{ eqs} + 3 \text{ incs}$$

$$\frac{\partial v}{\partial t} + f u = -g H_0 \frac{\partial \eta}{\partial y} \quad (7.44)$$

$$\frac{\partial \eta}{\partial t} + \frac{\partial u}{\partial x} + \frac{\partial v}{\partial y} = 0 \quad (7.45)$$

Combimando (7.43) a (7.45), no plano f:

$$\frac{\partial}{\partial t} \left[\left(\frac{\partial^2}{\partial t^2} + f^2 \right) \eta - \nabla \cdot (g H_0 \nabla \eta) \right] - f \cdot g J(H_0, \eta) = 0 \quad (7.26)$$

↓
Equação de onda

$$1 \text{ eq} + 1 \text{ inc}, \text{ onde } J(A, B) = \frac{\partial A}{\partial x} \frac{\partial B}{\partial y} - \frac{\partial A}{\partial y} \frac{\partial B}{\partial x}$$

De (7.39) e (7.40)

$$\left(\frac{\partial^2}{\partial t^2} + f^2 \right) u = -g \left(\frac{\partial}{\partial t} \frac{\partial \eta}{\partial x} + f \frac{\partial \eta}{\partial y} \right) \quad (7.48)$$

$$\left(\frac{\partial^2}{\partial t^2} + f^2 \right) v = -g \left(\frac{\partial}{\partial t} \frac{\partial \eta}{\partial y} + f \frac{\partial \eta}{\partial x} \right) \quad (7.49)$$

7.6 MOVIMENTO GEOSTRÓFICO

$$\frac{\partial}{\partial t} = 0 \text{ em } (7.48) \text{ e } (7.49) \Rightarrow$$

$$u = - \frac{g}{f} \frac{\partial \eta}{\partial y} \quad (7.50)$$

$$v = \frac{g}{f} \frac{\partial \eta}{\partial x} \quad (7.51)$$

No Modelo de Águas Rasas (M.A.R.)
inviscido, as soluções estacionárias
correspondem ao Movimento Geostro-
fico.

de (7.50) e (7.51):

p 77

$$\mu \frac{\partial \eta}{\partial x} + \nu \frac{\partial \eta}{\partial y} = 0, \text{ ou } \vec{\Omega}_H \cdot \nabla \eta = 0$$

$\Rightarrow \vec{\Omega}_H \parallel$ isolinhas de $\eta \Rightarrow$ isolinhas de η são linhas de corrente no movimento geostrófico no M.A.R. inviscido e barotrópico.

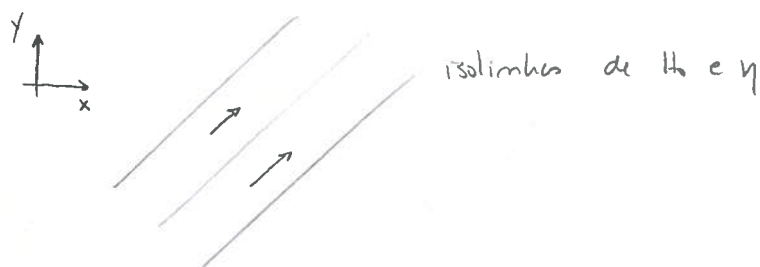
$$\frac{\partial}{\partial t} = 0 \text{ em (7.46):}$$

$$J(H_0, \eta) = 0 \quad (7.53)$$

$$\frac{\partial H_0}{\partial x} \frac{\partial \eta}{\partial y} - \frac{\partial H_0}{\partial y} \frac{\partial \eta}{\partial x} = 0 \Rightarrow \frac{\frac{\partial H_0}{\partial x}}{\frac{\partial H_0}{\partial y}} = - \frac{\frac{\partial \eta}{\partial x}}{\frac{\partial \eta}{\partial y}}$$

$$\Rightarrow \left(\frac{\partial \eta}{\partial x} \right)_{H_0} = \left(\frac{\partial \eta}{\partial x} \right)_{\eta} \quad (7.54)$$

Isto é, isolinhas de H_0 e η são paralelas



7.6 ONDAS DE GRAVIDADE

Para um oceano horizontalmente infinito, com $h_B = 0$, no plano f, a solução ondulatória da eq (7.46) é:

$$\eta = \text{Re} [\eta_0 e^{i(kx + ly - \omega t)}] \quad (7.55)$$

Introduzindo (7.55) na eq de onda (7.46), a relação de dispersão é:

$$\omega^2 = f^2 + g H_0 (k^2 + l^2)$$

(7.56)

p. 78

Isto é, a solução ondulatória no plano f , para $h_B = 0$, e a onda de Poicarté

7.7 EFEITOS DE UM CONTORNO LATERAL: Horizontalmente semi-infinito

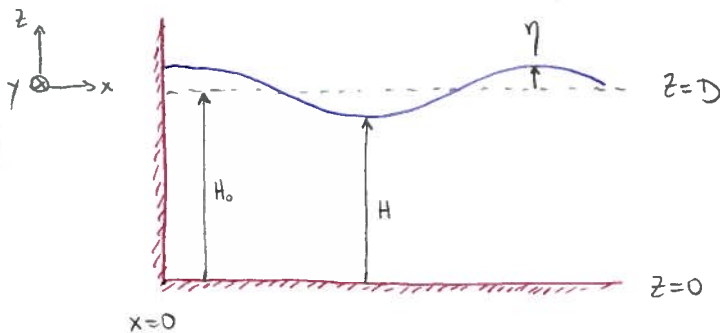
ONDAS DE GRAVIDADE

p/ $H_0 = \text{cte}$ ($h_B = 0$), (7.46) fica:

$$\left(\frac{\partial^2}{\partial t^2} + f^2\right)\eta - g H_0 \nabla^2 \eta = 0 \quad (7.57)$$

Condição de contorno lateral:

$$u = 0 \quad \text{em } x = 0 \quad (7.58)$$



Solução ondulatória: $\eta = \text{Re}[\eta_0(x) \cdot e^{i(l y - \omega t)}]$ (7.59)

(7.59) em (7.57):
$$\frac{d^2 \eta_0}{dx^2} + \left(\frac{\omega^2 - f^2}{g H_0} - l^2\right) \eta_0 = 0 \quad (7.60)$$

(7.59) em (7.58), usando (7.48) para passar a c.c. para funções de η

$$\frac{d\eta_0}{dx} - \frac{f_0 l}{\omega} \eta_0 = 0 \quad \text{em } x = 0 \quad (7.61)$$

1º CASO: $(1) \geq 0$: $\eta_0 = a e^{i \alpha x} + b e^{-i \alpha x}$ (7.62), onde $\alpha = \left(\frac{\omega^2 - f^2}{g H_0} - l^2\right)^{1/2} \in \mathbb{R}$

↳ superposição

(7.62) em (7.61): $a = \frac{\alpha \omega - i f_0 l}{\alpha \omega + i f_0 l} b$ (7.63) (7.62a)

(7.63) em (7.62), usando (7.55):

$$\eta = b \cos(-\alpha x + l y - \omega t) + b \cos(\alpha x + l y - \omega t - \frac{2 f_0 l}{\alpha \omega}) \quad (7.64)$$

A solução (7.64) representa a superposição de duas ondas

A onda incidente $\propto \cos(-\alpha x + ly - \omega t)$, pois $k < 0$

p. 79

A onda refletida $\propto \cos(\alpha x + ly - \omega t - \frac{2fl}{\alpha\omega})$, pois $k > 0$

Note que há uma diferença de fase entre a onda incidente e a onda refletida, devido ao termo $-\frac{2fl}{\alpha\omega}$ na onda refletida

Isso é chamado de ROTATIONAL SPLITTING. Não é possível gerar uma onda estacionária dessa forma.

de (7.62a): $\boxed{\omega^2 = f^2 + gH_0(\alpha^2 + l^2)}$ (7.65)

Onda de Poicaré com contorno lateral

(sobreposição de 2 ondas de poicare)

2º CASO: $() < 0 \Rightarrow \frac{\omega^2 - f^2}{gH_0} - l^2 < 0 \Rightarrow \omega^2 < f^2 + gH_0 l^2$

\hookrightarrow onda subinercial...

(7.60) $\Rightarrow \eta_0 = ae^{\gamma x} + be^{-\gamma x}$ (7.66) onde $\gamma = \left(\frac{f^2 - \omega^2}{gH_0} + l^2 \right)^{1/2} \in \mathbb{R}$ (7.67)

(7.66) em (7.61): $a(\gamma\omega - fl) - b(\gamma\omega + fl) = 0$ (7.68)

Para uma solução não-trivial:

$$\begin{cases} a=0 & \text{e } \gamma\omega + fl = 0 & (1^\circ) \\ \text{ou} \\ b=0 & \text{e } \gamma\omega - fl = 0 & (2^\circ) \end{cases}$$

Ambas conduzem à mesma solução. Tomando a 1ª

$\gamma\omega + fl = 0 \Rightarrow \omega = -\frac{fl}{\gamma}$ (7.69)

$a=0 \Rightarrow \eta_0 = be^{-\gamma x}$ (7.70)

$$\omega^4 - (f_0^2 + gH_0 l^2) \omega^2 + f_0^2 l^2 gH_0 = 0 \quad (7.71)$$

$$\Rightarrow \begin{cases} \omega^2 = f_0^2 & (7.72) \\ \omega^2 = gH_0 l^2 & (7.73) \end{cases} \rightarrow \text{movimento inercial}$$

(7.73) corresponde a uma onda de gravidade longa com propagação na direção y , ou seja, paralela à costa. Introduzindo (7.69) e (7.70) em (7.59) e daí, introduzindo em (7.48) e (7.49):

$$u = 0 \quad (7.74)$$

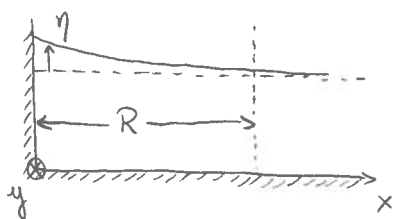
$$v = \frac{g\eta_0 l}{\omega} b e^{\frac{f_0 l}{\omega} x} \cos(l y - \omega t) \quad (7.75)$$

$$\eta = b e^{\frac{f_0 l}{\omega} x} \cos(l y - \omega t) \quad (7.76)$$

De (7.76), fisicamente é necessário que $\frac{f_0 l}{\omega} < 0$, para obter uma exponencial decrescente em x .

$$\Downarrow \\ f_0 l < 0$$

HN \rightarrow	$l < 0$
HS \rightarrow	$l > 0$



Essa onda é unidimensional, propaga-se com a costa à sua direita (esquerda) no HN (HS).

Em $x=0$, a amplitude é b . A distância da costa em que a amplitude é $\frac{b}{e}$ (escala de decaimento exponencial) é R , o raio de deformação de Rossby $= \frac{\sqrt{gH_0}}{f_0}$. Isto é, essa onda fica confinada entre a costa e distâncias da $O(R)$.

De (7.75) e (7.76) :

p. 81

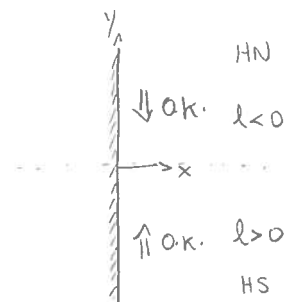
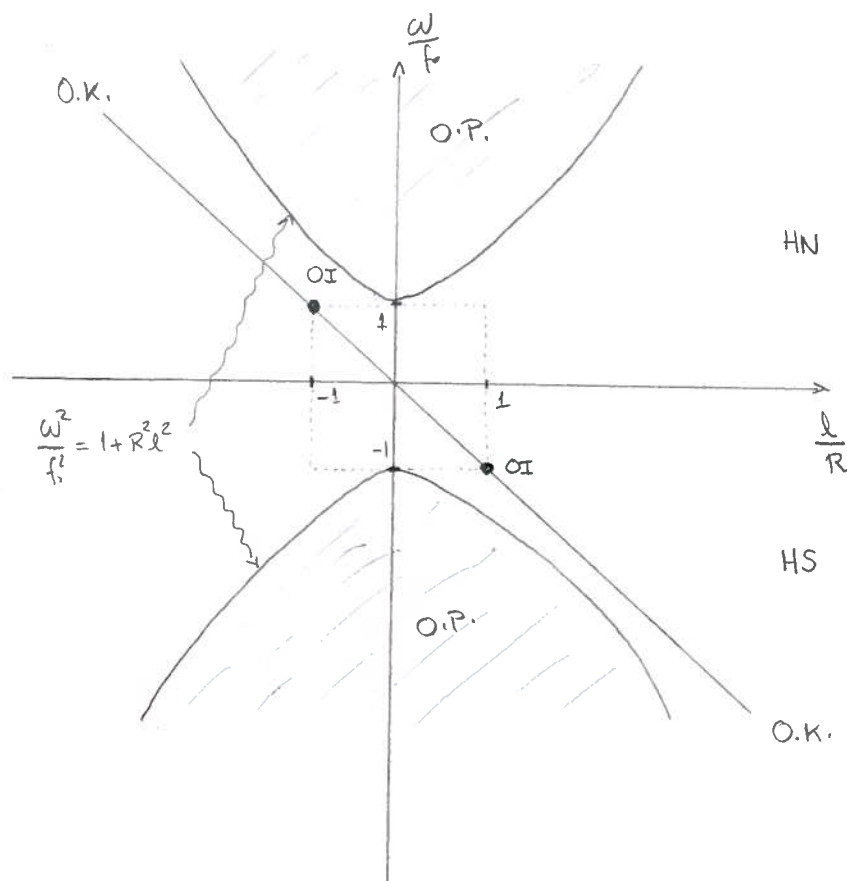
$$-f \cdot v = -g \frac{\partial \eta}{\partial x} \quad (7.77)$$

Isto é, a componente de velocidade paralela à costa é quadrática

A onda que tem todos esses característicos reunidos é chamada de **ONDA DE KELVIN**

A onda de Kelvin é a onda que transporta a maior parte da energia dos mares na plataforma continental.

24/05/07



OI = Oscilação Inicial

Usada para filtrar das soluções as ondas de gravidade

Lembrar: $H_0(x, y) = D - h_B(x, y)$ (7.109)

$$H(x, y, t) = H_0(x, t) + \eta(x, y, t)$$

Daí,

$$H = D + \eta - h_B = D \left(1 + \frac{\eta}{D} - \frac{h_B}{D} \right) \quad (7.114)$$

$$\Rightarrow H = D \underbrace{\left(1 + \varepsilon \frac{L^2}{R^2} \eta' - \frac{h_B}{D} \right)}_{H'} \quad (7.115)$$

$H' \rightarrow$ escrevendo o H na forma não-dimensional

Reescrevendo (7.16), (7.17) e (7.23) na forma não-dimensional:

$$\varepsilon_t \frac{\partial u'}{\partial t'} + \varepsilon \left(u' \frac{\partial u'}{\partial x'} + v' \frac{\partial u'}{\partial y'} \right) - \frac{f}{|f|} v' = - \frac{\partial \eta'}{\partial x'} \quad (7.117) \quad \text{onde } F = \frac{f^2 L^2}{gD} = \left(\frac{L}{R} \right)^2$$

$$(7.120)$$

$$\varepsilon_t \frac{\partial v'}{\partial t'} + \varepsilon \left(u' \frac{\partial v'}{\partial x'} + v' \frac{\partial v'}{\partial y'} \right) + \frac{f}{|f|} u' = - \frac{\partial \eta'}{\partial y'} \quad (7.118)$$

$$\varepsilon_t F \frac{\partial \eta'}{\partial t'} + \varepsilon F \left(u' \frac{\partial \eta'}{\partial x'} + v' \frac{\partial \eta'}{\partial y'} \right) - u' \frac{\partial}{\partial x'} \left(\frac{h_B}{D} \right) - v' \frac{\partial}{\partial y'} \left(\frac{h_B}{D} \right) + \left(1 + \varepsilon F \eta' - \frac{h_B}{D} \right) \dots$$

$$\dots \left(\frac{\partial u'}{\partial x'} + \frac{\partial v'}{\partial y'} \right) = 0 \quad (7.119)$$

Assumiremos $\frac{\varepsilon_t}{\varepsilon} = O(1)$ (7.121)

MÉTODO DE ANÁLISE ASSINTÓTICA

Usado quando há um estado básico de magnitude maior que pequenas perturbações

- 1) Escreva as equações na forma não dimensional
(7.117) - (7.119)
- 2) Identificar um coeficiente $\ll 1 \Rightarrow \varepsilon_t$ ou ε , escolhemos ε
- 3) Expandir as variáveis (incógnitas) em séries de potência usando o coeficiente $\ll 1$
- 4) Colecionar, nas equações, os termos de mesma ordem

Passo 3

$u' = u'(x', y', t', \varepsilon) \rightarrow$ reconhecendo que u' é fn de ε

$$u'(x', y', t', \varepsilon) = \underbrace{u'_0(x', y', t')}_{\text{quadrático}} + \underbrace{\varepsilon u'_1(x', y', t')}_{\substack{\text{perturbação} \\ \text{de} \\ \text{ordem } \varepsilon}} + \underbrace{\varepsilon^2 u'_2(x', y', t')}_{\substack{\text{perturbação} \\ \text{de} \\ \text{ordem } \varepsilon^2}} + \dots$$

$$u'_0 = O(1), \quad u'_1 = O(1), \quad u'_2 = O(1), \dots \quad (7.122)$$

Se $\varepsilon = 0 \Rightarrow$ velocidade puramente quadrática

$$v'(x', y', t', \varepsilon) = v'_0(x', y', t') + \varepsilon v'_1(x', y', t') + \varepsilon^2 v'_2(x', y', t') + \dots$$

$$\eta'(x', y', t', \varepsilon) = \eta'_0(x', y', t') + \varepsilon \eta'_1(x', y', t') + \varepsilon^2 \eta'_2(x', y', t') + \dots$$

Passo 4 \rightarrow tem que haver balanço entre os termos de mesma ordem

Exemplo: (7.117) \rightarrow

$$\begin{aligned} & \varepsilon_t \frac{\partial}{\partial t'} (u'_0 + \varepsilon u'_1 + \varepsilon^2 u'_2 + \dots) + \varepsilon \left[(u'_0 + \varepsilon u'_1 + \varepsilon^2 u'_2 + \dots) \frac{\partial}{\partial x'} (u'_0 + \varepsilon u'_1 + \varepsilon^2 u'_2 + \dots) + \dots \right. \\ & \left. \dots + (v'_0 + \varepsilon v'_1 + \varepsilon^2 v'_2 + \dots) \frac{\partial}{\partial y'} (u'_0 + \varepsilon u'_1 + \varepsilon^2 u'_2 + \dots) - \frac{f}{1\beta} (v'_0 + \varepsilon v'_1 + \varepsilon^2 v'_2 + \dots) \right] = \dots \end{aligned}$$

$$\dots = -\frac{\partial}{\partial x'} (\eta'_0 + \varepsilon \eta'_1 + \varepsilon^2 \eta'_2 + \dots)$$

784

A soma dos termos $O(1)$ tem que ser $= 0$

A soma dos termos $O(\varepsilon)$ tem que ser $= 0$

A soma dos termos $O(\varepsilon^2)$ tem que ser $= 0 \dots$

Começando pelos termos de $O(1)$:

$$\begin{aligned} -\frac{f}{|f|} \eta'_0 &= -\frac{\partial \eta'_0}{\partial x'} \\ \frac{f}{|f|} \eta'_0 &= -\frac{\partial \eta'_0}{\partial y'} \end{aligned}$$

(7.124)

(7.125)

→ Balanço de $O(1)$ é o balanço geostrófico

$$-\eta'_0 \frac{\partial}{\partial x'} \left(\frac{h_B}{D} \right) - \eta'_0 \frac{\partial}{\partial y'} \left(\frac{h_B}{D} \right) + \left(\frac{\partial \eta'_0}{\partial x'} + \frac{\partial \eta'_0}{\partial y'} \right) - \frac{h_B}{D} \left(\frac{\partial \eta'_0}{\partial x'} + \frac{\partial \eta'_0}{\partial y'} \right) = 0 \quad (7.126)$$

Assumindo que a topografia é uma perturbação em relação a espessura da coluna de água H .



$$\Rightarrow h_B \ll D \Rightarrow \frac{h_B}{D} \ll 1 =$$



$$\Rightarrow \frac{h_B}{D} = \varepsilon \eta'_B$$

Nesse caso, (7.126) \Rightarrow

$$\frac{\partial \eta'_0}{\partial x'} + \frac{\partial \eta'_0}{\partial y'} = 0 \quad (7.128)$$

Isto é, em $O(1)$ o movimento é geostrófico (eqs 7.124 e 7.125) e não-divergente (eq. 7.128)

Além disso, o sistema é indeterminado, pois há 3 incógnitas $(\eta'_0, \eta'_1, \eta'_2)$ e 2 equações, pois 7.128 pode ser obtida com uma

combinações lineares de (7.124) e (7.125)

p. 85

Termos de $O(\epsilon)$:

$$\frac{\partial u_0'}{\partial t'} + u_0' \frac{\partial u_0'}{\partial x'} + v_0' \frac{\partial u_0'}{\partial y'} - \frac{f}{|f|} v_0' = - \frac{\partial \eta_1'}{\partial x'} \quad (7.129)$$

$$\frac{\partial v_0'}{\partial t'} + u_0' \frac{\partial v_0'}{\partial x'} + v_0' \frac{\partial v_0'}{\partial y'} + \frac{f}{|f|} u_0' = - \frac{\partial \eta_1'}{\partial y'} \quad (7.130)$$

$$F \left(\frac{\partial \eta_0'}{\partial t'} + u_0' \frac{\partial \eta_0'}{\partial x'} + v_0' \frac{\partial \eta_0'}{\partial y'} \right) - u_0' \frac{\partial \eta_1'}{\partial x'} - v_0' \frac{\partial \eta_1'}{\partial y'} + \left(\frac{\partial u_1'}{\partial x'} + \frac{\partial v_1'}{\partial y'} \right) = 0 \quad (7.131)$$

Velocidades de $O(\epsilon)$: u_1' e v_1' são chamadas de VELOCIDADES AGEOSTRÓFICAS

O que impede o Balanço Geostrófico em $O(\epsilon)$ é a variação local e advecção da Velocidade Geostrófica de $O(1)$?

A aceleração total da Velocidade de $O(1)$ é o que impede a subsistência de $O(\epsilon)$ de ser geostrófica!

Combinaando (7.129) e (7.130), podemos obter a equação da vorticidade em $O(\epsilon)$:

$$\boxed{\frac{\partial \zeta_0'}{\partial t'} + u_0' \frac{\partial \zeta_0'}{\partial x'} + v_0' \frac{\partial \zeta_0'}{\partial y'} = - \frac{f_0}{|f_0|} \left(\frac{\partial u_1'}{\partial x'} + \frac{\partial v_1'}{\partial y'} \right)} \quad (7.133)$$

onde: $\zeta_0' = \frac{\partial v_0'}{\partial x'} - \frac{\partial u_0'}{\partial y'} = \frac{f_0}{|f_0|} \nabla^2 \eta_0'$ (7.132)



Eq da vorticidade quase-geostrófica num modelo de águas rasas

Invíscido e Barotrópico, na forma não dimensional

→ O mecanismo que pode modificar a vorticidade relativa de $O(1)$ é a divergência da velocidade de $O(\varepsilon)$.

Usando (7.131) para eliminar o divergente de (7.133):

$$\left(\frac{\partial}{\partial t} + \frac{f_0}{|f|} \frac{\partial \eta'_0}{\partial x} \frac{\partial}{\partial y} - \frac{f_0}{|f|} \frac{\partial \eta'_0}{\partial y} \frac{\partial}{\partial x} \right) \left(\frac{f_0}{|f|} \nabla^2 \eta'_0 - \frac{f_0}{|f|} F \eta'_0 + \frac{f_0}{|f|} \eta'_B \right) = 0 \quad (7.135)$$

Eq da Vorticidade Potencial quase-geostrófica no modelo de Água rasa invíscida e homogênea, na forma não-dimensional.

Agora o problema está fechado, pois (7.135) só tem 1 incógnita η'_0

29/05

(7.135) → é uma equação de onda ... achemos outras soluções para ela

7.9 MOVIMENTO QG ESTACIONÁRIO

$$\frac{\partial}{\partial t} = 0 \Rightarrow (7.135) \Rightarrow \text{MOVIMENTO GEOSTRÓFICO}$$

$$\Rightarrow u'_0, v'_0; \text{ com } \vec{v}'_0 \parallel \eta'_0 \text{ e } \eta'_B$$

7.10 SOLUÇÃO ONDULATÓRIA: PLANO f

$$\text{Solução harmônica: } \eta'_0 = \text{Re} [\hat{\eta}' e^{i(kx + ly - \omega t)}] \quad (7.136)$$

p/ oceano horizontalmente infinito

$$(7.136) \text{ em } (7.135): \quad \omega' = - \frac{f_0}{|f|} \frac{k' \frac{\partial \eta'_0}{\partial y} - l' \frac{\partial \eta'_0}{\partial x}}{k'^2 + l'^2 + F} \quad (7.144)$$

Relação de dispersão para ondas de Rossby Topográficas

Obs 1) As ondas de gravidade foram filtradas.

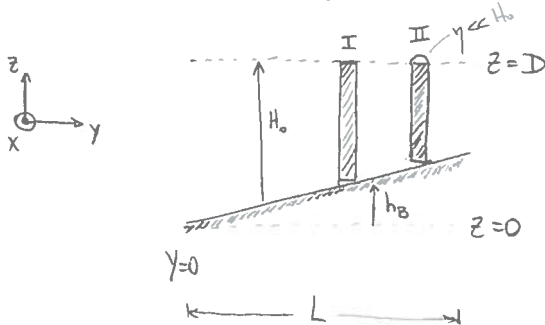
p. 87

2) Soluções para onda não-linear.

3) ORT só existe na presença de um gradiente topográfico

$$\left(\frac{\partial \eta'_B}{\partial y'} \neq 0 \text{ ou } \frac{\partial \eta'_B}{\partial x} \neq 0 \right)$$

Ex: $H_0 = D(1 - sy)$, $s > 0$



Em (7.144), $\frac{\partial \eta'_B}{\partial x} = 0$

$h_B = sy$, (7.144) na forma dimensional:

$$\omega = - \frac{s f_0}{L} \frac{k}{k^2 + l^2 + \frac{f_0^2}{g H_0}} \quad (7.147)$$

Velocidade de Fase:

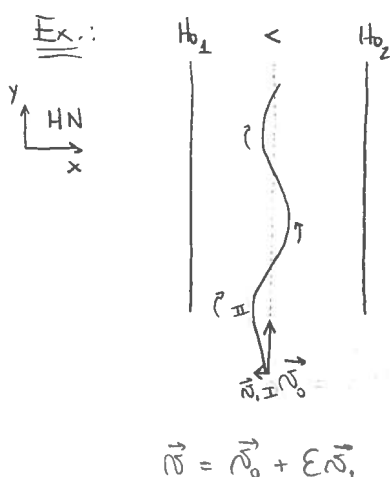
$$C_x = \frac{\omega}{k} = - \frac{s f_0}{L} \frac{1}{k^2 + l^2 + \frac{f_0^2}{g H_0}}$$

o sinal de C_x depende de s e f , a onda é unidirecional!

	HN	HS
$s > 0$	$C_x < 0$	$C_x > 0$
$s < 0$	$C_x > 0$	$C_x < 0$

Assim, a ORT é também unidirecional.

Propaga-se com a menor profundidade a sua direita (esquerda) no HN (HS)



Se a coluna de água é trazida para uma região mais rasa, ganha VORTICIDADE RELATIVA NEGATIVA (Horária)

Conservação de VP $\Rightarrow \pi = \frac{f + f_0}{H_0 + \eta} = \text{cte}$

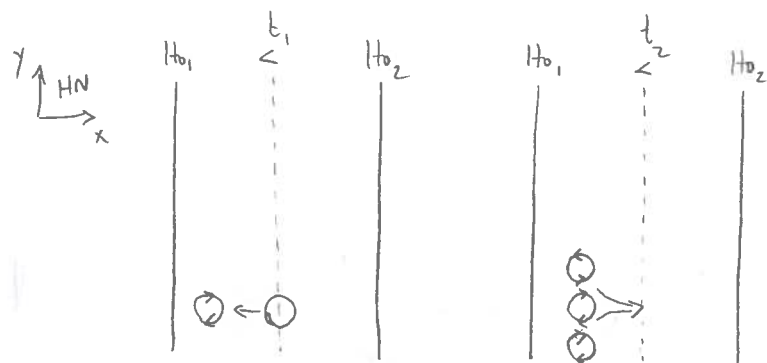
$$\pi_I = \frac{0 + f_0}{H_{0I} + 0}$$

$$\pi_{II} = \frac{f + f_0}{H_{0II} + \eta} \approx \frac{f + f}{H_{0II}}$$

$$\pi_I = \pi_{II} \Rightarrow \frac{f}{H_{0II}} = \frac{f_0}{H_{0I}} - \frac{f_0}{H_{0II}} \Rightarrow f = f_0 \left[\frac{H_{0II}}{H_{0I}} - 1 \right]$$

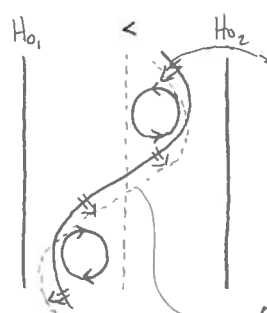
p. 88

$$f < 0 \Rightarrow \text{no HN} \rightarrow \text{Q}$$



o mecanismo restaurador e a conservação da VP, portanto a ORT é chamada

ONDA DE VORTICIDADE



o movimento dessa linha imaginária é associada à propagação da Onda de Rossby Topográfica

ORT propagando-se com a menor prof. a sua direita (HN)

7.11 SOLUÇÃO ONDULATÓRIA: PLANO β

No plano β , a Eq VPQG fica:

$$\beta' = \frac{L^2}{U} \beta$$

$$\left(\frac{f_0}{H_0} \frac{\partial}{\partial t} + \frac{\partial \eta'_0}{\partial x'} \frac{\partial}{\partial y'} - \frac{\partial \eta'_0}{\partial y'} \frac{\partial}{\partial x'} \right) \left(\nabla'^2 \eta'_0 - F \eta'_0 + \eta'_B + \beta' y' \right) = 0 \quad (7.151)$$

Por simplicidade, $\eta'_B = 0 \Rightarrow$ não há onda topográfica.

Nesse caso, (7.136) em (7.151), conduz a:

$$\omega' = - \frac{\beta' k'}{k'^2 + l'^2 + F}$$

Relação de dispersão para ondas de Rossby Planetárias

Obs: Há uma similaridade dinâmica entre o gradiente topográfico $\left(\frac{\partial \eta'_B}{\partial x}, \frac{\partial \eta'_B}{\partial y} \right)$ e o gradiente planetário $\left(\beta = \frac{\partial f}{\partial y} \right)$

$$(7.144) \text{ para } \frac{\partial \eta'_B}{\partial x'} = 0 \Rightarrow \omega' = - \frac{f_0}{|f_0|} \frac{\frac{\partial \eta'_B}{\partial y'} k'}{k'^2 + l'^2 + F} = - \frac{f_0}{|f_0|} \frac{GDT k'}{k'^2 + l'^2 + F} \quad \boxed{\text{p. 89}}$$

$\frac{\partial \eta'_B}{\partial x'}$ é análogo ao $\frac{\partial f}{\partial y'}$

$$(7.152) \Rightarrow \omega' = - \frac{GDT k'}{k'^2 + l'^2 + F}$$

Nesse caso a geração de vorticidade relativa não se dá por estiramento do tubo de vórtice, mas devida ao gradiente planetário, ou seja, movimentos meridionais da partícula no plano β .

2 MECANISMOS $\left\{ \begin{array}{l} \text{Efeito Topográfico} \Rightarrow \text{Ondas de Rossby Topográficas} \\ \text{Efeito } \beta \Rightarrow \text{Ondas de Rossby Planetárias} \end{array} \right.$

Velocidade de fase:

$$C'_x = \frac{\omega'}{k'} = - \frac{\beta'}{k'^2 + l'^2 + F} \quad (7.153)$$

$$\Rightarrow C'_x < 0 \text{ sempre!}$$

ORP sempre propaga fase para OESTE!

$$C'_y = \frac{\omega'}{l'} = - \frac{\beta' \frac{k'}{l'}}{k'^2 + l'^2 + F} \geq 0 \quad \text{Não tem preferência de propagação meridional}$$

Velocidade de Grupo:

$$C'_{gx} = \frac{\partial \omega'}{\partial k} = \frac{\beta' (k'^2 - l'^2 - F)}{(k'^2 + l'^2 + F)^2} \quad (7.154)$$

$$C'_{gy} = \frac{\partial \omega'}{\partial l} = \frac{2\beta' k' l'}{(k'^2 + l'^2 + F)^2}$$

OBS 1) ORP é dispersiva (ORT também é)

$$2) C'_{gx} \geq 0 \begin{cases} \rightarrow k'^2 > l'^2 + F \Rightarrow C'_{gx} > 0 \Rightarrow \text{Onda curta de Rossby} \\ \rightarrow k'^2 < l'^2 + F \Rightarrow C'_{gx} < 0 \Rightarrow \text{Onda longa de Rossby} \end{cases}$$

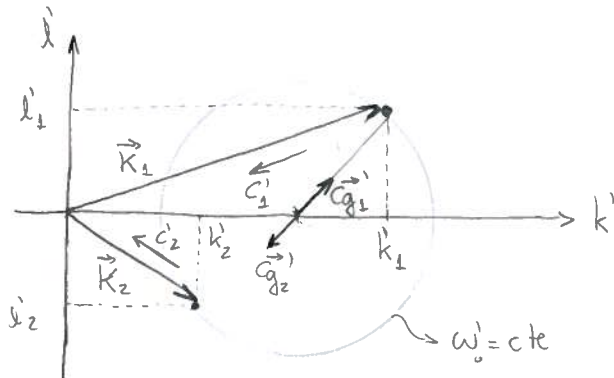
$$3) |\vec{C}_{gx}| \leq |C_x|$$

p. 90

$$4) \frac{C_{gy}}{C_y} = -\frac{2l'^2}{k'^2 + l'^2 + F} < 0 \Rightarrow \begin{array}{|l} \text{Cristas para o Norte, Energia para o SUL!} \\ \text{Cristas para o SUL, Energia para o NORTE!} \end{array}$$

Outra forma de (7.152)

$$\left(k' - \frac{\beta'}{-2\omega'}\right)^2 + l'^2 = \frac{\beta'^2}{4\omega'^2} - F \quad (7.163) \Rightarrow \text{Eq de Circunferência no plano } k', l'$$



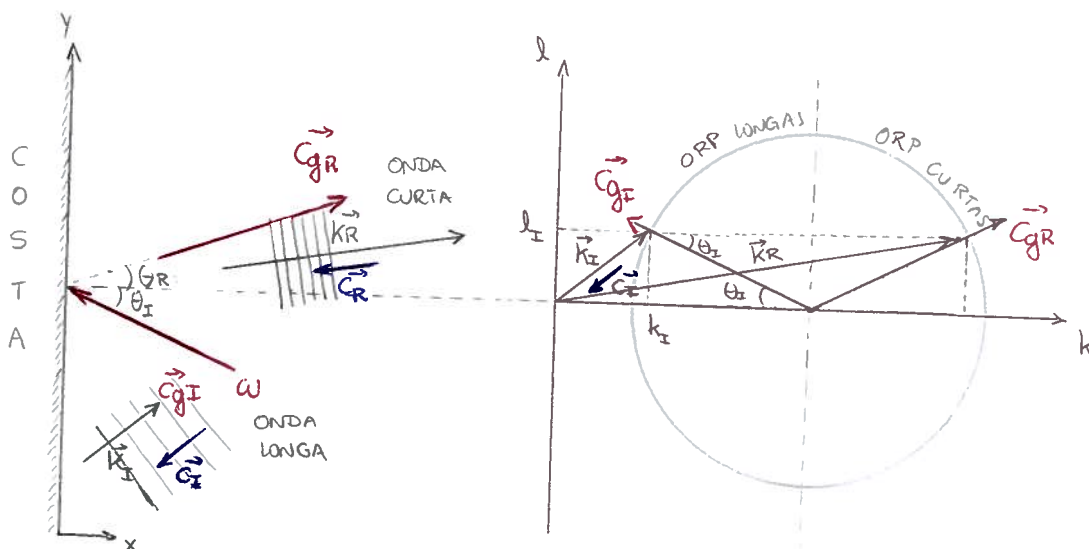
$$\text{CENTRO: } k' = \frac{\beta'}{-2\omega'} \text{ e } l' = 0$$

$$\text{RAIO: } \sqrt{\frac{\beta'^2}{4\omega'^2} - F}$$

$$\vec{C}_g = \nabla_k \omega$$

Todos os k', l' capazes de formar uma onda de frequência ω_0 estão contidos na circunferência referente a ω_0 .

As ondas \vec{K}_1 e \vec{K}_2 tem frequência ω_0 e existem infinitas outras!



→ Velocidade de fase sempre para OESTE!

→ Meridionalmente, as velocidades de grupo sempre se opõem!